

دانشگاه صنعتی شهرود

دانشکده مهندسی معدن و ژئوفیزیک  
گروه استخراج معدن

پایان نامه کارشناسی ارشد

بررسی رفتار سنگ سقف در کارگاه استخراج  
معدن ذغالسنگ طزره(لایه  $P_{10}$  شیب دار)

تھیہ کننده:

مجتبی سرلک

استاد راهنما:

دکتر سید رحمان ترابی

استاد مشاور:

مهندس سید محمد اسماعیل جلالی

تابستان ۱۳۸۲

بِسْمِ اللَّهِ الرَّحْمَنِ الرَّحِيمِ

## تقدیم به

روح پر فتوح بنیانگذار انقلاب اسلامی حضرت امام خمینی(رضوان الله تعالى علیه)

۹

ارواح مطهر شهدای انقلاب و شهدای جنگ تحمیلی

## و تقدیم به مادر و پدرم

همان‌هایی که خاطراتشان در طول دوران پر تلاطم زندگی این حقیر، برگی شد از کتاب پر ارزش و پند دهنده تاریخ و گواهی بر این حقیقت، که همواره گذشت، صبر و فداکاری‌های کسانی در این دنیا، امید به سعادت و اعتقاد به واژه عشق و محبت را در وجود انسان‌ها زنده نگه می‌دارد.

ستایش خدایی را که با آفرینش آسمان‌ها و فرستادن کتاب‌ها و پیغمبران و نصب ائمه معصومین، وجود، علم و قدرتش را بما شناساند و شکر و سپاس از نعمتهای خود را به ما الهام نمود. چنان سپاسی که با آن، میان کسانی از خلقش که او را سپاس‌گذارند، زندگی و معاشرت کنیم.

## تقدیر و تشکر

بدین‌وسیله از زحمات آقایان دکتر سید رحمن ترابی (استاد راهنما)، مهندس سید محمد اسماعیل جلالی (استاد مشاور)، کلیه اساتید محترم دانشکده معدن و ژئوفیزیک، کارکنان و دانشجویان دانشگاه، بخصوص آقایان مهندس کبیریان، مهندس ظفری، مهندس پذیره، مهندس بیطرфан، مهندس کر، مهندس زیاری، مهندس شفیعی‌نژاد، محمد بهاری‌پور، مهدی خانی‌زاده، جلیل سعید، هاشم چگینی و همچنین از کلیه کارکنان محترم شرکت ذغال‌سنگ البرز شرقی بخصوص مدیریت محترم شرکت ذغال‌سنگ جناب آقای مهندس صدیقی‌فر، مهندس مدنی، مهندس ناطقی، آقایان شهریاری، آدینه، سراج، پاک‌باطن، فکری، کارکنان بخش انتظامات، نقلیه و همه کارگران زحمت‌کش معدن ذغال‌سنگ طزره و کلیه عزیزانی که در تهیه این پایان‌نامه، دلسوزاره همکاری نموده‌اند، کمال تشکر و امتنان را داشته و توفیق روز افزون همه این عزیزان را از خداوند متعال خواهانم.

مجتبی سرلک

## چکیده

استخراج لایه‌های ذغال در زیر سطح زمین باعث برهم زدن وضعیت تنش‌ها در لایه‌های فوقانی می‌شود. با افزایش فضای خالی ناشی از استخراج ذغال، تمایل به ریزش و پرکردن این فضای خالی در لایه‌های سقف افزایش می‌یابد. در بعضی از موارد، تخریب سقف بلاواسطه و یا سقف اصلی در مساحت بسیار زیاد اتفاق افتاده و باعث مسدودشدن فضای خالی کارگاه استخراج و وارد آمدن خسارات مالی و جانی زیادی شده است.

در این تحقیق به برخی از روش‌های ارزیابی قابلیت تخریب لایه‌های سقف که در نتیجه پژوهش‌های قبلی تعیین شده‌اند، اشاره شده است. در ارزیابی پایداری سقف اصلی و سقف بلاواسطه لایه  $P_{10}$  منطقه پشكلات معدن طزره، بعضی از این روش‌ها مورد استفاده قرار گرفته و مشاهده شد که نتایج در بعضی از موارد، مغایر با وضعیتی است که در اثر مشاهدات تجربی بدست آمده است. این مسئله نشان از عدم عمومیت کاربرد روش ارزیابی بکار رفته، در معادن دیگر دارد.

در بخش دیگر این تحقیق با استفاده از دو روش  $Q$  و  $RMR$ ، وضعیت سقف بلاواسطه تونل‌های دنباله لایه مورد بررسی قرار گرفته است که نتیجه هر دو روش لزوم نصب سیستم نگهداری را مشخص می‌کند.

به منظور تعیین امتیاز مهندسی سقف بلاواسطه لایه  $P_{10}$  و تعیین پارامترهای مکانیک سنگی از نرم افزار *ROCLAB* استفاده شده است. پس از تعیین پارامترهای مکانیک سنگی توده‌سنگ‌های اطراف کارگاه استخراج و تونل‌های دنباله‌لایه، تحلیل عددی رفتار سقف بلاواسطه با استفاده از نرم‌افزار *FLAC* در دو وضعیت صورت گرفت. در وضعیت اول مقطع مورد بررسی در راستای امتداد خط بزرگترین شب کارگاه استخراج تهیه شده است. تحلیل عددی در این وضعیت نشان می‌دهد که تغییر در چگونگی نگهداری در قسمت‌های میانی کارگاه، باعث تغییر در وضعیت ضریب ایمنی منطقه اطراف کارگاه استخراج و تونل‌های دنباله لایه و تغییر در چگونگی مقدار جابجایی‌های افقی و عمودی نقاطی از سقف کارگاه استخراج و تونل‌های دنباله لایه می‌شود.

در وضعیت دوم، مقطع مورد بررسی در راستای عمود بر امتداد خط بزرگترین شب کارگاه استخراج انتخاب شد. در این وضعیت میزان جابجایی‌های افقی و عمودی در سقف و سینه کار کارگاه دوم (پسرو) و همچنین ضریب ایمنی در اطراف کارگاه دوم (پسرو) لایه  $P_{10}$  در دو حالت مورد بررسی

قرار گرفت. حالت اول مربوط به وضعیتی است که استخراج در کارگاه مجاور (کارگاه اول) واقع در همان پنهان استخراجی به صورت پیشرو و حالت دوم مربوط به وضعیتی است که استخراج در کارگاه اول به صورت پسرو انجام می‌شود.

نتایج تحلیل عددی نشان می‌دهد که در وضعیتی که استخراج در کارگاه اول به صورت پسرو صورت می‌گیرد، مقدار جابجایی‌های عمودی در سقف و مقدار جابجایی‌های افقی در سینه کار کارگاه دوم (پسرو) کمتر و همچنین مقادیر ضریب ایمنی در اطراف کارگاه دوم لایه  $P_{10}$  شیبدار بیشتر از حالت دیگر است. بنابراین میزان ذخیره ذغالی که به منظور ایجاد شرایط ایمن در بین دو کارگاه باقی گذارده می‌شود، کمتر خواهد بود. در نهایت به دلیل وجود ایمنی بیشتر و همچنین بهره‌وری بالاتر لایه‌های ذغالی، نحوه استخراج در کارگاه‌های استخراج مجاور (واقع در یک پنهان استخراجی) به صورت مشابه (هر دو پیشرو و یا هر دو پسرو) به عنوان روش بهتر پیشنهاد گردیده است.

۱	فصل اول - مقدمه و کلیات
۱	۱-۱ اهداف تحقیق و مروری بر مطالعات قبلی
۲	۱-۲ موضوعات مطرح شده در فصل‌های مختلف
۵	فصل دوم- زمین‌شناسی منطقه
۵	۵-۱ شناخت ذغال سنگ
۶	۵-۲ ترکیب شیمیائی ذغال سنگ
۶	۵-۳ انواع ذغال سنگ
۶	۶-۱ تورب
۶	۶-۲ لیگنیت و ذغال قهوه‌ای
۷	۶-۳ بیتومینوس
۷	۷-۱ ذغال‌های نیمه بیتومینوس
۷	۷-۲ آنتراسیت
۸	۸-۱ تاریخچه و حوزه فعالیت شرکت ذغال سنگ البرز شرقی
۸	۸-۲ مناطق تحت پوشش معدنی
۸	۸-۳ منطقه طزره
۱۰	۱۰-۱ معدن رزمجا
۱۰	۱۰-۲ معدن کلاریز
۱۰	۱۰-۳ معدن پشکلات (معدن بزرگ)
۱۱	۱۱-۴ تونل مادر
۱۱	۱۱-۶ مشخصات منطقه عملیاتی مورد نظر
۱۶	فصل سوم- نگهداری و استخراج
۱۶	۱۶-۱ روش‌های استخراج جبهه کار بلند و پلکانی معکوس
۱۶	۱۶-۲ آماده‌سازی کارگاه‌های استخراج جبهه کار بلند و پلکانی معکوس
۱۶	۱۶-۳ استخراج به روش پلکانی معکوس
۱۷	۱۷-۲ انواع روش‌های استخراج جبهه کار طویل با توجه به جهت پیشروع کارگاه

۱۷	۱-۲-۳ مزایا و معایب روش‌های استخراج پیشرو و پسرو
۱۸	۳-۳ ترتیب استخراج لا یه‌های ذغالی
۱۸	۴-۳ نگهداری در معدن طزره
۱۸	۱-۴-۳ نگهداری تونل‌ها
۱۹	۲-۴-۳ نگهداری در دویل‌ها
۱۹	۵-۳ تخریب و پرکردن کارگاه استخراج
۱۹	۱-۵-۳ پر کردن کارگاه استخراج
۱۹	۲-۵-۳ تخریب کارگاه استخراج
۲۰	۳-۵-۳ معایب روش تخریب
۲۱	فصل چهارم- مشخصات مکانیک سنگی توده‌سنگ‌های اطراف لایه $P_{10}$ شیبدار
۲۱	۴-۱ بررسی وضعیت ناپیوستگی‌های منطقه
۲۱	۴-۲ برداشت درزه‌ها
۲۲	۴-۳ تعیین وضعیت دسته درزه‌ها
۲۷	۴-۴ تعیین فاصله‌داری متوسط درزه‌ها
۲۸	۴-۵ محاسبه شاخص کیفیت سنگ ( $RQD$ )
۲۹	۴-۶ استفاده از طبقه‌بندی‌های توده‌سنگ برای تخمین ان迪س مقاومت زمین‌شناسی
۲۹	۴-۶-۱ تخمین ان迪س مقاومت زمین‌شناسی $GSI$ با استفاده از $RMR_{76}$
۳۰	۴-۶-۲ تخمین ان迪س مقاومت زمین‌شناسی ( $GSI$ ) با استفاده از $RMR_{89}$
۳۰	۴-۶-۳ استفاده از $RMR_{89}$ جهت تعیین پارامترهای مکانیک‌سنگی توده‌سنگ‌های اطراف منطقه عملیاتی مورد نظر
۳۱	۴-۷-۱ محاسبه ان迪س مقاومت زمین‌شناسی سقف بلاواسطه
۳۲	۴-۷-۲ محاسبه ان迪س مقاومت زمین‌شناسی سقف اصلی
۳۳	۴-۷-۳ محاسبه ان迪س مقاومت زمین‌شناسی لایه ذغالی
۳۴	۴-۷-۴ محاسبه ان迪س مقاومت زمین‌شناسی توده‌سنگ ناحیه تخریب شده
۳۵	۴-۸ تعيين پارامترهای مکانیک‌سنگی توده‌سنگ‌های منطقه عملیاتی موردنظر
۳۷	۴-۹ وضعیت تنش برجا
۴۰	فصل پنجم- روش‌های تجربی ارزیابی کیفیت سقف کارگاه استخراج

۴۰	۱-۵ مقدمه
۴۳	۲-۵ روش‌های تجربی ارزیابی قابلیت تخریب سنگ‌های سقف
۴۳	۲-۵-۱ تقسیم‌بندی سقف بلاواسطه بر اساس تغییرات جنس و ضخامت سقف
۴۳	۲-۵-۱-۱ سقف بلاواسطه ناپایدار
۴۴	۲-۵-۱-۲ سقف بلاواسطه نیمه پایدار
۴۵	۲-۵-۱-۳ سقف بلاواسطه پایدار
۴۷	۲-۵-۱-۴ ارزیابی رفتار سقف اصلی و سقف بلاواسطه لایه $P_{10}$ بر اساس جنس و ضخامت
۴۹	۲-۵-۱-۵ روش <i>E.T.Proyavkin</i>
۵۱	۲-۵-۱-۶ ارزیابی رفتار سنگ سقف اصلی و سقف بلاواسطه لایه $P_{10}$ بر اساس طبقه‌بندی <i>proyavkin</i>
۵۳	۲-۵-۱-۷ طبقه‌بندی سقف بلاواسطه بر اساس شاخص مهندسی $L$
۵۴	۲-۵-۱-۸ طبقه‌بندی سقف بلاواسطه بر اساس شاخص مقاومت
۵۵	۲-۵-۱-۹ ارزیابی سقف بلاواسطه لایه $P_{10}$ بر اساس شاخص مقاومت و شاخص مهندسی
۵۶	۲-۵-۱-۱۰ ارزیابی رفتار سقف اصلی بر اساس شاخص $N$
۵۷	۲-۵-۱-۱۱ ارزیابی رفتار سقف اصلی بر اساس شاخص $N$ و شاخص مقاومت
۵۹	۲-۵-۱-۱۲ طبقه‌بندی سقف بلاواسطه با استفاده از چکش اشمیت
۶۲	۲-۵-۱-۱۳ تقسیم‌بندی بر اساس محاسبه اندیس کیفیت سقف ( $RQI$ )
۶۴	۲-۵-۱-۱۴ محاسبه میزان پیشروی جبهه کار بدون وقوع اولین تأثیر وزنی
۶۷	۲-۵-۱-۱۵ ارزیابی سقف بلاواسطه لایه $P_{10}$ بر اساس شاخص کیفیت سنگ
۶۸	۲-۵-۱-۱۶ فصل ششم - روش‌های تجربی تحلیل پایداری تونل‌های دنباله‌لایه
۶۸	۲-۵-۱-۱۷ طبقه‌بندی سقف بر اساس امتیاز توده سنگ (سیستم $RMR$ )
۶۹	۲-۵-۱-۱۸ ارزیابی سقف بلاواسطه لایه $P_{10}$ با استفاده از سیستم $RMR$
۷۱	۲-۵-۱-۱۹ شاخص کیفیت سنگ به روش $NGI$ (روش بارتون یا $Q$ )
۷۳	۲-۵-۱-۲۰ تعیین شاخص $Q$ سقف بلاواسطه تونل‌های دنباله‌لایه، لایه $P_{10}$ شیبدار

۳-۶ برسی پدیده خودانفجاری در توده سنگ سقف بلاواسطه	۷۴
۴-۶ اصول فیزیکی انفجار سنگ	۷۴
۵-۶ عوامل موثر در انفجار خودبه خودی سنگ	۷۵
۱-۵-۶ عمق	۷۵
۱-۵-۶-۱ برسی فعالیت خودانفجاری سنگ بر اساس پارامتر عمق	۷۵
۲-۱-۵-۶ معايب استفاده از معيار عمق در تعين قابلیت خودانفجاری	۷۵
۲-۵-۶ پیوستگی توده سنگ	۷۶
۶-۶-۱ ارتباط بين شاخص کیفیت سنگ با شاخص سرعت (λ)	۷۷
۶-۶-۲ برسی پیوستگی سنگ های سقف بلاواسطه معدن طزره	۷۸
فصل هفتم - تحلیل عددی رفتار سقف در کارگاه استخراج	۷۹
۷-۱-۱ آشنایی با روش های عددی	۷۹
۷-۱-۲ روش اجزای جداگانه	۸۰
۷-۱-۳ روش اجزای محدود	۸۰
۷-۱-۴ روش تفاضل محدود	۸۱
۷-۲ نحوه مدل سازی با نرم افزار <i>FLAC</i>	۸۲
۷-۳ انواع مدل های کابردی در نرم افزار <i>FLAC</i>	۸۳
۷-۴ اطلاعات ورودی نرم افزار <i>FLAC</i>	۸۴
۷-۵ تحلیل عددی رفتار سقف بلاواسطه لایه $P_{10}$ شبیه دار	۸۶
۷-۶ تحلیل عددی رفتار سقف بلاواسطه در وضعیت اول	۸۹
۷-۷ تحلیل عددی رفتار سقف بلاواسطه در وضعیت دوم	۹۲
۷-۷-۱ برسی میزان جابجایی های عمودی در سقف کارگاه دوم (پسرو)	۹۲
۷-۷-۲-۱ حالت اول (استخراج در کارگاه اول به صورت پیشرو)	۹۲
۷-۷-۲-۱-۱ حالت دوم (استخراج در کارگاه اول به صورت پیشرو)	۹۴
۷-۷-۲ مقایسه میزان جابجایی عمودی در سقف کارگاه دوم (پسرو) در دو وضعیت	۹۴
۷-۷-۳ استخراجی کارگاه اول	۹۶
۷-۷-۳-۱ برسی میزان جابجایی های افقی در سینه کار کارگاه دوم (پسرو)	۹۸

۹۸.....	۱-۳-۷-۷ حالت اول (استخراج در کارگاه اول بهصورت پیشرو)
۱۰۰ .....	۲-۳-۷-۷ حالت دوم (استخراج در کارگاه اول بهصورت پسرو)
در ۴-۷-۷ مقایسه میزان جابجایی‌های افقی در سینه کار کارگاه دوم (پسرو)	
۱۰۲.....	دو وضعیت استخراجی کارگاه اول
۱۰۴ .....	۵-۷-۷ بررسی ضریب ایمنی
۱۰۵.....	فصل هشتم- نتیجه‌گیری و پیشنهادات
۱۱۱.....	منابع
۱۱۳.....	ضمیمه

## فصل اول - مقدمه و کلیات

### ۱-۱- اهداف تحقیق و مروری بر مطالعات قبلی

استخراج لایه‌های ذغال در زیر سطح زمین باعث ایجاد فضای خالی و برهمنخوردن وضعیت تنش‌ها در زیر سطح زمین می‌شود. با افزایش فضای خالی ناشی از استخراج لایه ذغال، لایه‌های سقف این فضا، تمايل به ریزش و پرکردن این فضای خالی را دارند. نحوه ریزش سنگ‌های لایه‌های فوقانی کارگاه استخراج به ضخامت، جنس و مشخصات مکانیک سنگی این لایه‌ها وابسته است. در بعضی از موارد، ریزش ناگهانی سقف کارگاه استخراج باعث ایجاد خسارات جانی و مالی زیادی می‌شود. ریزش ناگهانی سقف کارگاه استخراج گاهی باعث مسدود شدن فضای کارگاه شده و راهاندازی مجدد کارگاه تخریب شده با اتلاف زیاد ذغال و صرف زمان همراه خواهد بود. به منظور راهاندازی مجدد کارگاه تخریب شده، مقدار زیادی از ذغال به عنوان لنگه محافظتی به جای گذاشته می‌شود که این امر باعث کاهش ضربی بهره‌وری ذغال می‌گردد. همچنین زمان صرف شده جهت راهاندازی مجدد کارگاه تخریب شده، باعث کاهش روزهای مفید کاری می‌شود.

بررسی نحوه ریزش سنگ‌های سقف در کارگاه استخراج با استفاده از روش‌های تجربی و روش‌های عددی، توانایی طراحان و کارکنان معدن را در کاهش و تا حدی کنترل عوارض ناگهانی ناشی از ریزش سنگ‌های سقف تا حد قابل ملاحظه‌ای افزایش می‌دهد.

این تحقیق با اهداف زیر انجام شده است :

۱) معرفی تعدادی از روش‌های تعیین قابلیت تخریب سنگ‌های سقف و در صورت امکان، استفاده از این روش‌ها در ارزیابی سقف بلاواسطه و سقف اصلی منطقه عملیاتی مورد نظر (لایه  $P_{10}$  منطقه پیشکلات).

۲) ارزیابی فعالیت انفجار خودبه‌خودی سنگ‌های سقف بلاواسطه

۳) بررسی امکان استفاده از نرم‌افزار *FLAC* در تحلیل عددی معادنی که در آنها از سیستم نگهداری چوبی استفاده می‌شود.

۴) تعیین روش استخراج بهتر با در نظر گرفتن بررسی‌های زیر:

منطقه عملیاتی مورد بررسی در این تحقیق کارگاه دوم لایه  $P_{10}$  که به لایه شیبدار نیز معروف است، می‌باشد. عملیات استخراجی از این لایه از طریق تونل مادر انجام می‌گیرد.

در فصل سوم، انواع روش‌های استخراج و نگهداری در کارگاه‌های منطقه طزره توضیح داده شده است. این روش‌ها شامل روش‌های استخراج پلکانی معکوس و جبهه کار طویل می‌باشد. استخراج این دو روش با توجه به جهت پیشروی جبهه کار نسبت به دهانه تونل مادر، به دو صورت پیشرو و پسرو صورت می‌گیرد. در بعضی از لایه‌های ذغالی جهت افزایش تولید روزانه، ترکیبی از هر دو روش مورد استفاده قرار گرفته است.

در فصل چهارم بهمنظور تعیین پارامترهای مکانیک‌سنگی مربوط به توده‌سنگ‌های اطراف کارگاه استخراج و تونل‌های دنباله لایه، وضعیت ناپیوستگی‌های منطقه مورد بررسی قرار گرفته است. از آنجایی که امکان بررسی وضعیت ناپیوستگی‌های سقف اصلی لایه  $P_{10}$  شیبدار در تونل‌های دنباله‌لایه بالا و پایین و همچنین رخنمون لایه وجود ندارد، لذا تنها وضعیت ناپیوستگی‌های سقف بلاواسطه مورد ارزیابی قرار گرفته است.

به منظور ارزیابی وضعیت ناپیوستگی‌های سقف بلاواسطه لایه  $P_{10}$  شیبدار، مشخصات مربوط به ۱۰۰ درزه شامل شیب، جهت شیب، گسترش و میزان بازشدگی و وضعیت پرکننده‌های درزه‌ها مورد بررسی قرار گرفته است. جهت تعیین تعداد دسته‌درزه‌های موجود در سقف بلاواسطه از نرم‌افزار *DIPS* نسخه ۲ استفاده شده است.

جهت تعیین فاصله‌داری متوسط درزه‌ها از روش *SCANLINE* استفاده شده است. در این روش، فاصله میان درزه‌های متواالی در یک مسیر چندمترا محاسبه شده، سپس متوسط این فواصل جهت تعیین فاصله‌داری متوسط درزه‌ها مورد استفاده قرار گرفته شده است [۴].

از آنجایی که امکان محاسبه فاصله میان درزه‌ها در یک مسیر طولانی به دلیل وجود وسائل نگهداری در تونل‌های دنباله‌لایه و همچنین به دلیل وجود یک لایه ذغال کاذب در سقف کارگاه استخراج وجود ندارد، لذا اقدام به محاسبه متوسط فاصله‌داری در چند مسیر شده است و چون طول این مراحل متفاوت از یکدیگر است، لذا بر اساس مجموع کل طول برداشت شده، به هر مرحله یک ضریب وزنی اختصاص داده شده و نهایتاً فاصله‌داری متوسط محاسبه گردیده است.

در مرحله بعد به دلیل آن که امکان محاسبه شاخص کیفیت سنگ از روی مغزهای حفاری وجود ندارد، از روشی که توسط Priest و Hudson در سال ۱۹۷۶ ارائه شده، به منظور تعیین استفاده شده است [۱۱].  $RQD$

در مرحله بعد با استفاده از نرم‌افزار *ROCLAB* پارامترهای مکانیک سنگی توده‌سنگ‌های منطقه عملیاتی مورد نظر تعیین شده‌اند. در تعیین پارامترهای مکانیک‌سنگی توده‌سنگ‌های سقف بلاواسطه، سقف اصلی، توده سنگ ناحیه تخریب شده و توده ذغال‌سنگی، پارامترهای مقاومت فشاری تک‌محوری، اندیس مقاومت زمین‌شناسی، ثابت  $m$  مربوط به ماده‌سنگ و پارامتر  $D$  (میزان تاثیر آتش‌باری در تونل‌های دنباله‌لایه بر توده‌سنگ‌های اطراف تونل) به عنوان پارامترهای ورودی در نظر گرفته می‌شوند. پس از تعیین پارامترهای ورودی مورد نیاز نرم‌افزار *ROCLAB*، از میان مقادیر خروجی نرم‌افزار، بعضی از پارامترهای موردنیاز در ارزیابی رفتار سقف ثبت شده است.

در فصل پنجم به معرفی برخی از روش‌های ارزیابی قابلیت تخریب سنگ‌های سقف اشاره شده است.

در فصل ششم ارزیابی سقف بلاواسطه لایه  $P_{10}$  شیبدار در تونل‌های دنباله‌لایه بر اساس طبقه‌بندی مهندسی سنگ صورت گرفته است. در قسمت اول این فصل، از سیستم طبقه‌بندی *RMR* و در قسمت بعد ارزیابی سقف بلاواسطه بر اساس سیستم بارتون ( $Q$ ) صورت گرفته است. در بخش دیگر این فصل، انفجار خودبه‌خودی سنگ‌های سقف بلاواسطه لایه  $P_{10}$  شیبدار در تونل‌های دنباله‌لایه با توجه به دو مورد از پارامترهای موثر بر وجود انفجار خودبه‌خودی در سنگ‌ها مورد بررسی قرار گرفته است.

در فصل هفتم تحلیل عددی سقف بلاواسطه لایه  $P_{10}$  شیبدار با استفاده از نرم‌افزار *FLAC* انجام شده است. این نرم‌افزار بر اساس روش تفاضل محدود کار می‌کند. تحلیل عددی رفتار سقف بلاواسطه با استفاده از نرم‌افزار *FLAC*، به صورت بررسی میزان جابجایی‌ها و ضریب ایمنی در دو وضعیت مورد بررسی قرار گرفته است. در وضعیت اول مقطع مورد بررسی در راستای امتداد خط بزرگ‌ترین شیب کارگاه استخراج و در وضعیت دوم مقطع مورد بررسی در راستای عمود بر امتداد خط بزرگ‌ترین شیب کارگاه استخراج تهیه شده است.

## فصل دوم - زمین‌شناسی منطقه

### ۱-۲ شناخت ذغال سنگ

یکی از منابع عمدۀ تأمین انرژی دنیا ذغال سنگ می‌باشد. طبق نظریه‌های تشکیل کانسارهای سوختهای فسیلی، ذخایر ذغال سنگ حاصل تدفین و دگرگونی بقایای گیاهی هستند. در ادوار مختلف زمین‌شناسی، هر زمان که شرایط مساعد از جمله آب و هوای مرطوب فراهم آمده، پوشش گیاهی مناطق مذبور سریعاً رشد و گسترش یافته است و هر جا که باقی‌مانده این گیاهان در محیطی دور از اکسیژن قرار می‌گرفته، پس از تحمل تغییراتی به ذغال سنگ تبدیل شده است.

شواهد موجود نشان می‌دهد که باتلاق‌ها محیط مناسبی برای رشد گیاهان و جمع شدن بقایای آنها پس از مرگ و دور ماندن آنها از اکسیژن و بالاخره تشکیل ذغال بوده‌اند. س از تدفین قسمت‌های مختلف گیاه (تنه-ریشه- ساقه-برگ دانه و گرده گل) در باتلاق‌ها، باکتری‌های بی‌هوایی در بافت‌های آن تغییرات شیمیایی بوجود آورده و به تدریج مواد گیاهی به یک توده رشته‌مانند سبک و مرطوب بنام تورب<sup>(۱)</sup> تبدیل می‌شوند.

با مدفون شدن تورب، مرحله تغییرات بیوشیمیایی پایان می‌یابد و مرحله فرآیندهای بسیار کند فیزیکی و شیمیائی که به تشکیل ذغال سنگ منتهی می‌گردد، آغاز می‌شود. فشار لایه‌های جدیدتر فوکانی و افزایش حرارت (به علت قرار گرفتن در اعمق بیشتر) به مرور باعث تراکم هر چه بیشتر توده توربی می‌شود. تراکم تورب با از دست رفتن آب و مواد فرار همراه است. با پیشرفت این مرحله، مقدار درصد کربن در تورب افزایش یافته و به تدریج رنگ و ترکیب شیمیائی ذغال را به دست می‌آورد. مجموعه عواملی که بر تورب اثر می‌گذارند و آن را سخت و به ذغال سنگ تبدیل می‌کنند را می‌توان تا حدی مشابه عمل سنگ‌شدن سنگ‌های رسوبی و نیز مشابه عمل دگرگون شدن سنگ‌های دگرگونی دانست [۱].

## ۲-۲ ترکیب شیمیائی ذغال سنگ

ذغال سنگ‌ها از مجموعه مواد آلی و معدنی ساخته شده‌اند. قسمت آلتی شامل کربن، اکسیژن، هیدروژن، مقدار کمی گوگرد، نیتروژن و فسفر است (جدول ۱-۲). بخش معدنی ذغال‌ها بیشتر از سیلیس-آلومینیوم-آهن-کلسیم-منگنز-پتاسیم-سدیم و مقدار جزیی عناصر دیگر تشکیل شده است که این مواد از خاک‌هایی که گیاهان اولیه روی آنها روییده‌اند و همچنین نمک‌های معدنی موجود در بافت‌های گیاهی حاصل شده‌اند. تقریباً کل خاکستر باقی‌مانده پس از سوختن ذغال سنگ، از مواد معدنی تشکیل شده است [۱۰].

جدول ۱-۲- درصد عناصر اصلی سازنده‌ی بخش آلتی ذغال سنگ [۱۰]

مواد	کربن	اکسیژن	هیدروژن	گوگرد	نیتروژن	فسفر
درصد	۶۰-۹۸	۲-۲۵	۵-۱۰	۰/۵-۳	جزئی	جزئی

## ۲-۳ انواع ذغال سنگ

ذغال سنگ‌ها را بر مبنای مختلفی از جمله بر اساس مقدار کربن، مقدار مواد فرار، درجه ذغال‌شدنگی، مقدار رطوبت، ارزش حرارتی و غیره طبقه‌بندی می‌کنند. در اینجا خلاصه‌ای از طبقه‌بندی ذغال سنگ‌ها، بر مبنای درجه ذغال‌شدنگی آنها ارائه می‌شود [۱۰].

### ۲-۳-۱ تورب

تورب که به ذغال نارس نیز موسوم است، عبارت است از جسمی قهقهه‌ای سبک و متخلخل که در ضمن لمس کردن آن، دست به رنگ قهقهه‌ای درمی‌آید. تورب دارای مقدار کمی رطوبت است. در ضمن سوختن دوده زیادی تولید می‌کند و پس از سوختن آن، مقدار زیادی خاکستر بر جا می‌ماند. تورب بندرت جزو ذغال سنگ‌ها به حساب می‌آید و معمولاً یک مرحله آغازی برای تشکیل ذغال محسوب می‌شود. مقدار کربن تورب کمتر از ۶۰ درصد است [۱۰].

### ۲-۳-۲ لیگنیت<sup>(۱)</sup> و ذغال قهقهه‌ای

این دو نمونه معرف مراحل اولیه ذغالی شدن تورب هستند. با این تفاوت که در لیگنیت هنوز

مقداری مواد چربی موجود است. مقدار کربن در ذغال قهوه‌ای و لیگنیت‌ها بین ۴۰ تا ۵۵ درصد متغیر است. رنگ این ذغال‌ها از قهوه‌ای تا قهوه‌ای متمایل به سیاه در ذغال قهوه‌ای و سیاه تا سیاه متمایل به قهوه‌ای در لیگنیت متغیر است [۱۰].

### ۳-۲-۳ بیتومینوس<sup>(۱)</sup>

این دسته از ذغال‌سنگ‌ها از فراوان‌ترین نوع سوختهای جامد فسیلی هستند، که با شعله دوددار سوخته و در اثر حرارت (در محیط بدون هوا) ذوب می‌شوند. این ذغال‌ها دارای ارزش حرارتی زیاد بوده و بیش از هر نوع از دیگر ذغال‌سنگ‌ها مصرف می‌شود. ذغال‌های بیتومینوس در صنعت به دو دسته تقسیم می‌شوند: دسته اول دارای ۴۰ تا ۳۰ درصد مواد فرار است و بیشتر جهت سوخت مصرف می‌شود. دسته دوم دارای ۲۰ تا ۳۰ درصد مواد فرار است و جهت تهیه کک مصرف می‌شود. کک که به صورت ماده سبک و متخلخل است، عمدتاً در صنایع تولید فولاد استفاده می‌شود. کک در کوره بلند دارای سه وظیفه مهم ایجاد حرارت، تولید گازهای احیا کننده و فیلتر کردن گازها به سمت بالای کوره است. مقدار کربن ذغال‌های بیتومینوس همواره کمتر از ۹۰ درصد است [۱۰].

### ۴-۳-۲ ذغال‌های نیمه بیتومینوس<sup>(۲)</sup>

ذغال‌های بین لیگنیت و ذغال‌های بیتومینوس هستند.

### ۵-۳-۲ آنtrasیت<sup>(۳)</sup>

این ذغال‌ها که به ذغال‌های سخت نیز مشهورند، بیش از دیگر ذغال‌سنگ‌ها تحت دگرگونی قرار گرفته‌اند. مسئله مهم آنست که مراحل تدریجی تبدیل ذغال‌سنگ بیتومینوس به آنtrasیت با از دست‌دادن خاصیت کک دهی همراه بوده که علت این امر کم شدن مواد فرار است که مقدار آن در آنtrasیت‌ها به حداقل می‌رسد. آنtrasیت‌ها از انواع دیگر ذغال‌سنگ‌ها سخت‌ترند و رنگ سیاه و جلای نیمه فلزی دارند. آنtrasیت به سختی مشتعل می‌شود [۱۰].

1-Bituminous

2- Subbituminous

3-Antrasite

## ۴-۲ تاریخچه و حوزه فعالیت شرکت ذغالسنگ البرز شرقی

اداره مرکزی و مدیریت اصلی شرکت در شهرستان شاهروود مستقر است. اهم وظایف اصلی این شرکت را می‌توان در سه بخش کلی، اکتشاف، استخراج و تغليظ خلاصه نمود که به موازات آن بخش‌های اداری، مالی و فنی، پشتیبانی آن را به عهده دارند [۱۲].

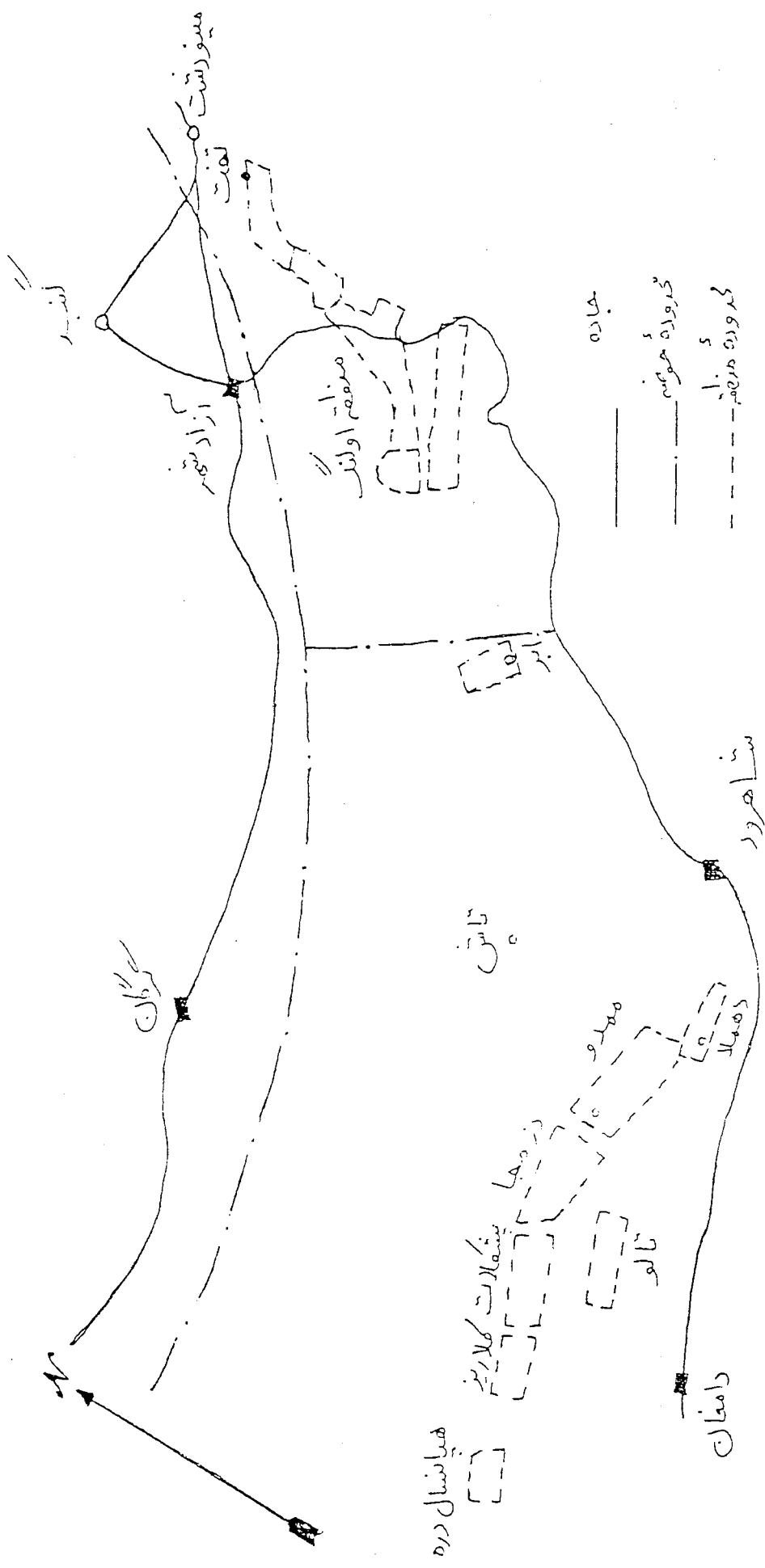
کارهای مقدماتی اکتشاف مناطق شاهروود در اواسط سال ۱۳۴۸ برای اولین بار شروع گردید و در طی آن، منطقه ذغال‌دار طزره مورد تجسس قرار گرفت. در ابتدا اکیپ اکتشافی در دامغان مستقر و پس از مدتی به شاهروود منتقل شد و عملیات اکتشافی تحت عنوان سازمان منطقه شاهروود-دامغان وابسته به طرح ذغال البرز شروع به کار نمود. در خداداد ماه ۱۳۵۱ منطقه مذکور از طرح فوق جدا گردید و به طور مستقل با نام مناطق معدنی و اکتشافی شاهروود و سپس در سال ۱۳۵۶ به نام شرکت ذغالسنگ البرز شرقی تغییر نام یافت و عملیات اکتشافی-معدنی خود را ادامه داده و هم‌اکنون نیز تحت همین عنوان به فعالیت خود ادامه می‌دهد. شرکت ذغالسنگ البرز شرقی با هدف استخراج و تغليظ ذغالسنگ و ارسال به کارخانه ذوب‌آهن جهت تولید کک و احیای سنگ آهن فعالیت می‌نماید و یکی از بزرگترین واحدهای تولید کننده ذغالسنگ می‌باشد [۱۲].

## ۴-۳ مناطق تحت پوشش معدنی

بطور کلی مناطق معدنی تحت پوشش شرکت ذغالسنگ البرز شرقی را می‌توان به سه منطقه اولنگ، قشلاق و طزره تقسیم نمود.

## ۴-۴ منطقه طزره

این منطقه بخشی از دامنه جنوبی سلسله جبال البرز را تشکیل می‌دهد و در فاصله ۷۰ کیلومتری غرب و شمال غربی شاهروود و ۴۰ کیلومتری شمال شرقی دامغان قرار گرفته است. آب و هوای این منطقه کوهستانی و دارای زمستان‌های سرد و پربرف و تابستان‌های معتدل است. ذخیره تقریبی این منطقه ۳۰ میلیون تن پیش‌بینی شده است. این منطقه مربوط به دوران دوم (تریاس بالایی) تا ژوراسیک میانی است [۱۲]. به علت گستردگی، این سازند به چند منطقه کوچکتر تقسیم گردیده است (شکل ۱-۲). این مناطق از غرب به شرق عبارتند از منطقه دهملا، منطقه ممدویه و معادن طزره (شامل سه معدن بزرگ به نام‌های رزمجا-پشکلات (معدن بزرگ) و کلاریز).



شکل ۲-۱- مناطق نغالدار شرکت نغالسنج البرز شرقی [۱]

به دلیل آنکه استخراج در مناطق دهملا و ممدویه تمام شده است، به توضیح بیشتر در مورد سایر معادن منطقه ذغالی طزره می‌پردازیم [۱۲].

### ۱-۳-۵-۲ معدن رزمجا

معدن رزمجا از جوان‌ترین معادن منطقه بوده و به سه بخش شرقی، مرکزی و غربی تقسیم می‌شود. این معدن در شرق معدن طزره واقع شده است. عملیات عمدۀ این معدن، توسط کارشناسان ایرانی انجام شده است. به طور کلی در منطقه رزمجا لایه‌های ذغالی  $k_3, k_8, k_{13}, k_{17}$  قابل استخراج و بهره‌برداری هستند. پس از مطالعه و اکتشافات تفصیلی درمورد ذغال خیزی منطقه رزمجا، چنین نتیجه‌گیری شده که به طور کلی تمام لایه‌های قابل بهره‌برداری منطقه، مربوط به دوره تریاس بالای است. البته لایه‌های ذغالی غیرقابل بهره‌برداری نیز وجود دارد که مربوط به دوره ژوراسیک پایینی است [۱۲].

### ۲-۳-۵-۲ معدن کلاریز

این معدن در غرب معدن طزره واقع شده است. در برنامه اول معدن کلاریز (سال ۶۸) تونل ۳۰ با افق ۲۲۰۳ + و با ذخیره‌ای بالغ بر ۱۰۰ هزار تن طراحی و آماده سازی شده و استخراج آن از سال ۱۳۷۰ شروع گردیده است. اکلن ۴ (تونل شیبدار) برای ترانسپورت و تدارکات افق ۲۲۵۰ و همچنین رسیدن به لایه‌های  $k_5, k_6, k_{10}, k_{26}$  با ذخیره‌ای بالغ بر ۱۹۳ هزار تن طراحی شده است و هم‌اکنون عملیات استخراجی از طریق آن انجام می‌شود. این اکلن به منظور رسیدن به افق‌های ۲۱۵۰ و ۲۰۵۰ و گرفتن لایه‌های  $k_5, k_{10}, k_{25}, P_{10}$  ادامه می‌یابد. استخراج از لایه‌های افق ۲۱۵۰ از سال ۱۳۷۳ آغاز گردیده است که عمدۀ‌ترین این لایه‌ها، لایه ذغالی  $P_{10}$  می‌باشد [۱۲].

### ۳-۳-۵-۲ معدن پشکلات (معدن بزرگ)

از معدن بزرگ سه افق تا سطح آن استخراج شده است (تونل‌های ۱۰-۱۲-۱۴). به منظور دست‌یابی به افق‌های زیرین، طرح پشکلات توسط کارشناسان ایرانی طراحی و در سال ۱۳۶۸ به اجرا درآمد. درحال حاضر عملیات استخراجی به صورت گسترده‌ای از تونل مادر درحال انجام است [۱۲].

### ۴-۳-۵-۲ تونل مادر

این تونل که یکی از بزرگترین مقاطع در تونل‌های ایران است، در ارتفاع ۲۲۴۰ متر از سطح دریا قرار دارد. امتداد آن شمالی-جنوبی بوده و لایه‌های ذغالی  $k_{12}, k_{19}, k_{23}, p_{10}$  را قطع می‌کند. مقطع این تونل نیم‌دایره بوده و سطح آن ۱۲ متر مربع می‌باشد.

به منظور نگهداری تونل، از قاب‌های فلزی کشویی با فواصل ۷۰ cm از یکدیگر استفاده شده و حدفاصل این قاب‌ها و توده‌سنگ را لارده‌های بتی قرار داده‌اند.

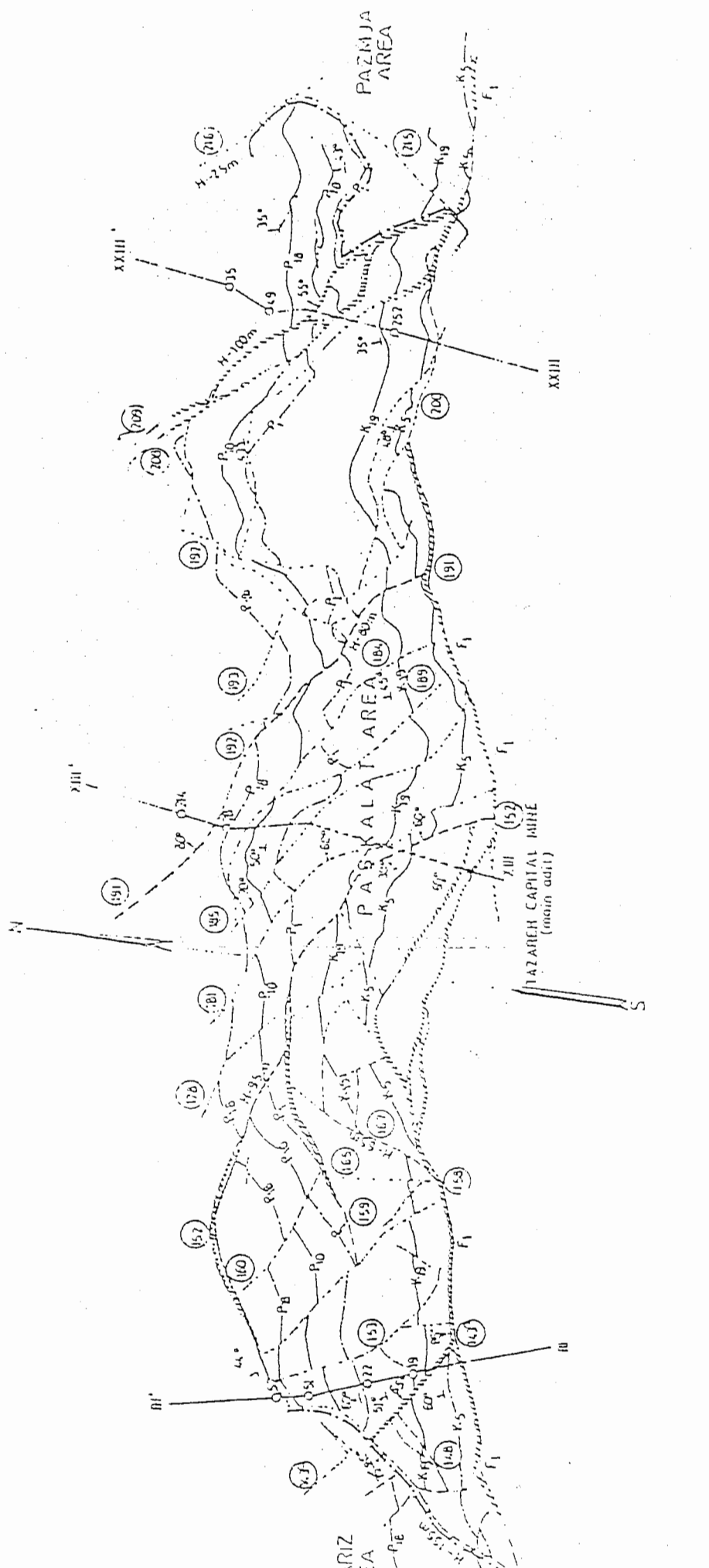
برای روشنایی تونل از لامپ‌های فلورسنت ضدگاز استفاده شده است ولی این لامپ‌ها روشنایی داخل تونل را بهدلیل عدم انجام تعمیرات به موقع و مناسب، تامین نمی‌کنند.

در ابتدای تونل مادر یک تونل فرعی قرار دارد که به تونل مادر متصل شده است. هوای لازم توسط بادبزن‌های اصلی تامین و از طریق این تونل فرعی، وارد شبکه معدن می‌شود<sup>[۱۲]</sup>. در تونل مادر سه اکلن (تونل مایل با شیب ۲۵ درجه) و یک اکلن نوار (تونل مایل با شیب ۱۶ درجه) قرار دارد. از اکلن نوار جهت باربری استفاده می‌شود. اکلن شماره یک برای دستیابی به افق‌های ۲۱۷۵ + ۲۱۱۰ و ۲۱۷۵ + ۲۰۴۵ و ۱۹۸۰ + ۱۹۸۰ و رسیدن به لایه‌های  $k_{19}, k_{21}, k_{23}$  و ذخیره‌ای بالغ بر  $1/3$  میلیون تن حفر گردیده است. اکلن شماره ۲ جهت دستیابی به افق‌های ۲۱۶۰ + ۲۰۷۰ و ۱۹۸۰ + ۲۰۷۰ و رسیدن به لایه (قسمت شرقی تونل مادر) با ذخیره‌ای بالغ بر ۲۰۰ هزار تن و ارتباط با اکلن شماره ۳ می‌باشد. اکلن شماره ۳ جهت دستیابی به افق‌های ۲۱۶۰ + ۲۰۷۰ و برای گرفتن لایه‌های  $k_5, k_6, k_{10}, p_{10}$  (قسمت غربی تونل مادر) و ذخیره‌ای بالغ بر ۹۰۰ هزار تن می‌باشد. استخراج از این قسمت از سال ۱۳۷۳ شروع شده است. اکلن نوار جهت حمل ذغال از اکلن‌های ۱ و ۲ و ترانسپورت طراحی شده که هم‌اکنون ذغال استخراج شده از افق ۲۱۷۵ + ۲۱۷۵ اکلن ۱ توسط نوار به افق تونل بزرگ حمل و سپس به بیرون منتقل می‌گردد<sup>[۱۲]</sup>.

### ۶-۲ مشخصات منطقه عملیاتی مورد نظر

منطقه عملیاتی مورد نظر لایه  $P_{10}$  می‌باشد که به لایه  $P_{10}$  شیب دار معروف است. این لایه توسط تونل‌های ۶ - ۷ - ۹ گرفته شده است. با اینکه ضخامت لایه  $P_{10}$  در بیشتر نقاط یکنواخت است ولی در بعضی از نقاط تونل‌های ۶ و ۸ ضخامت لایه حتی به صفر هم رسیده است. ضخامت

لایه  $P_{10}$  در تونل ۶ به ۲/۳۰ متر هم می‌رسد. جنس سقف بلاواسطه در برداشت حفاری‌ها (حفاری شماره ۲۱۴) سیلتستون و جنس سقف اصلی ماسه‌سنگ بوده و جنس کمرپایین آن از سیلتستون تشکیل یافته است. در حال حاضر در این لایه عملیات استخراجی در سه کارگاه در حال انجام است. استخراج در کارگاه دوم به صورت پسرو و استخراج در دو کارگاه دیگر به صورت پیشرو صورت می‌گیرد. در شکل ۱-۲ لایه‌های ذغالی منطقه طزره و منطقه عملیاتی مورد نظر نشان داده شده‌اند. جدول ۲-۲ نیز مشخصات زمین شناسی و مکانیک سنگی لایه‌های منطقه طزره را نشان می‌دهد [۹].



## شکل ۲-۲ لایه‌های نگالی منطقه حوزه [۱]

جدول ۲-۳ مشخصات زمین شناسی و مکانیک سنگی لایه‌شناختی متعاقده طزه‌ها

جنس گروه	جنس	مقاطومت فشاری (عواد بر لایه بندی) (kg/cm <sup>2</sup> )	مقاطومت کشش بروزمند برزیلی (kg/cm <sup>2</sup> )	مقاآمت برسی (kg/cm <sup>2</sup> )
۱	ماسنه سنگ دانه ریز	۸۸/۰-۷	۲۶/۵	۴۸
۲	سیلت	۲۸۸/۰	۲۳۹/۵	۲۴
۳	سیلت	۴۹۶/۰-۴	۱۲۲	۴۷
۴	سیلت ماسنه دار	۵۵۵/۰	۳۰/۸	۴۶
۵	سیلت	۵۰/۰-۳۰/۰	۴۰/۰	۴۵
۶	ماسنه سنگ دانه متوسط	۵۳۲/۰-۵	۱۰/۲	۴۸
۷	سیلت	۵۰/۰-۳۰/۰	۳۰/۸	۴۷
۸	ماسنه سنگ دانه ریز	۳۰/۰-۲۸/۰	۲۸/۱	۴۵
۹	سیلت	۳۰/۰-۲۸/۰	۲۹/۰	۴۶
۱۰	ماسنه سنگ دانه متوسط	۳۰/۰-۲۸/۰	۱۰/۰	۴۷
۱۱	سیلت	۳۰/۰-۲۸/۰	۱۲/۷	۳۳
۱۲	ماسنه سنگ دانه ریز	۴۰/۰-۳۰/۰	۲۲/۴	۴۷
۱۳	سیلت ارزیلیت	۴۹۸/۰	۲۶/۹	۲۴
۱۴	سیلت و ماسنه سبلت خردشده	۱۲۳/۰-۷	۱۲/۰	۲۱

ادامه جدول ۲-۲ مشخصات زمین شناسی و مکانیک سنگی لایه‌های منطقه طزره [۹]

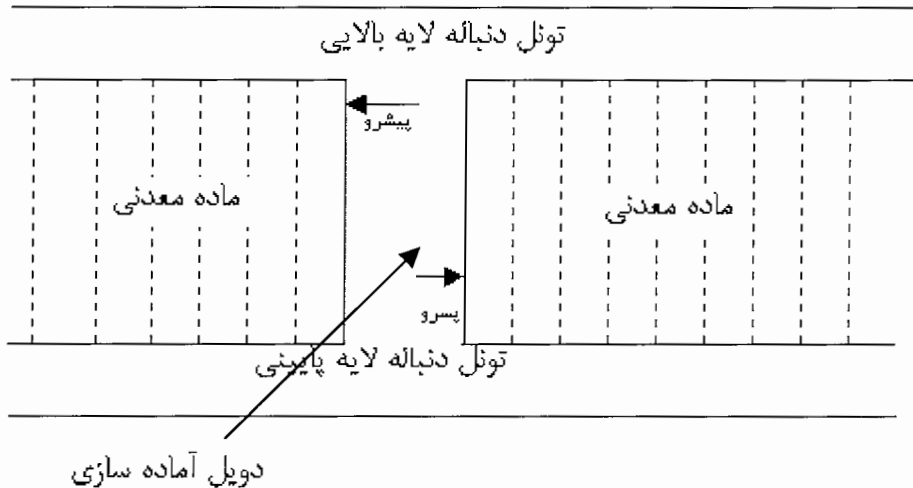
ضریب پواسون $\nu$	ضریب الاستیک (مدول یانگ) $E$ $(\times 10^5 \text{ kg/cm}^2)$	وزن مخصوص $\text{gr/cm}^3$	درصد جثب آب	جنس	گروه
۰/۰۷	۲/۲۲	۲/۵۵	۱/۰۸۸	ماهه سنگ دانه ریز	۱
۰/۱۰	۰/۸۱	۲/۵۵	۱/۰۲۵	سیلت	۲
۰/۱۴۲	۰/۸۶	۲/۶۰	۲/۱۳۴	سیلت	۳
۰/۱۷	۱/۲۱	۲/۵۵	۱/۷۶۶	سیلت ماهه دار	۴
۰/۱۲	۰/۸۹	۲/۶۲	۱/۲۸۶	سیلت	۵
۰/۱۵	۱/۱۰	۲/۴۵	۱/۰۶۵	ماهه سنگ دانه متوفط	۶
۰/۱۰	۰/۸۴	۲/۷۰	۰/۴۱۵	سیلت	۷
۰/۱۲	۱/۲۰	۲/۶۰	۰/۸۸۴	ماهه سنگ دانه متوفط	۸
۰/۱۲۳	۰/۹۰	۲/۷۰	۰/۷۹۵	سیلت	۹
۰/۱۰۹	۱/۰۳	۲/۵۵	۰/۹۹۱	ماهه سنگ	۱۰
۰/۱۱	۰/۸۸	۲/۶۰	۰/۶۸۰	سیلت	۱۱
۰/۱۵	۰/۸۷	۲/۵۰	۰/۹۴۹	سیلت ماهه ای	۱۲
۰/۱۲۵	۰/۸۳	۲/۴۰	۰/۹۰۱	سیلت آرژلیتی	۱۳
۰/۱۲۸	۰/۱۰۰۹	۲/۴۵	۱/۰۶۲	سیلت و ماهه سیلتی خردشده	۱۴

## فصل سوم - نگهداری و استخراج

### ۳-۱ روش‌های استخراج جبهه کار بلند و پلکانی معکوس

#### ۳-۱-۱ آماده‌سازی کارگاه‌های استخراج جبهه کار بلند و پلکانی معکوس

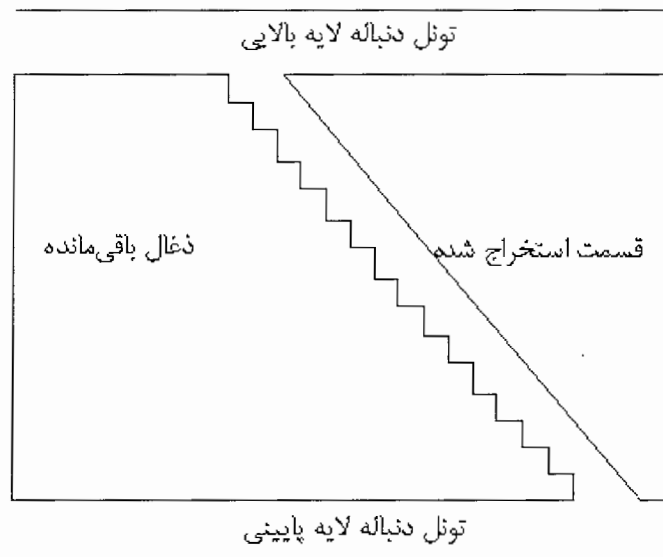
آماده‌سازی این دو روش کاملاً شبیه به هم است. مرحله اول آماده‌سازی کارگاه‌های استخراج جبهه کار بلند و پلکانی معکوس، حفر تونل‌هایی به صورت دنباله‌لایه یا موازی با لایه در افق‌های مختلف است. سپس یک دویل روی خط بزرگترین شبیب لایه ذغالی از تونل دنباله‌لایه زیرین به تونل این دویل، سیستم نگهداری چوبی نیز نصب می‌گردد. از داخل این دویل به سمت جلو و به سمت عقب استخراج پیشرو و پسرو لایه ذغالی آغاز شده و با افزایش فضای استخراج شده، سقف بلاواسطه کم کم شروع به تخریب می‌کند شکل ۱-۳ [۱۳].



شکل ۱-۳ آماده سازی کارگاه استخراج [۱۳]

### ۳-۲ استخراج به روش پلکانی معکوس

روش پلکانی معکوس تقریباً شبیه به روش جبهه کار بلند است، با این تفاوت که خط جبهه کار به صورت مستقیم نبوده و همانند شکل ۲-۳ به صورت شکسته در می‌آید. علت این کار ایجاد شرایط ایمنی برای پرسنل استخراجی در کارگاه‌هایی با شبیب نسبتاً زیاد است [۱۳].



شکل ۲-۳ روش استخراج پلکانی معکوس [۱۳]

### ۲-۳ انواع روش‌های استخراج جبهه‌کار طویل با توجه به جهت پیشروی کارگاه

با توجه به جهت پیشروی کارگاه استخراج نسبت به دهانه تونل، دو نوع روش استخراج

جهبه‌کار طویل وجود دارد :

الف- چنانچه جهت پیشروی به سمت خلاف دهانه تونل باشد، به این روش استخراج پیشرو<sup>(۱)</sup> گفته می‌شود.

ب- چنانچه جهت پیشروی کارگاه به سمت دهانه تونل باشد، به این روش استخراج پسرو<sup>(۲)</sup> گفته می‌شود.

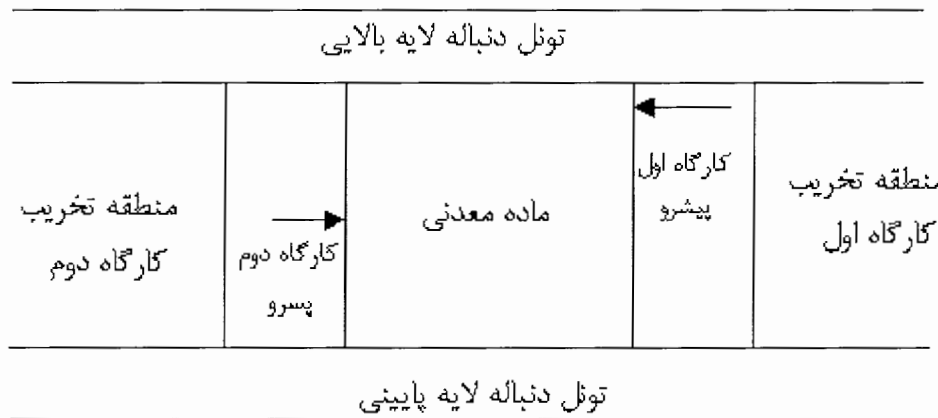
### ۱-۲-۳ مزایا و معایب روش‌های استخراج پیشرو و پسرو :

در استخراج به روش پیشرو همزمان با پیشروی تونل‌های باربری و تهویه، می‌توان لایه ذغالی را نیز استخراج نمود، بر خلاف روش پسرو که ابتدا باید تونل‌های باربری و تهویه را تا طول نهایی موردنظر حفر نمود و پس از آن، از انتهای تونل به استخراج لایه ذغالی پرداخت. از روش پسرو زمانی که وقت کافی برای استخراج ذغال وجود دارد، استفاده می‌شود. مزیت استخراج پسرو در این است که پس از استخراج هر قسمت از لایه ذغالی بین دو تونل، می‌توان وسایل نگهداری و سایر تجهیزات تونل را به جز مواردی که تونل جهت تهویه مورد استفاده قرار خواهد گرفت، برداشته و تونل

1-Advance mining

2-Retreat mining

را تخریب نمود. با این کار هزینه اضافی جهت نگهداری از بین می‌رود. عیب استخراج پسرو این است که ابتدا باید تمام تونل را حفر کرده و سپس استخراج را آغاز کرد که عملیات حفر تونل باعث گرفتن وقت زیادی می‌شود. در معدن طزره در بعضی از پهنه‌های استخراجی مثل لایه  $P_{10}$  همزمان از هر دو روش استفاده می‌شود و این مسئله به خاطر بالا بردن تولید روزانه است.



شکل ۳-۳ استخراج در لایه  $P_{10}$

### ۳-۳ ترتیب استخراج لایه‌های ذغالی

برای استخراج چند لایه ذغالی، ابتدا استخراج از لایه ذغالی بالا شروع می‌شود. در صورتی که استخراج لایه ذغالی پایین‌تر ابتدا صورت بگیرد، حرکت لایه‌های فوقانی لایه پایین‌تر، باعث ایجاد شرایط نامنی برای استخراج لایه فوقانی می‌شود. اگر فاصله لایه‌های ذغالی به حدی باشد که نشست ناشی از استخراج لایه‌های تحتانی تاثیری بر روی لایه‌های فوقانی نداشته باشد، می‌توان هر لایه‌ای را که مورد نظر باشد، در ابتدا استخراج نمود.

### ۴-۳ نگهداری در معدن طزره

#### ۱-۴-۳ نگهداری تونل‌ها

انواع روش‌هایی که در معدن طزره برای نگهداری تونل‌ها به کار می‌رود عبارتند از:

- ۱) نگهداری توسط قاب‌های فلزی
- ۲) نگهداری توسط تیرهای آهنی
- ۳) نگهداری توسط قاب‌های چوبی

### ۳-۴-۲ نگهداری در دویل‌ها

برای نگهداری در دویل‌ها در معدن طزره از چوب استفاده می‌شود. در دویل‌های دو سیکله در عرض دویل، سه پایه چوبی قرار می‌دهند و روی آن تخته‌ای که به کلاهک معروف است قرار می‌دهند که طول آن برای دویل‌های دو سیکله  $2/2$  متر و ضخامت آن تا  $10$  سانتی‌متر می‌رسد. برای نگهداری دویل‌های سه سیکله باید از چهار پایه چوبی استفاده نمود. طول کلاهک در این حالت  $3/2$  متر می‌باشد. در هر حالت قبل از قراردادن پایه‌ها، باید برای آنها فولیه ایجاد کرد. پس از تراشیدن سر پایه‌ها به صورت مخروط ناقص، آنها را در فولیه قرار می‌دهند. فاصله هر سری از ستون‌ها از یکدیگر تقریباً یک متر می‌باشد و برای جلوگیری از حرکت ستون‌ها نسبت به یکدیگر، بین آنها چوب قرار می‌دهند و با فشار، این چوب را به دو ستون مجاور محکم می‌کنند.

### ۳-۵ تخریب و پرکردن کارگاه استخراج

پس از اینکه مقدار پیشروی در کارگاه استخراج به بیش از چند سیکل رسید، نصب وسایل نگهداری معمولی، توان مقاومت در مقابل فشار کمربالا را ندارد، لذا باید کمربالا را به طریقی برای همیشه کنترل کرد. برای این کار معمولاً دو کار انجام می‌دهند [۱۳] :

(۱) پر کردن کارگاه استخراج      (۲) تخریب کارگاه استخراج

### ۳-۵-۱ پر کردن کارگاه استخراج

پر کردن کارگاه استخراج در موقعی صورت می‌گیرد که اولاً کارگاه، شیب مناسب برای انتقال مواد به پایین را داشته باشد و ثانیاً امکان حمل خاک و سنگ لازم به داخل کارگاه وجود داشته باشد. از این روش بیشتر در کارگاه‌هایی که به سطح زمین راه دارند، استفاده می‌شود. (منطقه کلمدر با شیب  $60-65$  درجه) [۸] و [۱۳].

### ۳-۵-۲ تخریب کارگاه استخراج

در موقعی که شیب لایه مناسب نباشد و یا امکان انتقال مواد لازم برای پر کردن کارگاه وجود نداشته باشد، برای نگهداری دائم کارگاه استخراج از روش تخریب استفاده می‌کنند و اصطلاحاً اجازه می‌دهند کمربالا بخوابد. برای این کار وسایل نگهداری را که قبل از نصب کرده بودند را کشیده و کارگاه را تخریب

می‌کنند. از وسایل نگهداری به دست آمده از روش تخریب، به دلیل وجود خطرات بسیار هرگز نباید برای نگهداری مجدد استفاده کرد [۱۰].

### ۳-۵-۳- معايب روش تخریب

- ۱) اجرای تخریب مخصوصاً در حالتی که از سیستم نگهداری چوبی استفاده شده است خالی از خطر نبوده و اینمنی کارگاه را کاهش می‌دهد. با افزایش ضخامت بیش از ۲/۵ متر و شیب بیش از ۳۵ درجه عملیات مشکل‌تر و خطرات آن بیشتر می‌شود.
  - ۲- بر اثر تخریب، سطوح فوقانی محل تخریب دچار حداکثر نشست می‌شوند.
  - ۳) در صورت وجود ساختارهای زیرزمینی در اطراف ناحیه تخریب، احتمال بروز مشکلات جدی در نگهداری این حفاری‌ها وجود خواهد داشت.
  - ۴) در صورت وجود تاسیسات سطحی در زمین‌های بالای ناحیه تخریب، احتمال صدمه‌دیدن آنها وجود خواهد داشت.
  - ۵) هر چقدر سقف از استحکام بیشتری برخوردار باشد، عملیات تخریب مشکل‌تر و احتمال ایجاد صدمه در سیستم نگهداری جلوی جبهه کار بیشتر خواهد بود.
  - ۶) کنترل و تنظیم تهویه کارگاه‌های تخریبی مشکل بوده و در صورت وجود کانی‌های خودسوز و یا باقی ماندن مقداری از ذرات ذغال در قسمت تخریب شده کارگاه، احتمال بروز خودسوزی و آتش‌سوزی در کارگاه بیشتر می‌شود [۱۰].
- در کارگاه‌های لایه  $P_{10}$  از سیستم تخریب جهت کنترل قسمت عقب کارگاه استفاده می‌شود.

## فصل چهارم - مشخصات مکانیک سنگی توده سنگهای اطراف لایه $P_{10}$ شیب دار

### ۴-۱ بررسی وضعیت ناپیوستگی های منطقه

در بررسی وضعیت ناپیوستگی های منطقه موردنظر به دلیل عدم وجود رخنمون سقف اصلی در تونل های دنباله لایه و عدم امکان بررسی وضعیت ناپیوستگی های سقف اصلی در سطح زمین، تنها اقدام به بررسی وضعیت ناپیوستگی های سقف بلاواسطه می شود.

ویژگی هایی از ناپیوستگی ها که در ارتباط با رفتار مکانیکی سقف بلاواسطه هستند عبارتند از :

#### تمادوم درزه

تمادوم درزه عبارتست از میزان گستردگی درزه در توده سنگ سقف کارگاه بازشدنگی دهانه

از خصوصیات مهم درزه ها میزان بازشدنگی آنها است. درزه ها ممکن است باز یا بسته باشند. در صورت بازبودن، فضای خالی میان سطوح آن می تواند از پرکننده های مختلفی پر بشود. منشا پرکننده ها هر چه باشد، وجودشان تاثیر مهمی بر روی مقاومت برخی درزه ها خواهد داشت.

#### وضعیت آب

حضور آب در درزه ها باعث تضعیف پارامترهای مقاومتی درزه ها می شود.

#### هوازدگی

هوازدگی دیواره درزه ها نیز باعث تضعیف پارامترهای مقاومتی درزه ها می شود.

#### شیب و امتداد دسته درزه ها

وضعیت شیب و امتداد دسته درزه ها نسبت به جهت پیشروی تونل یا کارگاه استخراج تاثیر مهمی بر رفتار این فضاهای زیرزمینی دارد.

### ۴-۲ برداشت درزه ها

به منظور بررسی وضعیت ناپیوستگی های سقف بلاواسطه، مشخصات مربوط به ۱۰۰ درزه در سقف بلاواسطه لایه  $P_{10}$  شامل شیب، جهت شیب، باز شدنگی و تمادوم آنها برداشت شده است. وضعیت عمومی بازشدنگی این درزه ها تقریبا مشابه یکدیگر و به صورت بازشدنگی کمتر از ۵ mm همراه با

پرکننده‌های سخت می‌باشد. گسترش این درزه‌ها در رخنمون نیز کمتر از یک متر می‌باشد. قابل ذکر است که برداشت مشخصات این درزه‌ها از تونل‌های دنباله‌لایه فوقانی و تحتانی صورت گرفته است. جدول ۱-۴ مشخصات مربوط به ۱۰۰ درزه در سقف بلاواسطه لایه  $P_{10}$  شیب دار شامل شیب و جهت شیب را نشان می‌دهد.

### ۳-۴ تعیین وضعیت دسته درزه‌ها

به منظور تعیین تعداد دسته درزه‌ها و تعیین چگونگی وضعیت این دسته درزه‌ها نسبت به جهت پیش روی تونل از نرم‌افزار DIPS نسخه ۲ استفاده شده است. در استفاده از این نرم‌افزار، شیب و جهت شیب مربوط به درزه‌ها به عنوان ورودی‌های نرم‌افزار در نظر گرفته شده است.

جدول ۱-۴ مشخصات درزه‌های سقف بلاواسطه لایه  $P_{10}$  شیب دار منطقه طزره

جهت شیب درزه (درجه)	شیب درزه (درجه)	شماره درزه
۳۴۵	۴۵	۱۶
۲۵۵	۶۰	۱۷
۲۲۰	۳۳	۱۸
۲۲۳	۳۰	۱۹
۱۹۲	۳۹	۲۰
۳۲۵	۷۵	۲۱
۱۹۱	۸۵	۲۲
۱۷۲	۸۶	۲۳
۲۲۲	۷۵	۲۴
۱۴۲	۸۰	۲۵
۲۲۲	۸۰	۲۶
۲۲۷	۷۸	۲۷
۲۲۲	۸۵	۲۸
۲۰۵	۷۶	۲۹
۲۳۳	۸۴	۳۰

جهت شیب درزه (درجه)	شیب درزه (درجه)	شماره درزه
۱۰۰	۵۰	۱
۱۱۵	۵۱	۲
۶۴	۷۵	۳
۲۸۰	۳۲	۴
۲۸۵	۸۰	۵
.	۲۶	۶
۲۲۹	۴۵	۷
۳۳۵	۴۱	۸
۳۳۶	۳۴	۹
۳۳۰	۴۰	۱۰
۳۴۶	۳۹	۱۱
۳۲۶	۶۰	۱۲
۳۳۴	۵۵	۱۳
۳۳۵	۴۶	۱۴
۲۳۰	۳۳	۱۵

ادامه جدول ۱-۴ مشخصات درزه های سقف بلاواسطه لایه  $P_{10}$  شیبدار منطقه طرره

جهت شیب درزه (درجه)	شیب درزه (درجه)	شماره درزه	جهت شیب درزه (درجه)	شیب درزه (درجه)	شماره درزه
۱۹۰	۸۵	۵۲	۳۳۶	۲۲	۳۱
۳۲۵	۸۴	۵۳	۳۳۰	۲۵	۳۲
۲۳۲	۸۴	۵۴	۳۳۶	۳۴	۳۳
۲۱۰	۶۷	۵۵	۲۵	۳۷	۳۴
۲۲۵	۷۵	۵۶	۱۴	۳۵	۳۵
۲۳۳	۸۴	۵۷	۵	۴۲	۳۶
۲۲۲	۸۵	۵۸	۳۳۹	۳۰	۳۷
۲۲۱	۸۳	۵۹	۳۳۳	۲۷	۳۸
۲۴۰	۶۰	۶۰	۳۴۰	۳۳	۳۹
۲۹۰	۸۴	۶۱	۳۳۹	۳۱	۴۰
۱۸۰	۵۵	۶۲	۱۳۲	۶۶	۴۱
۱۳۰	۸۵	۶۳	۲۶۵	۷۲	۴۲
۵۷	۷۶	۶۴	۲۶۵	۸۵	۴۳
۲۰۰	۸۲	۶۵	۲۵۵	۸۰	۴۴
۲۵۶	۸۷	۶۶	۱۱۰	۶۸	۴۵
۲۵۶	۸۷	۶۷	۱۷۵	۳۴	۴۶
۲۱۰	۸۵	۶۸	۲۰۲	۷۶	۴۷
۱۹۵	۷۵	۶۹	۳۰۰	۷۹	۴۸
۲۶۶	۷۶	۷۰	۱۹۵	۳۸	۴۹
۲۲۷	۷۱	۷۱	۱۹۷	۸۴	۵۰
۵۰	۴۰	۷۲	۲۶۲	۵۷	۵۱

ادامه جدول ۱-۴ مشخصات درزهای سقف بلاواسطه لایه  $P_{10}$  شیب دار منطقه طزره

جهت شیب درزه (درجه)	شیب درزه (درجه)	شماره درزه
۵۶	۶۶	۸۷
۷۰	۴۴	۸۸
۱۰۰	۴۴	۸۹
۱۰۰	۴۷	۹۰
۹۰	۲۷	۹۱
۷۲	۵۲	۹۲
۶۴	۵۰	۹۳
۸۰	۴۶	۹۴
۸۰	۴۸	۹۵
۱۰۸	۳۴	۹۶
۹۰	۲۷	۹۷
۸۵	۵۳	۹۸
۸۵	۵۰	۹۹
۱۴۰	۵۱	۱۰۰

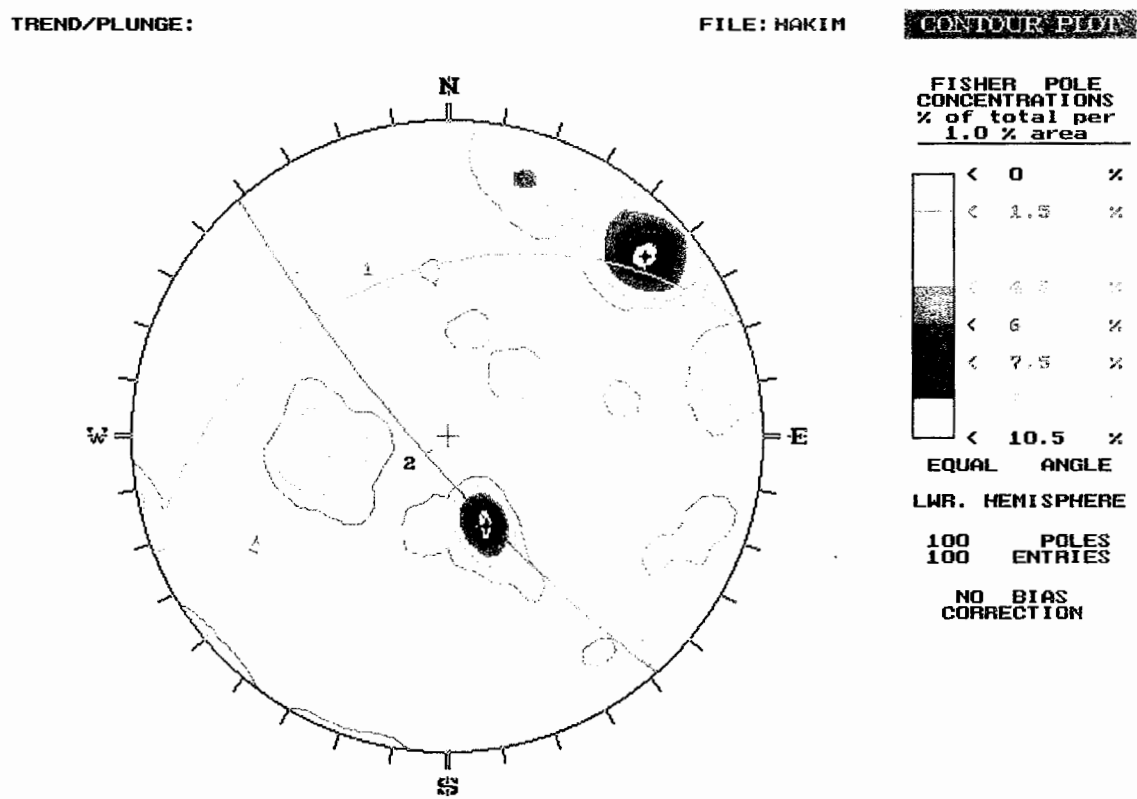
جهت شیب درزه (درجه)	شیب درزه (درجه)	شماره درزه
۱۶۸	۵۶	۷۳
۳۰۰	۷۰	۷۴
۶	۵۸	۷۵
۲۳۸	۲۵	۷۶
۵۳	۵۲	۷۷
۸۰	۵۶	۷۸
۷۵	۳۲	۷۹
۶۴	۳۵	۸۰
۷۵	۲۵	۸۱
۵۵	۴۲	۸۲
۲۳۳	۸۳	۸۳
۲۲۵	۸۴	۸۴
۲۳۰	۸۲	۸۵
۲۵۶	۸۶	۸۶

نتایج بررسی دسته درزهای با نرم افزار DIPS نشان می دهد که تعداد دو دسته درزه در سقف بلاواسطه وجود دارد (شکل ۱-۴) که مشخصات آنها در جدول ۲-۴ نشان داده شده است.

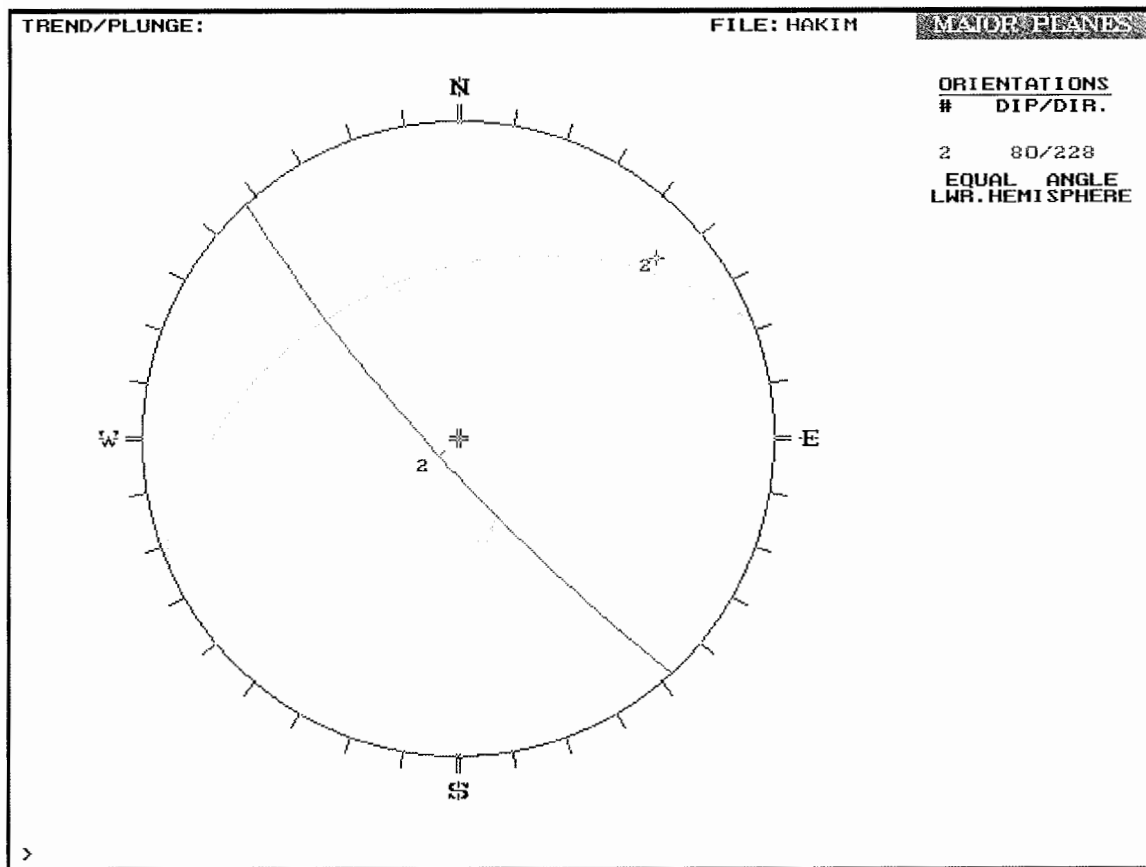
جدول ۲-۴ مشخصات دسته درزهای سقف بلاواسطه لایه  $P_{10}$  شیب دار منطقه طزره

وضعیت دسته درزه نسبت به جهت پیشروی تونل	جهت شیب دسته درزه (درجه)	شیب دسته درزه (درجه)	دسته درزه
امتداد تقریبا عمود بر محور تونل جهت پیشروی تونل هم جهت با شیب دسته درزه	۳۳۸	۳۴	دسته درزه اول
امتداد تقریبا موازی با محور تونل	۲۲۸	۸۰	دسته درزه دوم

شکل ۱-۴ وضعیت درزهای و دسته‌درزهای سقف بلاواسطه لایه  $P_{10}$  شیب‌دار را نشان می‌دهد.



شکل ۱-۴ وضعیت درزهای و دسته‌درزهای سقف بلاواسطه لایه  $P_{10}$  شیب‌دار



شکل ۲-۴ مشخصات دسته درزهای سقف بلا بواسطه لایه  $P_{10}$  شیب‌دار

#### ۴-۴ تعیین فاصله‌داری متوسط درزه‌ها

جهت تعیین فاصله‌داری متوسط درزه‌ها از روش SCANLINE استفاده شده است. در این روش فاصله میان درزه‌های متواالی در یک مسیر چند متری محاسبه شده، سپس متوسط این فواصل جهت تعیین فاصله‌داری متوسط درزه‌ها مورد استفاده قرار می‌گیرد [۴].

از آنجایی که امکان محاسبه فاصله میان درزه‌ها در یک مسیر طولانی به دلیل وجود وسائل نگهداری در تونلهای دنباله‌لایه و همچنین به دلیل وجود یک لایه ذغال کاذب در سقف کارگاه استخراج ممکن نیست، لذا اقدام به محاسبه فاصله‌داری میان درزه‌ها در چند مسیر شده و چون طول این مراحل متفاوت از یکدیگر است، بر اساس مجموع کل طول برداشت شده، به هر مرحله یک ضریب وزنی اختصاص داده شده و نهایتاً فاصله‌داری متوسط محاسبه گردیده است. جدول ۳-۴ مراحل تعیین فاصله داری متوسط میان درزه‌ها را نشان می‌دهد.

$$\text{طول کل برداشت} = 100 + 300 + 130 + 110 + 100 = 740 \text{ cm}$$

$$L_1 = \frac{100}{740} = 0.135$$

$$L_2 = \frac{110}{740} = 0.148$$

$$L_3 = \frac{130}{740} = 0.176$$

$$L_4 = \frac{300}{740} = 0.406$$

$$L_5 = \frac{100}{740} = 0.135$$

جدول ۳-۴: مراحل تعیین فاصله داری متوسط میان درزه ها

$X_i \times L_i$	فاصله‌داری متوسط میان درزه‌ها در هر مرحله $X_i$ (cm)	$L_i$	ضریب وزنی	طول مرحله (cm)	مرحله
۲/۵۲	۱۸/۶۶	$L_1 = .135$		۱۰۰	۱
۱/۹۹	۱۳/۴۳	$L_2 = .148$		۱۱۰	۲
۳/۸۳	۲۱/۷۵	$L_3 = .176$		۱۳۰	۳
۶/۵۲	۱۶/۰۶	$L_4 = .406$		۳۰۰	۴
۱/۸۶	۱۳/۷۵	$L_5 = .135$		۱۰۰	۵

$$\text{فاصله‌داری متوسط} = \sum_{i=1}^5 X_i \times L_i = 2/52 + 1/99 + 3/83 + 6/52 + 1/86 = 16/72 \text{ cm}$$

#### ۴-۵ محاسبه شاخص کیفیت سنگ (RQD)

از آنجایی که امکان محاسبه  $RQD$  از روی مغزه‌های حفاری وجود ندارد، از روشی که توسط Priest و Hudson در سال ۱۹۷۶ ارائه شده، به منظور تعیین  $RQD$  استفاده می‌شود [۸]. بر اساس پیشنهاد Priest و Hudson  $RQD$  می‌تواند از رابطه زیر تخمین زده شود (شکل ۴-۴) :

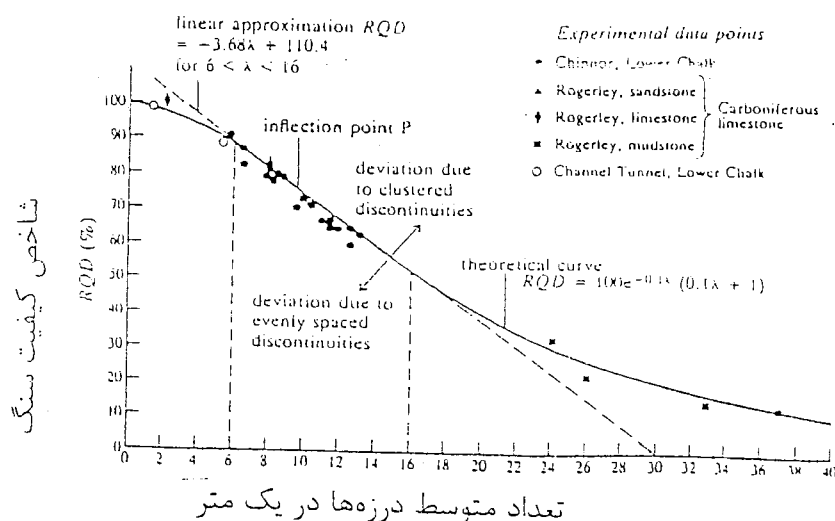
$$RQD = 100 \times e^{-0.1 \times \lambda} \times (0.1 \times \lambda + 1) \quad 4-4$$

در این رابطه :  $\lambda$  تعداد متوسط درزه‌ها در یک متر از سنگ است که مقدار آن را می‌توان از رابطه زیر محاسبه نمود :

$$\lambda = \frac{100}{\bar{x}} \quad 4-4$$

در اینجا:

$\bar{x}$  : فاصله‌داری متوسط درزه‌ها (cm)



شکل ۴-۴ ارتباط میان  $RQD$  و تعداد متوسط درزه‌ها در یک متر [۸]

با استفاده از رابطه ۴-۲ تعداد متوسط درزهای سقف بلاواسطه لایه  $P_{10}$  را

$$\lambda = \frac{100}{16/7} = 5/98 \quad \text{به صورت زیر محاسبه می‌کنیم :}$$

سقف بلاواسطه لایه  $P_{10}$  شیبدار با استفاده از رابطه ۴-۱ و مقدار  $\lambda$  به صورت زیر محاسبه

می‌شود :

$$RQD = 100 \times e^{-0.1 \times \lambda} \times (0.1 \times \lambda + 1) = 100 \times e^{-0.1 \times 5.98} \times (0.1 \times 0.598 + 1) = 87.88 \%$$

#### ۶-۴ استفاده از طبقه‌بندی‌های تودهسنگ برای تخمین اندیس مقاومت

##### زمین‌شناسی<sup>(۱)</sup>

از آنجایی که به منظور محاسبه بعضی از پارامترهای مکانیک‌سنگی مربوط به تودهسنگ توسط

نرم افزار *ROCLAB GSI* به عنوان یک پارامتر ورودی در نظر گرفته شده است، لذا جهت تعیین

مقدار *GSI* برای تودهسنگ‌های سقف بلاواسطه، سقف اصلی، ناحیه تخریب شده و توده ذغال‌سنگی

از *RMR* استفاده می‌شود [۱].

#### ۶-۱ تخمین اندیس مقاومت زمین‌شناسی *GSI* با استفاده از $RMR_{76}$

در موقع استفاده از  $RMR_{76}$  بایستی امتیاز مربوط به ۴ پارامتر اول (مقاومت فشاری تک

محوره، *RQD*، فاصله ناپیوستگی‌ها و وضعیت ناپیوستگی‌ها) را مطابق جدول ۱ (ضمیمه) در نظر

گرفت. وضعیت آب زیرزمینی تودهسنگ باید کاملاً خشک فرض شده و امتیاز مربوط به آن مساوی ۱۰

در نظر گرفته شود، همچنین جهت ناپیوستگی‌ها باید خیلی مطلوب فرض شده و امتیاز مربوط به جهت

ناپیوستگی‌ها صفر در نظر گرفته شود. پس از محاسبه پارامترهای موثر در تعیین  $RMR_{76}$  اندیس

مقاومت زمین‌شناسی از روابط زیر به دست می‌آید :

$$\text{حالت اول : } RMR_{76} \geq 18$$

$$GSI = RMR_{76}$$

۳-۴

$$\text{حالت دوم : } RMR_{76} < 18$$

در این حالت طبقه‌بندی ۱۹۷۶ بنیاوسکی را نمی‌توان برای تخمین *GSI* استفاده کرد و به جای آن باید

مقدار *GSI* را از روابط زیر محاسبه کرد [۱] :

1)Geological Strength Index (GSI)

$$GSI = 9 \times \log_e^{\sigma_c} + 44 \quad ۴-۴$$

$$Q' = \frac{RQD}{J_n} \times \frac{j_r}{J_a} \quad ۵-۴$$

#### ۲-۶-۴ تخمین اندیس مقاومت زمین شناسی ( $GSI$ ) با استفاده از $RMR_{89}$

طبقه‌بندی سال ۱۹۸۹ بنياوسکى را بهمان ترتیبی که در بالا برای طبقه‌بندی سال ۱۹۷۶ توضیح داده شد، می‌توان برای تخمین مقدار  $GSI$  مورد استفاده قرار داد، با این تفاوت که وضعیت آب زیرزمینی تودهسنگ کاملاً خشک فرض شده و امتیاز ۱۵ برای آن در نظر گرفته می‌شود. امتیاز مربوط به جهت ناپیوستگی‌ها مثل حالت قبل مساوی صفر قرار داده می‌شود. پس از محاسبه پارامترهای موثر در تعیین  $RMR_{89}$ ، اندیس مقاومت زمین‌شناسی از روابط زیر به دست می‌آید :

$$RMR_{89} \geq 23 \quad \text{حالت اول :}$$

$$GSI = RMR_{89} - 5 \quad ۶-۴$$

$$RMR_{89} < 23 \quad \text{حالت دوم :}$$

در این حالت، طبقه‌بندی ۱۹۸۹ بنياوسکى را نمی‌توان برای تخمین  $GSI$  استفاده کرد و بهجای آن باید از رابطه ۴-۴ استفاده کرد [۱].

#### ۷-۴ استفاده از $RMR_{89}$ جهت تعیین پارامترهای مکانیک‌سنگی مربوط به

##### تودهسنگ‌های اطراف لایه $P_{10}$

جهت محاسبه امتیاز دقیق مربوط به مقاومت فشاری تکمحوری، شاخص کیفیت سنگ و همچنین فاصله ناپیوستگی‌ها از رابطه زیر استفاده می‌شود :

$$R_i = b_i \times (p_i)^t \quad ۷-۴$$

$R_i$  امتیاز مربوط به هر پارامتر بوده و مقادیر  $p_i, t_i, b_i$  بر اساس جدول ۴-۴ تعیین می‌شوند [۴].

جدول ۴-۴ تعیین ضرایب

$p_i$	$b_i$	$t_i$
$\sigma_c (MPa)$	۰/۲۱۴۶	۰/۸۰۳۱
$RQD(%)$	۰/۲۹۳۶	۰/۹۱۷۰
$\bar{x} (m)$	۱۸/۶۰۵۹	۰/۳۵۶۲

#### ۴-۷-۱ محاسبه اندیس مقاومت زمین‌شناسی سقف بلاواسطه

با استفاده از رابطه ۴-۷ مقدار ضریب  $R_1$  مربوط به مقاومت فشاری تک محوری سقف بلاواسطه

$$R_1 = 0.2146(29.85)^{0.8031} = 3.282 \quad \text{به صورت زیر محاسبه می‌شود:}$$

با استفاده از رابطه ۴-۷ مقدار ضریب  $R_2$  مربوط به ضریب  $RQD$  سقف بلاواسطه به صورت زیر محاسبه

$$R_2 = 0.2936 \times (87.88)^{0.917} = 17/79 \quad \text{می‌شود:}$$

با استفاده از رابطه ۴-۷ مقدار ضریب  $R_3$  مربوط به فاصله‌داری متوسط درزهای سقف بلاواسطه

به صورت زیر محاسبه می‌شود:

$$R_3 = 18.6059 \times (0.1672)^{0.3562} = 9.83$$

جدول ۴-۵ مراحل محاسبه  $RMR_{89}$  جهت تخمین اندیس مقاومت زمین‌شناسی ( $GSI$ ) سقف بلاواسطه را نشان می‌دهد.

جدول ۴-۵ محاسبه  $RMR_{89}$  جهت تخمین اندیس مقاومت زمین‌شناسی ( $GSI$ ) سقف بلاواسطه

ردیف	پارامتر	مقادیر (وضعیت)	امتیاز $R_i$	منبع
۱	مقاومت فشاری تک محوری $MPa$	۲۹/۸۵ MPa	۳/۲۸۲	رابطه ۴-۴
۲	شاخص کیفیت سنگ $RQD$	۸۷/۸۸	۱۷/۷۹	رابطه ۴-۴
۳	فاصله ناپیوستگی‌ها	۱۶۷/۲ mm	۹/۸۳	رابطه ۴-۴
۴	وضعیت ناپیوستگی‌ها	طول ناپیوستگی‌ها > یک متر باز شدگی ۱-۵ mm سطح درزه زبر-کمی هوازده ۵ mm < پر کننده سخت	۲۱	جدول ۱-ث ضمیمه
۵	شرایط آب زیرزمینی	کاملا خشک	۱۵	جدول ۱-الف-۵ ضمیمه
۶	جهت ناپیوستگی‌ها	خیلی مساعد	۰	جدول ۱-ب ضمیمه

$$RMR_{89} = \sum_{i=1}^6 R_i = 3/282 + 17/79 + 9/83 + 21 + 15 = 66/902$$

$$GSI = RMR_{89} - 5 = 66/902 - 5 = 61/902$$

اندیس مقاومت زمین‌شناسی سقف بلاواسطه

#### ۴-۷-۲ محاسبه اندیس مقاومت زمین‌شناسی سقف اصلی

در تعیین  $RMR_{89}$  مربوط به توده سنگ سقف اصلی، نکته زیر لازم به ذکر است:

به دلیل عدم وجود رخنمون سقف اصلی در تونل‌های پیشروی و کارگاه استخراج، مقادیر مربوط به وضعیت ناپیوستگی‌های سقف بلاواسطه برای سقف اصلی در نظر گرفته شده است. با استفاده از رابطه ۷-۴ مقدار ضریب  $R_1$  مربوط به مقاومت فشاری تک محوری سقف اصلی به صورت زیر محاسبه می‌شود:

$$R_1 = 0.2146 (63.26)^{0.8031} = 6$$

جدول ۴-۶ مراحل محاسبه  $RMR_{89}$  جهت تخمین اندیس مقاومت زمین‌شناسی ( $GSI$  سقف اصلی) را نشان می‌دهد.

جدول ۴-۶ محا سبه  $RMR_{89}$  جهت تخمین اندیس مقاومت زمین‌شناسی ( $GSI$ ) سقف اصلی

ردیف	پارامتر	مقدار (وضعیت)	امتیاز $R_i$	منبع
۱	مقاومت فشاری تک محوری $MPa$	۶۳/۲۶۲	۶	رابطه ۷-۴
۲	شاخص کیفیت سنگ $RQD$	۸۷/۸۸	۱۷/۷۹	جدول ۴-۵ ردیف ۲
۳	فاصله ناپیوستگی‌ها	۱۶۷/۲ mm	۹/۸۳	جدول ۴-۵ ردیف ۳
۴	وضعیت ناپیوستگی‌ها	طول ناپیوستگی‌ها > یک متر باز شدگی ۱ - ۵ mm سطح درزه زبر-کمی هوازده ۵ mm پر کننده سخت >	۲۱	جدول ۱-ث ضمیمه
۵	شرایط آب زیرزمینی	کاملاً خشک	۱۵	جدول ۱-الف-۵ ضمیمه
۶	جهت ناپیوستگی‌ها	خیلی مساعد	۰	جدول ۱-ب ضمیمه

$$RMR_{89} = \sum_{i=1}^6 R_i = 6 + 17/79 + 9/83 + 21 + 15 + 0 = 69/62$$

$$GSI = RMR_{89} - 5 = 69/62 - 5 = 64/62$$

اندیس مقاومت زمین‌شناسی سقف اصلی

### ۴-۷-۳ محاسبه اندیس مقاومت زمین شناسی لایه ذغالی

در تعیین  $RMR_{89}$  مربوط به توده ذغال سنگی نکات زیر لازم به ذکر است :

- ۱) امتیاز مربوط به شاخص کیفیت سنگ توده ذغال سنگی بر اساس جدول ۱-الف-۲-ضمیمه، حداقل امتیاز یعنی برابر با ۳ در نظر گرفته شده است.
- ۲) امتیاز مربوط به مقاومت فشاری تک محوری توده ذغال سنگی بر اساس جدول ۱-الف-۱-ضمیمه، حداقل امتیاز یعنی صفر در نظر گرفته شده است.
- ۳) امتیاز مربوط به فاصله ناپیوستگی ها در توده ذغال سنگی بر اساس جدول ۱-ث ضمیمه، حداقل امتیاز (حالی که فاصله ناپیوستگی ها کمتر از ۶۰ mm است) منظور شده است.

جدول ۴-۷ مراحل محاسبه  $RMR_{89}$  جهت تخمین اندیس مقاومت زمین شناسی ( $GSI$  لایه ذغالی) را نشان می دهد.

جدول ۴-۷ محاسبه  $RMR_{89}$  جهت تخمین اندیس مقاومت زمین شناسی  $GSI$  لایه ذغالی

ردیف	پارامتر	مقدار(وضعیت)	امتیاز	منبع
۱	مقاومت فشاری تک محوری $MPa$	< 1 MPa	۰	جدول ۱-الف-۱-ضمیمه
۲	شاخص کیفیت سنگ $RQD$	< ۲۵	۳	جدول ۱-الف-۲-ضمیمه
۳	فاصله ناپیوستگی ها	< ۶۰ mm	۵	جدول ۱-الف-۳-ضمیمه
۴	وضعیت ناپیوستگی ها	طول ناپیوستگی < از ۲۰ متر باز شدگی < ۵ mm سطح شکستگی صاف و کمی هوازده پر کننده نرم < ۵ میلیمتر	۶	جدول ۱-ث ضمیمه
۵	شرایط آب زیرزمینی	کاملا خشک	۱۵	جدول ۱-الف-۵-ضمیمه
۶	جهت ناپیوستگی ها	خیلی مساعد	۰	جدول ۱-ب-ضمیمه

$$RMR_{89} = \sum_{i=1}^6 Ri = 0 + 3 + 5 + 6 + 15 + 0 = 29$$

$$GSI = RMR_{89} - 5 = 29 - 5 = 24$$

اندیس مقاومت زمین شناسی لایه زغالی

#### ۴-۷-۴ محاسبه اندیس مقاومت زمین‌شناسی توده‌سنگ ناحیه تخریب شده

در تعیین  $RMR_{89}$  مربوط به توده‌سنگ ناحیه تخریب شده، نکات زیر لازم به ذکر است :

- ۱) امتیاز مربوط به شاخص کیفیت سنگ توده‌سنگ ناحیه تخریب شده بر اساس جدول ۱-الف-۲ ضمیمه، حداقل امتیاز یعنی برابر با ۳ در نظر گرفته شده است.
- ۲) امتیاز مربوط به فاصله ناپیوستگی‌ها در توده سنگ ناحیه تخریب شده بر اساس جدول ۱-ث ضمیمه حداقل امتیاز (حالتی که فاصله ناپیوستگی‌ها کمتر از ۶۰ mm است) منظور شده است.

جدول ۸-۴ مراحل محاسبه  $RMR_{89}$  جهت تخمین اندیس مقاومت زمین‌شناسی ( $GSI$ ) توده‌سنگ ناحیه تخریب را نشان می‌دهد.

جدول ۸-۴ محاسبه  $RMR_{89}$  جهت تخمین اندیس مقاومت زمین‌شناسی  $GSI$  توده‌سنگ ناحیه تخریب

ردیف	پارامتر	مقدار(وضعیت)	امتیاز	منبع
۱	مقاومت فشاری تکمحوری	۲۹/۸۵ Mpa	۳/۲۸	جدول ۴-۵ ردیف ۱
۲	شاخص کیفیت سنگ $RQD$	<۲۵	۳	جدول ۱-الف-۲ ضمیمه
۳	فاصله ناپیوستگی‌ها	<۶۰ mm	۵	جدول ۱-الف-۳ ضمیمه
۴	وضعیت ناپیوستگی‌ها	طول ناپیوستگی > ۲۰ متر باز شدگی < ۵ mm سطوح شکستگی زبر و کمی هوازده پر کننده سخت < ۵ میلیمتر	۱۴	جدول ۱-ث ضمیمه
۵	شرایط آب زیرزمینی	کاملاً خشک	۱۵	جدول ۱-الف-۵ ضمیمه
۶	جهت ناپیوستگی‌ها	خیلی مساعد	۰	جدول ۱-ب ضمیمه

$$RMR_{89} = \sum_{i=1}^6 Ri = 3/28 + 3 + 5 + 14 + 15 + 0 = 40/28$$

$$GSI = RMR_{89} - 5 = 40/28 - 5 = 35/28 \quad \text{اندیس مقاومت زمین‌شناسی توده سنگ ناحیه تخریب}$$

#### ۴-۸ تعیین پارامترهای مکانیک سنگی تودهسنگ های منطقه عملیاتی موردنظر

در تعیین پارامترهای مکانیک سنگی تودهسنگهای سقف بلاواسطه، سقف اصلی، تودهسنگ ناحیه تخریب شده و توده ذغال سنگی، پارامترهای مقاومت فشاری تک محوری، اندیس مقاومت زمین شناسی، ثابت  $m$  مربوط به ماده سنگ و پارامتر  $D$  (میزان تاثیر آتش باری در تونل های دنباله لایه بر توده سنگ های اطراف تونل) به عنوان پارامترهای ورودی در نظر گرفته می شوند. مقادیر پارامتر  $D$  برای توده سنگ های منطقه عملیاتی در جدول ۴-۹ نشان داده شده است.

جدول ۴-۹ مقادیر پارامتر  $D$  برای توده سنگ های اطراف لایه  $P_{10}$  شیبدار منطقه طزره

توده سنگ	میزان تاثیر آتش باری تونل های دنباله لایه بر توده سنگ	مقدار $D$
سقف بلاواسطه در تونل های دنباله لایه	تاثیر زیاد	۰/۸
سقف اصلی در تونل های دنباله لایه و کارگاه استخراج	بدون تاثیر	•
سقف بلاواسطه در کارگاه استخراج (سیلتستون)	بدون تاثیر	•
کمرپایین در تونل های دنباله لایه	تاثیر زیاد	۰/۸
کمرپایین در کارگاه استخراج	بدون تاثیر	•
لایه ذغالی تا شعاع ۳ متری اطراف تونل های دنباله لایه (۳ متر اول)	تاثیر زیاد	۰/۸
لنگه ذغال بالایی و پایینی (۳ متر دوم - کارگاه استخراج )	بدون تاثیر	•
توده سنگ ناحیه تخریب	بدون تاثیر	•

پس از تعیین پارامترهای ورودی مورد نیاز نرم افزار *ROCLAB*، از میان مقدادیر خروجی نرم افزار، بعضی از پارامترهای مورد نیاز برای ارزیابی رفتار سقف در جدول ۱۰-۴ ثبت شده است.

جدول ۱۰-۴ پارامترهای توده سنگ های اطراف لایه  $P_{10}$  منطقه طزره

توده سنگ	مدول الاستیسیته $E_M$ (Mpa)	چسبندگی توده سنگ C (Mpa)	زاویه اصطکاک داخلی توده سنگ $\varphi$ (درجه)
سقف بلاواسطه و کمرپایین (تا شعاع ۳ متری) در تونل های دنباله لایه	۶۵۰۳/۸۹	۰/۹۶۰۷۳	۲۶/۱۶
سقف اصلی در تونل های دنباله لایه و کارگاه استخراج	۱۸۴۵۳/۳	۲/۴۷۴۰۹	۴۷/۷۱
سقف بلاواسطه و کمرپایین در کارگاه استخراج	۱۰۸۳۹/۸	۱/۴۱۶۸	۳۳/۲۱
لایه ذغالی تا شعاع ۳ متری اطراف تونل های دنباله لایه (۳ متر اول)	۱۳۴/۳۲	۰/۰۵۱	۲/۴۹
لنگه ذغال بالایی و پایینی (۳ متر دوم - کارگاه استخراج)	۲۲۳/۸۷۲	۰/۱۳	۵/۹۷
توده سنگ ناحیه تخریب	۲۳۴۱/۳۸	۰/۸۳۴	۲۵/۷۴

#### ۴-۹ وضعیت تنش برجا

در طول بیست سال گذشته روش‌های متعددی برای اندازه‌گیری تنش‌های برجا توسعه یافته و به منظور اندازه‌گیری تنش‌ها در فضاهای زیرزمینی مورد استفاده قرار گرفته‌اند. شکل ۴-۴ مقادیر تنش‌های قائم در نقاط مختلف را نشان می‌دهد. در انتخاب این اطلاعات اندازه‌گیری‌های را که در محیط‌های زمین‌شناسی فوق العاده غیرعادی بدست آمده، از قبیل مناطقی که فعالیت‌های تکتونیکی خیلی تازه داشته‌اند حذف گردیده و مقادیر اصلی نشان داده شده‌اند. این شکل نشان می‌دهد که تنش‌های قائم اندازه‌گیری شده در توافقی خوب با مقادیری است که توسط رابطه ساده زیر بیان می‌شود:

$$\sigma_v = \delta \times h \quad 8-4$$

در این رابطه:

$$\delta \text{ وزن حجمی سنگ} \quad (\text{کیلو نیوتن بر متر مکعب})$$

$$h \text{ عمقی که تنش باید در آن اندازه‌گیری شود} \quad (\text{متر})$$

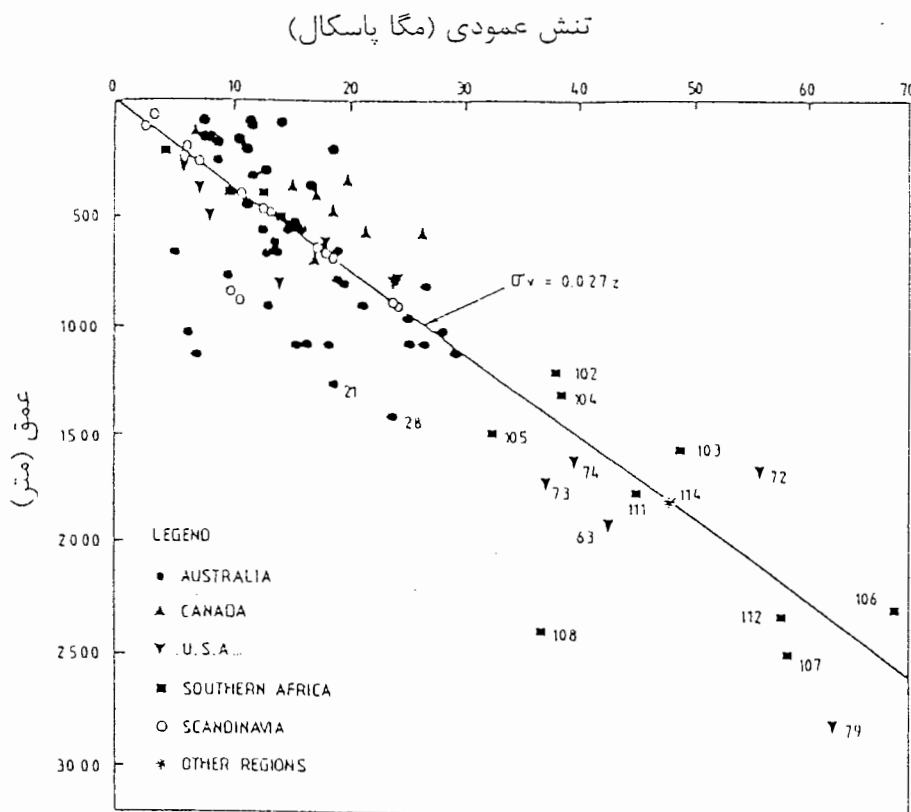
تخمین تنش‌های افقی موثر بر جای فضاهای زیرزمینی در اعماق، به مراتب سخت‌تر از تخمین تنش‌های قائم است و عمدتاً با خطای بیشتری همراه خواهد بود. عموماً نسبت تنش افقی متوسط به تنش عمودی با حرف  $K$  مشخص می‌شود. در سال‌های اخیر کوشش‌های جدیدی برای ارائه یک رابطه ریاضی بهمنظور پیش‌بینی ضریب  $K$  انجام گرفته است. در سال ۱۹۵۲ ترزاوی و ریچارد پیشنهاد کردند که در مناطقی از سنگ‌های رسویی که از نظر زمین‌شناسی بهم نخورده است و لایه‌ها به صورت افقی تشکیل شده و ابعاد افقی آنها بدون تغییر باقی مانده است، از آنجایی که تنش‌های افقی در همه امتدادها یکسان در نظر گرفته می‌شود و کرنش‌های جانبی برابر صفر می‌باشد نسبت میان تنش‌های افقی و قائم از رابطه زیر پیروی می‌کند [۱۲]:

$$\frac{\sigma_h}{\sigma_v} = K \quad 9-4$$

$$K = \frac{\nu}{1-\nu} \quad 10-4$$

در این رابطه:

$\sigma_h$  تنش متوسط افقی و  $\sigma_\gamma$  تنش متوسط قائم و  $K$  نسبت تنش متوسط افقی به تنش متوسط قائم است.



شکل ۴-۴ اندازه‌گیری تنش عمودی در نقاط مختلف جهان [۱۲]

در سال ۱۹۹۴ میلادی، شوری مدلی برای تعیین وضعیت تنش‌های برجا در نقاط مختلف زمین ارائه داد که در آن انحنای پوسته و تغییرات ضرایب الاستیک، چگالی، ضرایب انبساط گرمایی در پوسته و گوشته زمین مد نظر قرار گرفته بود. اگر چه تئوری وی مفصل است اما در اینجا به طور خلاصه اشاره می‌کنیم که وی توانست رابطه ساده‌ای به شرح زیر برای تعیین ضریب  $K$  در نقاط مختلف زمین ارائه دهد [۱] :

$$K = 0.25 + 7 \times E_h \times \left( 0.001 + \frac{1}{Z} \right) \quad 11-4$$

در این رابطه:

$K$  = نسبت تنشیهای افقی به قائم در نقطه

$Z = \text{عمق نسبت به سطح زمین بر حسب متر}$

$E_h$  مدول تغییر شکل توده‌های سقف که به صورت افقی محسوب می‌شود (بر حسب  $GPa$ ) در محاسبه ضریب  $k$  و تنش‌های مربوط به منطقه عملیاتی مورد نظر از روابط ۴-۹ و ۱۰-۴ استفاده شده است.

## فصل پنجم- روش‌های تجربی ارزیابی کیفیت سقف کارگاه استخراج

### ۱-۵ مقدمه

ارزیابی کیفیت سقف کارگاه استخراج، این امکان را فراهم می‌سازد، تا کنترل عوارض ناشی از ریزش سنگ‌های کمربالا افزایش یابد. بدیهی است هر چقدر میزان پیش‌بینی رفتار سنگ‌های سقف در کارگاه استخراج با دقت بیشتر و با استفاده از تنوری‌های کاملتری صورت پذیرد، ضمن رعایت ایمنی در کارگاه، هزینه‌های نگهداری و کنترل سقف نیز به مراتب کاهش می‌یابد.

طی سالیان اخیر روش‌های تجربی متفاوتی به منظور ارزیابی قابلیت تخریب سنگ‌های سقف پیشنهاد شده است. این روش‌ها که در اثر تحقیقات انجام شده در نواحی مختلف تعیین شده‌اند، از لحاظ قابلیت ارزیابی سقف کارگاه‌های استخراج متفاوت بوده و در بعضی از موارد کاربرد محلی داشته و در بررسی رفتار سنگ سقف در نواحی دیگر، کاربردی ندارند. پیش از معرفی برخی از روش‌های ارزیابی قابلیت تخریب سنگ سقف، به توضیح چند واژه می‌پردازیم [۹] و [۱۰] :

**سقف بلاواسطه<sup>(۱)</sup>:**

آن قسمت از چینه‌های پوششی که بلافاصله پس از پیشروی جبهه‌کار به داخل فضای کارگاه ریزش می‌کند. در بعضی از مواقع سقف بلاواسطه همه فضای تخریب را پر نمی‌کند. در این حالت امکان تخریب سقف اصلی در مساحت زیاد وجود دارد (شکل ۱-۵).

**سقف اصلی<sup>(۲)</sup>:**

معمولًا به پایین‌ترین چینه در زون شکسته و یا به قسمتی از چینه‌ها که در بالای سقف بلاواسطه قرار می‌گیرد سقف اصلی می‌گویند. این سقف معمولًا در طول جهت پیشروی جبهه‌کار شکسته شده و باعث بروز تاثیر وزنی سقف<sup>(۳)</sup> به صورت دوره‌ای بر روی ناحیه کارگاه می‌شود (شکل ۱-۵).

### ضریب انبساط حجمی

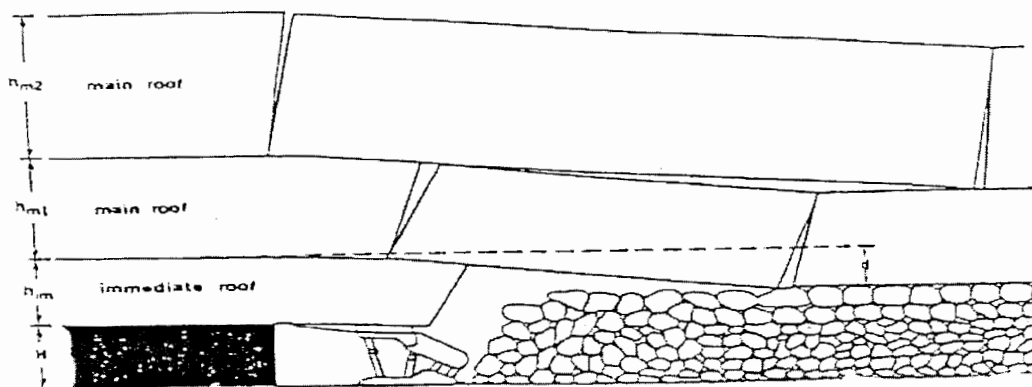
نسبت حجم مواد پس از شکسته شدن به حجم اولیه را ضریب انبساط حجمی<sup>(۴)</sup> می‌گویند.

1-Immediate roof

2-Main roof

3-Roof weighting

4-Bulking factor



شکل ۱-۵ سقف بلاواسطه و سقف اصلی

### ارتفاع تخریب

قسمتی از سقف که پس از شکسته شدن در ابعاد مختلف به داخل فضای خالی ریزش می‌کند.

$$h = \frac{t}{k-1} \quad (1-5)$$

در اینجا  $t$  ضخامت لایه استخراجی و  $k$  فاکتور انبساط حجمی سنگ سقف است.

### گام اولین تخریب

حداکثر فاصله میان دویل آماده‌سازی و جبهه کار ذغالی که با افزایش این فاصله، تخریب سقف در یک ناحیه بزرگ رخ می‌دهد (شکل ۲-۵).

#### اولین تاثیر وزنی <sup>(۱)</sup>

فشار سقف که در زمان وقوع اولین تخریب وارد می‌شود.

### گام تخریب دوره‌ای سقف

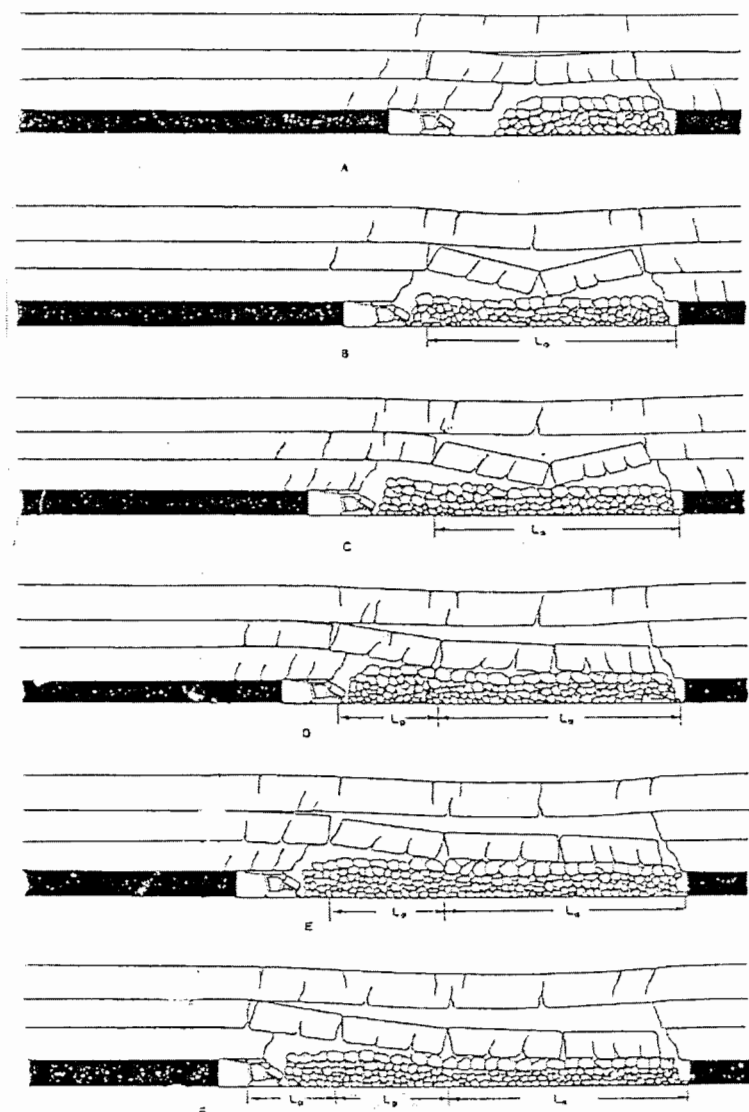
حداکثر فاصله میان جبهه کار و ناحیه تخریب شده در کارگاه بعد از وقوع اولین تاثیر وزنی که با افزایش این فاصله شکست دوره‌ای سقف اتفاق می‌افتد. (فاصله میان دو تاثیر وزنی متوالی) (شکل ۲-۵).

#### تاثیر وزنی دوره‌ای <sup>(۲)</sup>

فشار سقف که در زمان وقوع تخریب دوره‌ای وارد می‌شود.

1-First weighting interval

2- Periodic roof weighting



شکل ۵-۲ گام اولیه و گام دوره‌ای سقف [۱۸]

## ۵-۲-۵- روش‌های تجربی ارزیابی قابلیت تخریب<sup>(۱)</sup> سنگ‌های سقف

از میان این روش‌ها می‌توان به موارد زیر اشاره نمود:

الف- تقسیم‌بندی براساس تغییرات جنس و ضخامت و چگونگی تناوب چینه‌های فوقانی

ب- روش E.T. Proyavkin

ج- تقسیم‌بندی بر اساس مقاومت جداشیش لایه‌ای

د- تقسیم‌بندی بر اساس شاخص مهندسی  $L$

ه- تقسیم‌بندی بر اساس شاخص مقاومت

و- تقسیم‌بندی بر اساس شاخص  $N$

ز- طبقه‌بندی با استفاده از چکش اشمیت

ح- تقسیم‌بندی بر اساس محاسبه شاخص کیفیت سقف<sup>(۲)</sup>

## ۵-۲-۵- تقسیم‌بندی سقف بلاواسطه بر اساس تغییرات جنس و ضخامت سقف

### بلاواسطه (طبقه بندی PENG)

در این نوع از تقسیم‌بندی سقف‌های اصلی و بلاواسطه بر اساس جنس و ضخامت سقف به سه دسته

تقسیم می‌شوند [۱۶] و [۹].

### ۵-۲-۱- سقف بلاواسطه ناپایدار<sup>(۳)</sup>

چنین سقفی دارای خصوصیات زیر است [۹]:

۱- جنس این نوع سقف ممکن است شیل کربونیزه نرم وضعیف<sup>(۴)</sup> یا شیل ماسه‌ای درزه‌دار یا شکسته<sup>(۵)</sup> باشد.

۲- اگر بلافصله پس از گرفتن ذغال، سیستم نگهداری در زیر این سقف نصب نشود، در مدتی کمتر از ده دقیقه ریزش می‌کند.

1-Caveability

2-Roof Quality Index

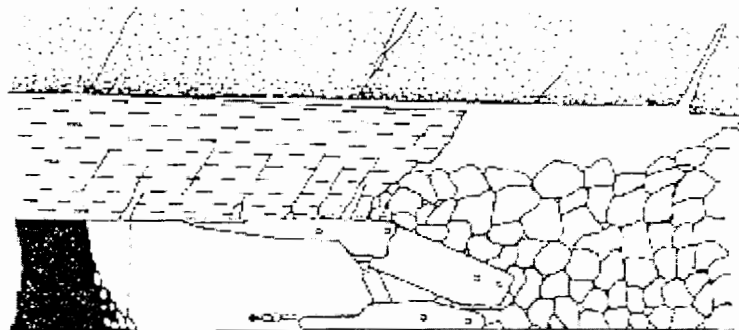
3- Unstable Immediate Roof

4- Soft and weak carbonaceous shale

5 - Jointed or fractured sandy shale

۳- این لایه در قسمت عقب کارگاه پس از پیشروی سیستم نگهداری یا بازیابی سیستم نگهداری بلافالله در محل تخریب ریزش می‌کند و در این قسمت هیچ‌گونه طره‌ای باقی نمی‌ماند.

۴- ابعاد قطعات خرد شده نسبتاً کوچک است (شکل ۳-۵).



شکل ۳-۵ سقف بلاواسطه ناپایدار [۹]

#### ۲-۱-۲ سقف بلاواسطه نیمه پایدار<sup>(۱)</sup>

این نوع سقف دارای خصوصیات زیر است [۹] و [۱۸] :

۱- جنس این نوع سقف ممکن است شیل سخت، شیل ماسه‌ای و یا ماسه‌سنگ ضعیف باشد.

۲- درزهای ترک‌ها در سقف به صورت کامل وجود ندارند.

۳- تحت شرایط نرمال امکان آن وجود دارد که بدون نصب وسیله نگهداری، گرفتن ذغال به عمق یک سیکل بدون ریزش سقف انجام شود. یعنی می‌توان یک برش کامل ذغال را گرفت و سپس سیستم نگهداری را به جلو انتقال داد.

۴- معمولاً سقف در زمان کوتاهی پس از پیشروی سیستم نگهداری، تخریب می‌شود. مواد تخریب شده دارای ابعاد بزرگتری نسبت به حالت قبل هستند. خط تخریب<sup>(۲)</sup> درست در پشت خط فشار حاصل از نگهداری‌ها یا کمی عقب‌تر از آن قرار می‌گیرد.

۵- در صورت استفاده از سپرهای قدرتی<sup>(۳)</sup>، توزیع فشار بر روی سپر فوقانی تقریباً یکنواخت خواهد بود.

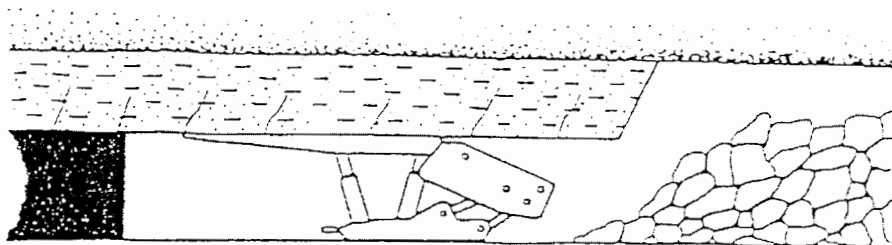
۶- بارگذاری و بار برداری متناوب به وسیله سیستم نگهداری روی پایداری سقف تأثیر می‌گذارد.

1- Medium Stable Immediate Roof

2-Gob line

3-Powered supports

۷- در صورت انتخاب نامناسب سیستم نگهداری و بالارفتن رطوبت (باتلاقی شدن کارگاه) یک سقف نیمه‌پایدار به یک سقف ناپایدار تبدیل می‌شود (شکل ۴-۵).



شکل ۴-۵ سقف بلاواسطه نیمه پایدار [۹]

### ۳-۱-۲) سقف بلاواسطه پایدار<sup>(۱)</sup>

سه حالت از سقف بلاواسطه پایدار وجود دارد [۹].

I - حالتی که سقف از جنس شیل ماسه‌ای قوی یا ماسه سنگ ضخیم می‌باشد.

این نوع سقف دارای خصوصیات زیر است [۹] :

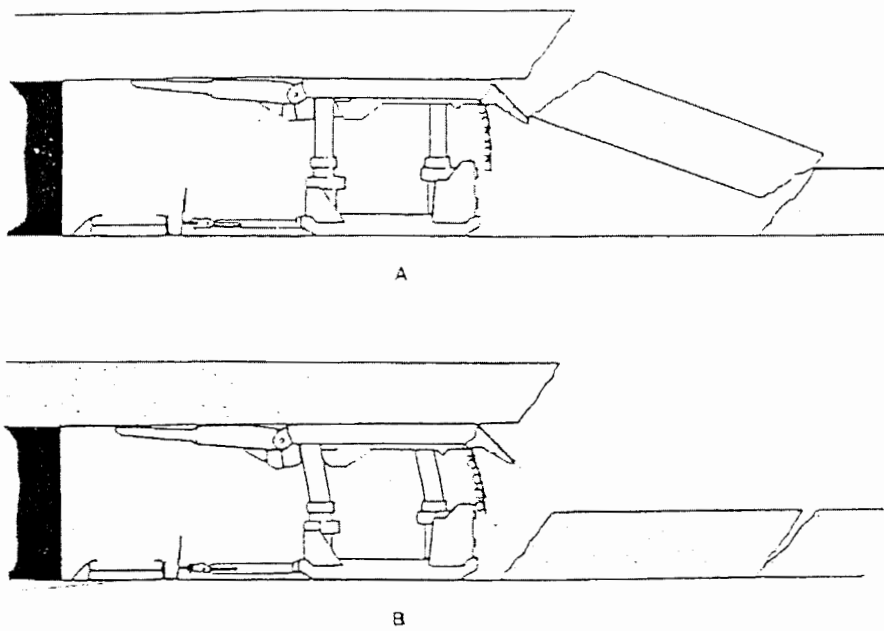
۱- این نوع سقف می‌تواند برای مدتی بین ۵ تا ۸ ساعت بدون هیچگونه وسیله نگهداری و بدون بروز عارضه‌ای در آن، باقی بماند.

۲- بارگذاری و بار برداری متفاوت به وسیله سیستم نگهداری تأثیری روی آن ندارد.

۳- نیروی عکس العمل در سیستم‌های نگهداری قدرتی به قسمت عقب سپر وارد می‌شود.

۴- سقف در قسمت عقب به حالت طره‌ای درآمده و قطعات خردشده آن دارای ابعاد نسبتاً بزرگی هستند.

۵- در صورتی که این‌گونه سقف‌ها در نزدیکی انتهای خط نگهداری ریزش کنند، ممکن است نیروی ضربه‌ای حاصله، روی سیستم نگهداری تأثیر بگذارد (شکل ۵-۵).



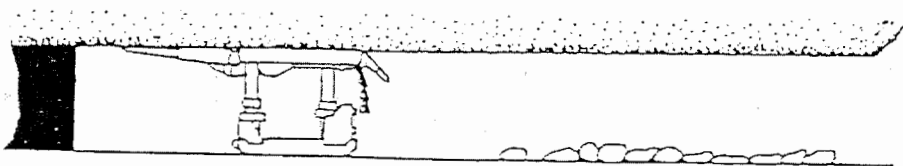
شکل ۵-۵ سقف بلاواسطه پایدار نوع I [۹]

## II - سقف بلاواسطه از جنس ماسه‌سنگ یا کنگلومرای سخت یا بسیار ضخیم می‌باشد.

این نوع سقف دارای خصوصیات زیر است [۹]:

- ۱- این گونه سقف‌ها می‌توانند در یک ناحیه وسیع به صورت معلق باقی بمانند. این مساحت تا حدود  $7740-8500\text{ m}^2$  نیز گزارش شده است.
- ۲- این نوع سقف‌ها برای مدت زمان طولانی، بدون بروز هیچ‌گونه ریزش باقی می‌مانند.
- ۳- پیش از زمان تأثیر وزنی، فشار زیاد سقف آشکار نیست اما وقتی که زمان تأثیر وزنی آغاز می‌شود، سقف بالای منطقه تخریب به صورت یکجا و پرقدرت عمل کرده و در هنگام تخریب بار ضربه‌ای شدیدی تولید می‌شود. چنین بار ضربه‌ای در مدت زمان بسیار کوتاهی ظاهر شده و باعث افزایش فشار در ردیف آخر نگهداری‌ها می‌شود. در صورت استفاده از سیستم‌های نگهداری قدرتی، فشار زیادی به پایه‌های عقبی می‌شود. در این مورد مهلت عمل کردن به دریچه‌های خروج سیال داده نشده و صدمه زیادی به سیستم نگهداری وارد می‌شود (شکل ۵-۶).

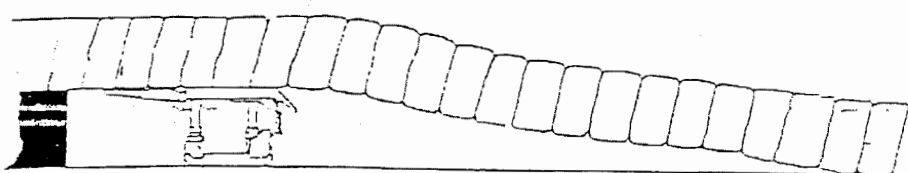
۳- برای یک چنین سقفی، ضروری است که تخریب‌های القائی مصنوعی مناسبی ترتیب داده شود.



شکل ۶-۵ سقف بلاواسطه پایدار نوع II [۹]

### III. سقف بلاواسطه از جنس سنگ آهک یا ماسه سنگ سخت می‌باشد.

در این نوع از سقف، درزهای شکستگی‌ها به صورت مطلوبی عمل کرده و باعث تشکیل صفحات ضعیفی که در طول آنها سنگ می‌شکند، می‌شود. با پیشرفت جبهه کار، این سقف شکم داده و به صورت بلوک‌هایی شکسته می‌شود. شکم دادگی و نشست بیشتر باعث تشکیل یک نیم‌قوس توسط این بلوک‌ها می‌شود. این نیم‌قوس کم کم روی منطقه تخریب می‌خوابد (شکل ۶-۵).



شکل ۶-۵ سقف بلاواسطه پایدار نوع III [۹]

### ۴-۱-۲-۵ ارزیابی رفتار سنگ سقف اصلی و سقف بلاواسطه لایه $P_{10}$ شبیدار بر

#### آساس جنس و ضخامت

بررسی اطلاعات حاصل از گمانه‌های اکتشافی و مشاهدات تجربی نشان می‌دهد که رفتار سقف بلاواسطه منطقه عملیاتی موردنظر شبیه رفتار سقف بلاواسطه نوع دوم می‌باشد. جنس این سقف از سیلتستون بوده و ترک‌ها و شکستگی‌ها در آن امتداد طولانی ندارند.

در هنگام حفر دویل آماده‌سازی بلافاصله سیستم نگهداری نصب می‌شود. با افزایش گام پیشروی (حدود ۱۰ آسیکل و در حدود ۸/۵ متر) شکستگی‌هایی در ردیف‌های میانی پایه‌های چوبی اتفاق می‌افتد. این شکستگی‌ها بیانگر این مسئله است که در قسمت‌های میانی فشار بیشتری به سقف وارد شده است. با افزایش گام پیشروی، به دلیل اینکه سقف بلاواسطه تمایل به ایجاد اولین تاثیر وزنی

دارد، شکستگی‌های بیشتری در پایه‌های چوبی رخ داده و اولین تاثیر وزنی سقف، بهدلیل وجود پایه‌های چوبی با شدت نسبتاً زیادی رخ می‌دهد. لازم به ذکر است که در صورت عدم وجود پایه‌های چوبی، اولین تاثیر وزنی با شدت بیشتری رخ خواهد داد.

بررسی رفتار مربوط به سقف اصلی هنگامی از اهمیت بالایی برخوردار است که ضخامت سقف بلاواسطه کمتر از ارتفاع تخریب سقف بلاواسطه باشد. با استفاده از رابطه ۵-۱ ارتفاع تخریب مربوط به سقف بلاواسطه به صورت زیر محاسبه می‌شود :

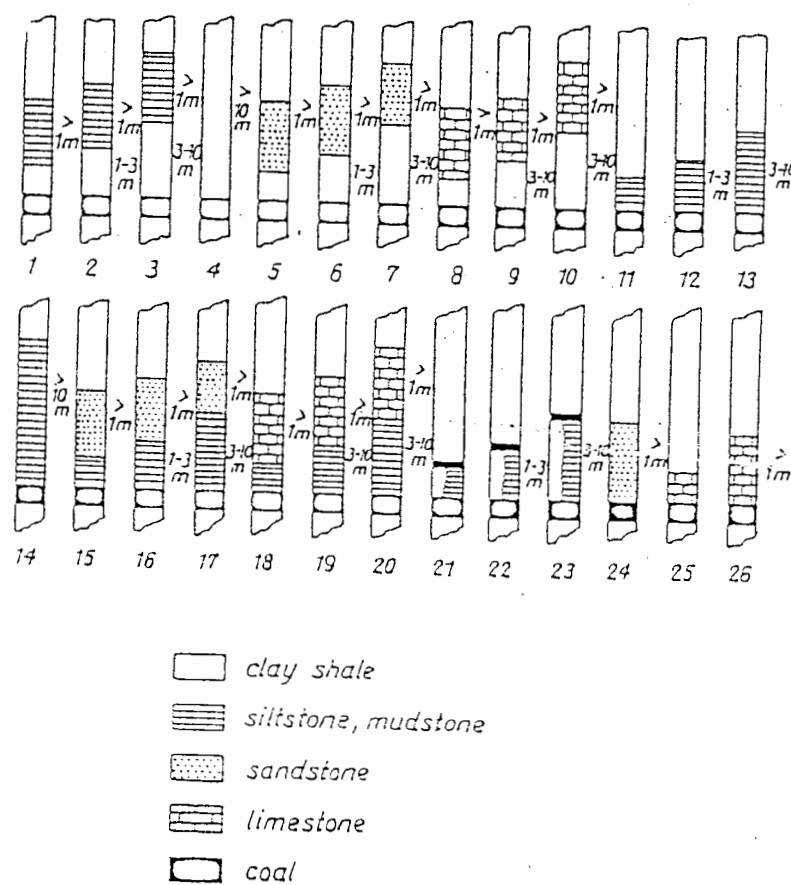
$$h = \frac{t}{k-1} = \frac{1.7}{1.4-1} = 4.25 > 3.24$$

از آنجائی که مقدار ارتفاع تخریب مربوط به سقف بلاواسطه لایه  $P_{10}$  شیبدار بیشتر از ضخامت سقف بلاواسطه این لایه است، تخریب سقف بلاواسطه نمی‌تواند فضای خالی ایجاد شده ناشی از استخراج لایه ذغالی و ریزش سقف بلاواسطه را پر کند، در نتیجه وجود یک فضای خالی میان سقف بلاواسطه تخریب شده و سقف اصلی، شرایط را جهت ایجاد تاثیر وزنی سقف اصلی فراهم می‌سازد.

بررسی گمانه‌های اکتشافی مربوط به لایه  $P_{10}$  شیبدار نشان می‌دهد که سقف اصلی مربوط به این لایه از جنس ماسه سنگ ضخیم می‌باشد و ضخامت آن در حدود ۳۳ متر است. ویژگی‌های *PENG* مربوط به این سقف، شبیه ویژگی‌های مربوط به گروه سوم (حالت دوم) طبقه بندی می‌باشد. این سقف در بالای سقف بلاواسطه به صورت طره‌ای در می‌آید. تخریب این سقف با تاخیر زیاد و در یک مساحت بزرگ و به صورت بسیار پرقدرت عمل کرده و در بیشتر مواقع باعث مسدود شدن فضای کارگاه استخراج می‌شود. وقوع ناگهانی این تخریب خسارات مالی و جانی زیادی را به همراه خواهد داشت. خوشبختانه وقوع این تخریب در روزهای تعطیل صورت گرفته و هیچگونه خسارت جانی به دنبال نداشته است.

## E.T.Proyavkin ۲-۲ روشن

این طبقه‌بندی کیفی توسط E.T Proyavkin و همکارانش برای منطقه ذغالی دونتز واقع در کشور شوروی ارائه شده است. در شکل ۸-۵، ۲۶ حالت از تناوب چینه‌ها پشت سر هم نشان داده شده است. اولین تناوب نشان‌دهنده سقفی است که بلافاصله پس از پیشروی استخراج، ریزش کرده و بسیار راحت تخریب می‌شود، در حالی که آخرین تناوب معرف محکم‌ترین سقف است. این سقف در قسمت عقب کارگاه (ناحیه تخریب) تشکیل قسمت طره‌ای می‌دهد و تخریب این سقف با تأخیر زیاد و در یک مساحت بزرگ و به صورت بسیار پرقدرت عمل کرده و در بیشتر مواقع باعث مسدود شدن فضای کارگاه استخراج می‌شود. بنابراین به منظور جلوگیری از خطرات ناشی از ریزش این نوع از سقف‌ها تخریب مصنوعی لازم است. [۹] و [۱۹].



شکل ۸-۵ طبقه‌بندی سقف بر اساس جنس و فخامت لایه‌ها [۱۹]

## ۱-۲-۲-۵- ارزیابی رفتارسنگ سقف اصلی و سقف بلاواسطه لایه $P_{10}$ شیب دار بر

### اساس طبقه‌بندی *Proyavkin*

بر طبق این طبقه‌بندی وضعیت لایه  $P_{10}$  شیب دار، مشابه حالت ۱۶ می‌باشد. در این حالت سقف بلاواسطه از لحاظ تخریب در وضعیتی متوسط قرار دارد، یعنی تخریب سقف با تاخیر همراه بوده و قسمت طره‌ای در مساحت بسیار زیاد ایجاد نمی‌شود.

وضعیت سقف اصلی نیز شبیه حالت ۲۴ از طبقه‌بندی *Proyavkin* می‌باشد. در این حالت تخریب سقف اصلی با تاخیر زیاد همراه بوده و تخریب این سقف با تاخیر بسیار زیاد و در یک مساحت نسبتاً بزرگ و به صورت پرقدرت انجام می‌گیرد. پس از وقوع اولین تخریب، این سقف در قسمت بالای سقف بلاواسطه تشکیل طره می‌دهد و تخریب‌های دوره‌ای این سقف، با ضربه‌ای شدیدی تولید می‌کنند و این تخریب‌ها در دو مورد باعث مسدود شدن فضای کارگاه استخراج شده است.

### ۳-۲-۳ طبقه بندی سقف براساس مقاومت جدایش لایه‌ای

در این طبقه بندی از دو مفهوم زیر استفاده می‌شود:

الف) چینه‌های سقف در طول صفحات لایه‌بندی، جدا و تخریب می‌شوند. بنابراین مقاومت در مقابل جدایش لایه‌ای، یک اندازه‌گیری از قابلیت تخریب چینه‌ها است.

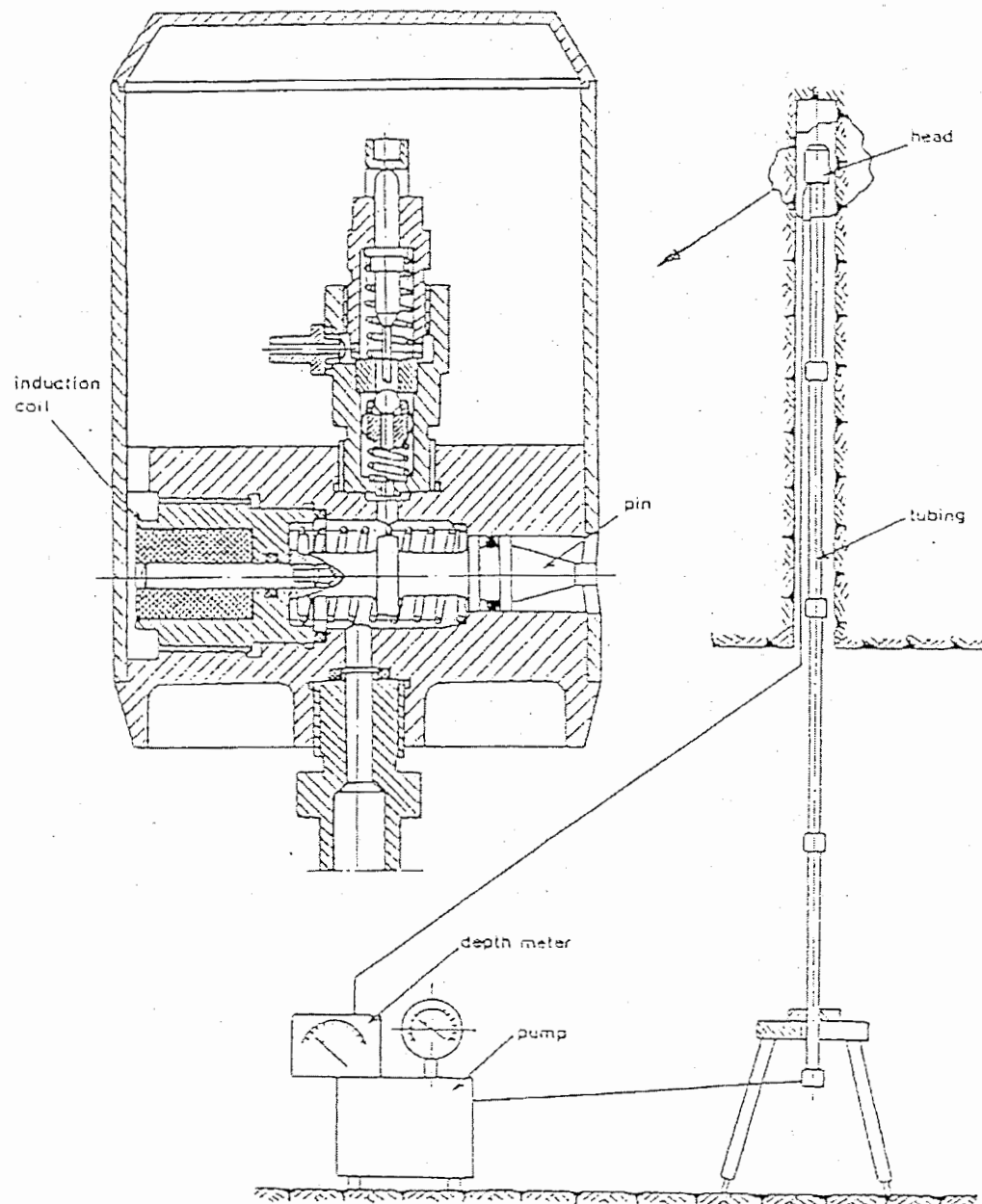
ب) قابلیت تخریب چینه‌ها با فاصلهٔ رو به بالای لایه از سقف، نسبت معکوس دارد. مقاومت جدایش لایه‌ای چینه‌ها به وسیلهٔ نفوذسنجد گمانه‌ای<sup>(۱)</sup> (شکل ۹-۵) و در طول دیواره گمانه اندازه‌گیری می‌شود [۹] و [۱۹].

بر اساس دو پارامتر الف و ب رفتار سنگ‌های سقف را به شش گروه تقسیم می‌کنند (جدول ۹-۱).

جدول ۹-۱ قابلیت تخریب سقف براساس مقاومت جدایش لایه‌ای [۹]

قابلیت تخریب	مقاومت جدایش لایه‌ای $R(Mpa)$	گروه
سنگ‌های سقف، بلا فاصله پس از استخراج ذغال تخریب می‌شوند.	۰-۴۹	۱
سنگها در حالت خود نگهدار ضعیف بوده و به سادگی تخریب می‌شوند.	۴۹-۱۴۷	۲
سنگها دارای شکستگی هستند و تا حدودی قسمتهایی از آن به صورت خود نگهدار بوده ولی براحتی تخریب می‌شوند	۱۴۷-۲۹۴	۳
سنگها بصورت خود نگهدارند ولی به سادگی تخریب می‌شوند	۲۹۴-۴۴۱	۴
سنگها بصورت خود نگهدارند و کمتر تخریب می‌شوند	۴۴۱-۵۵۸	۵
سنگها بسیار محکم هستند و خیلی کم تخریب می‌شوند	> ۵۵۸	۶

به دلیل عدم وجود دستگاه نفوذسنجد گمانه‌ای، این روش در ارزیابی سقف بلاواسطه و سقف اصلی لایه  $P_{10}$  مورد استفاده قرار نگرفته است.



شکل ۹-۵ نفوذ سنج گمانه ای [۹]

## ۴-۲-۵ ارزیابی سقف بلاواسطه بر اساس شاخص مهندسی $L$

شاخص مهندسی  $L$  ( گام اولین تخریب سقف بلاواسطه) نیز به عنوان معیاری در طبقه‌بندی سقف بلاواسطه بکار می‌رود. باید توجه کرد که اولین تخریب به ریزشی اطلاق می‌شود که ارتفاع آن بیش از  $1/5$  m متر و طول آن بیش از نصف عرض جبهه کار (W) باشد.

گام اولین تخریب یا اولین فاصله تأثیر وزنی سقف بلاواسطه از فرمول زیر به دست می‌آید [۹] :

$$L_{oim} = \sqrt{\frac{2 \times h_{im} \times T_{im}}{\delta_m}} \quad 2-5$$

در این رابطه:

$L_{oim}$  اولین فاصله تأثیر وزنی برای سقف بلاواسطه (m)

$h_{im}$  ضخامت سقف بلاواسطه (m)

$T_{im}$  مقاومت کششی سقف بلاواسطه (MPa)

$\delta_{im}$  وزن مخصوص سقف بلاواسطه ( $\frac{MN}{m^3}$ )

جدول (۲-۵) طبقه‌بندی سقف بلاواسطه را بر اساس مقادیر مختلف شاخص مهندسی  $L_{oim}$  نشان

می‌دهد [۹]

جدول (۲-۵) طبقه‌بندی سقف بلاواسطه براساس مقادیر مختلف شاخص مهندسی  $L_{oim}$  [۹]

۴	۳	۲	۱	کلاس سقف
محکم	پایدار	نیمه‌پایدار	ناپایدار	وضعیت پایداری
>۲۵	۱۹-۲۵	۹-۱۸	<۸	شاخص مهندسی $L_{oim}$ (m)

#### ۲-۵- طبقه‌بندی سقف بلاواسطهٔ پر اساس شاخص مقاومت

در این نوع از طبقه‌بندی که حاصل انجام تحقیقات در معادن چین می‌باشد، سقف بلاواسطه بر اساس پایداری به چهار گروه تقسیم می‌شود. فاکتور مورد استفاده جهت طبقه‌بندی سقف بلاواسطه شاخص مقاومت ( $\sigma$ ) است که مقدار آن از رابطه تجربی زیر محاسبه می‌گردد [۱۷]:

$$\sigma_1 = C_{oim} \times C_1 \times C_2$$

در این رابطه:

$$C_{oim} = \text{مقاآمت فشاری تکمحوی سقف بلاواسطه (MPa)}$$

$C_1$  = شاخص ضخامت سقف بلاواسطه

ای درزهای بهصورت تابعی از فضای درزهای و شاخص ضخامت سقف بلاواسطه بهصورت تابعی از ضخامت سقف بلاواسطه تعریف شده است. فضای درزهای متوسط فاصله‌داری بیشترین درزهای قابل رویت موجود در سقف بلاواسطه است.

در جدول ۳-۵ مقادیر شاخص‌های  $C_1$ ,  $C_2$  به ازای مقادیر مختلف ضخامت سقف بلاواسطه و متوسط فاصله‌داری درزه‌ها نشان داده شده است. در شرایطی که متوسط فاصله‌داری درزه‌ها و ضخامت سقف بلاواسطه از ۱۲۰ cm بزرگتر باشند، حداکثر مقادیر جدول ۳-۵ برای هر دو شاخص در نظر گرفته می‌شود. جدول ۴-۵ نیز طبقه‌بندی سقف بلاواسطه را بر اساس مقادیر مختلف شاخص مقاومت نشان می‌دهد [۹] و [۱۷].

جدول - ۵ ۳ شاخص های  $C_1$  و  $C_2$  به ازای مقادیر مختلف ضخامت سقف بلاواسطه و متوسط فاصله داری درزه ها [۱۷]

مشخصات سقف بلاواسطه (cm)													
متوسط فاصله داری درزهای (cm)													
شاخص ضخامت سقف بلاواسطه $C_1$													
۱۲۰	۱۱۰	۱۰۰	۹۰	۸۰	۷۰	۶۰	۵۰	۴۰	۳۰	۲۰	۱۰	۵	۲
۱۲۰	۱۱۰	۱۰۰	۹۰	۸۰	۷۰	۶۰	۵۰	۴۰	۳۰	۲۰	۱۰	۵	۲
.۱۴۱	.۱۳۹	.۱۳۸	.۱۳۶	.۱۳۵	.۱۳۴	.۱۳۲	.۱۳۲	.۱۳	.۱۲۹	.۱۲۷	.۱۲۵	.۱۲۴	
.۱۵۵	.۱۵۲	.۱۵۰	.۱۴۸	.۱۴۶	.۱۴۳	.۱۴۱	.۱۳۹	.۱۳۷	.۱۳۴	.۱۳۲	.۱۳		

جدول ٤-٥ طبقه بندی سقف بلاواسطه بر اساس مقادیر مختلف شاخص مقاومت [١٧]

۴	۳	۲	۱	گروه
>۱۲	۷-۱۲	۳/۱-۷	<۳	شاخص مقاومت MPa
محکم	پایدار	نیمه پایدار	ناپایدار	وضعیت پایداری
≥ ۲۵	۱۸-۲۵	۸-۱۸	≤ ۸	حداکثر گام پیش روی قبل از وقوع اولین تخریب دوره ای (m)

### ۵-۲-۱- ارزیابی سقف بلاواسطه لایه $P_{10}$ بر اساس شاخص مقاومت و شاخص

مهندسی

#### الف - استفاده از روش شاخص مقاومت

میزان شاخص مقاومت مربوط به سقف بلاواسطه به صورت زیر تعیین می‌شود :

$$C_{oim} = 29 / 85 \text{ MPa}$$

نتایج بخش ۴-۴ نشان می‌دهد که متوسط فاصله‌داری سقف بلاواسطه لایه  $P_{10}$  شیبدار برابر  $16/72 \text{ cm}$  می‌باشد. از آنجایی که این مقدار با توجه به جدول ۳-۵ در محدوده  $10-20$  قرار می‌گیرد، لذا مقدار متوسط  $31/31$ . به عنوان شاخص فضای درزهای سقف بلاواسطه در نظر گرفته می‌شود. با توجه به اینکه مقدار ضخامت سقف بلاواسطه برابر  $3/24$  متر است و این مقدار بیشتر از حداکثر ضخامت ذکر شده در جدول ۳-۵ می‌باشد، بر اساس توضیحات بخش ۵-۲-۵ حداکثر مقدار ممکن یعنی مقدار  $41/41$ . به عنوان شاخص ضخامت سقف بلاواسطه در نظر گرفته می‌شود.

$$\sigma_1 = C_{oim} \times C_1 \times C_2 = 29 / 85 \times 0 / 41 \times 0 / 31 = 3.939 \text{ MPa}$$

#### ب - محاسبه شاخص مهندسی سقف بلاواسطه لایه $P_{10}$ مربوط به سقف بلاواسطه لایه $L_{oim}$

مقدار  $L_{oim}$  سقف بلاواسطه لایه  $P_{10}$  با استفاده از رابطه ۲-۵ به صورت زیر تعیین می‌شود :

$$T_1 = \frac{2 \times C \times \cos \varphi}{1 + \sin \varphi} = \frac{2 \times 1.4168 \times \cos 33.20}{1 + \sin 33.20} = 1 / 532 \text{ MPa}$$

$$L_{oim} = \sqrt{\frac{2 \times h_1 \times T_1}{\delta_1}} = \sqrt{\frac{2 \times 3.24 \times 1.532}{0.025}} = 19 / 927 \text{ m}$$

شاخص مهندسی سقف بلاواسطه

نتایج ارزیابی سقف بلاواسطه لایه  $P_{10}$  شیب‌دار بر اساس معیارهای شاخص مقاومت و شاخص مهندسی در جدول ۵-۵ نشان داده شده است.

جدول ۵-۵ ارزیابی سقف بلاواسطه لایه  $P_{10}$  شیب‌دار بر اساس معیارهای شاخص مقاومت و شاخص مهندسی

معیار ارزیابی سقف بلاواسطه	مقدار	وضعیت سقف بلاواسطه
شاخص مقاومت ( $MPa$ )	۳۷/۹۳۹	نیمه‌پایدار
شاخص مهندسی $L_{oim}$ ( $m$ )	۱۹/۹۲۷	پایدار

## ۵-۶-۲-۶- ارزیابی رفتار سقف اصلی بر اساس شاخص $N$

به منظور بررسی این مسئله که آیا شرایط، جهت اعمال بار سقف اصلی وجود دارد یا خیر از شاخص  $N$  استفاده می‌شود. مقدار این شاخص از رابطه زیر به دست می‌آید :

$$N = \frac{H}{M} \quad 4-5$$

در این رابطه :

$H$  ضخامت سقف بلاواسطه (متر)

$M$  ارتفاع کارگاه استخراج (متر)

پس از تعیین مقدار شاخص  $N$  بر اساس جدول ۵-۶ چگونگی اعمال تاثیر وزنی سقف مورد

بررسی قرار می‌گیرد [۱۷].

جدول ۵-۶ رابطه میان شاخص  $N$  و چگونگی بروز تاثیر وزنی [۱۷]

کلاس شاخص	۱	۲	۳	۴
مقدار شاخص $N$	$N > 3$	$0.5 < N \leq 3$	$0.3 < N \leq 0.5$	$N < 0/3$
نوع تاثیر وزنی	وجود ندارد	قابل تشخیص	شدید	بسیار شدید

## ۵-۲-۱ ارزیابی رفتار سقف اصلی بر اساس شاخص $N$ و شاخص مقاومت

به منظور ارزیابی سقف اصلی، در ابتدا وضعیت سقف اصلی از لحاظ پایداری بررسی می‌شود.

شاخص مقاومت سقف اصلی می‌تواند معیاری جهت تعیین وضعیت پایداری سقف اصلی باشد. مقادیر

موثر در تعیین شاخص مقاومت سقف اصلی به صورت زیر تعیین می‌شوند:

مقدار شاخص فضای درزهای سقف اصلی برابر با شاخص فضای درزهای سقف بلاواسطه در نظر گرفته می‌شود.

مقدار شاخص ضخامت لایه نیز بر اساس توضیحات بخش ۵-۲-۵ حداقل مقدار ممکن و برابر با ۰/۴۱. منظور می‌گردد.

با توجه به اینکه مقاومت فشاری تک محوری سقف اصلی برابر  $MPa\ 63/26$  است، مقدار شاخص مقاومت سقف اصلی با استفاده از رابطه ۳-۵ به صورت زیر محاسبه می‌گردد.

$$\sigma_1 = C_{oim} \times C_1 \times C_2 = 63 / 26 \times . / 41 \times . / 31 = 8 / 04 MPa$$

با مراجعه به جدول ۴-۵ مشخص می‌شود که سقف اصلی وضعیتی پایدار دارد. همچنین حداقل گام پیشروی قبل از وقوع اولین تخریب دوره‌ای ۱۸-۲۵ متر می‌باشد. قابل توجه است که مقدار شاخص فضای درزهای که برای این سقف در نظر گرفته شده است تقریباً کمترین مقدار ممکن است. یعنی در بهترین حالت، سقف وضعیتی پایدار دارد و با افزایش متوسط فاصله‌داری درزهای که به دنبال آن شاخص فضای درزهای سقف اصلی نیز افزایش می‌یابد، وضعیت سقف اصلی به وضعیت نوع ۴ نزدیک می‌شود. هر چند که در این حالت سقف وضعیتی پایدار از خود نشان می‌دهد، ولی این حالت بسیار خطرناک بوده و تخریب سقف در این حالت در مساحت بسیار زیاد و با بار ضربه‌ای زیاد همراه خواهد بود.

پس از تعیین وضعیت پایداری سقف اصلی، این مسئله که آیا شرایط، جهت اعمال بار ضربه‌ای شدید از سوی این سقف وجود دارد یا خیر، مورد بررسی قرار می‌گیرد. شاخص  $N$  معیار مناسبی جهت تعیین این مسئله می‌باشد.

مقدار این شاخص با استفاده از رابطه ۴-۵ به صورت زیر محاسبه می‌شود:

$$N = \frac{h_{im}}{H} = \frac{3.24}{1.7} = 1.9$$

با توجه به مقدار شاخص  $N$  و مراجعه به جدول ۵-۶ مشخص می‌شود که تاثیر وزنی سقف قابل تشخیص است.

این مسئله را با استفاده از رابطه ۱-۵-۱ نیز می‌توان تعیین کرد. در این روش با استفاده از رابطه ۱-۵ ارتفاع تخریب مربوط به سقف بلاواسطه را محاسبه می‌کنیم:

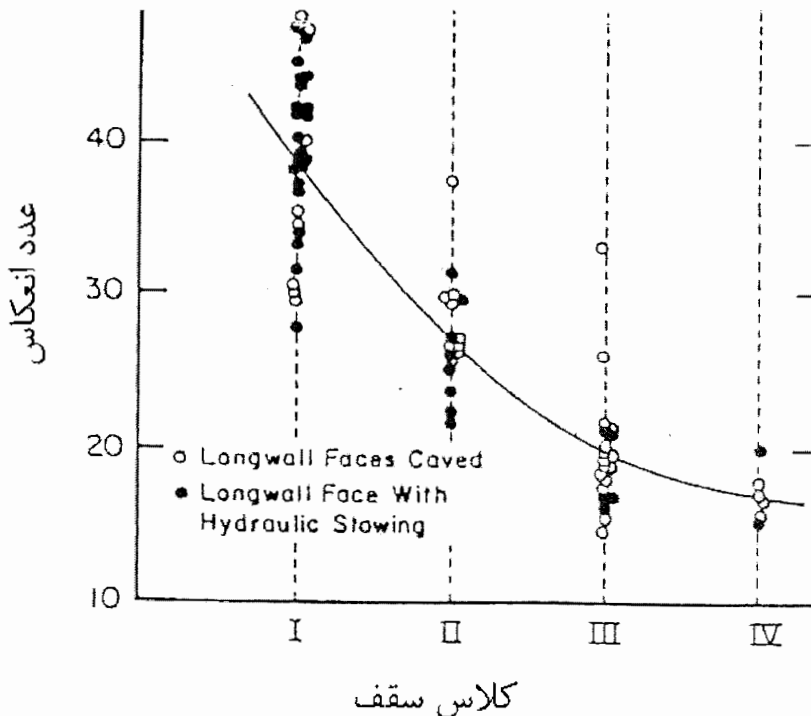
$$h = \frac{t}{k-1} = \frac{1.7}{1.4-1} = 4.25 > 3.24$$

از آنجایی که مقدار ارتفاع تخریب مربوط به سقف بلاواسطه لایه  $P_{10}$  بیشتر از ضخامت سقف بلاواسطه این لایه است، نتیجه گرفته می‌شود که تخریب سقف بلاواسطه نمی‌تواند فضای خالی ایجاد شده ناشی از استخراج لایه ذغالی و ریزش سقف بلاواسطه را پر کند، در نتیجه وجود یک فضای خالی میان سقف بلاواسطه تخریب شده و سقف اصلی، شرایط را جهت ایجاد تاثیر وزنی سقف اصلی فراهم می‌سازد.

### ۷-۲-۵ طبقه بندی سقف بلاواسطه با استفاده از چکش اشمیت

این روش در اثر انجام آزمایشات در معادن ذغال سیلیسیان شمالی<sup>(۱)</sup> واقع در کشور هلند رائمه گردیده است. در این نوع از طبقه بندی کیفیت سقف بلاواسطه، با استفاده از چکش اشمیت نوع  $N$  مورد ارزیابی قرار می‌گیرد. ارزیابی آزمایشات عملی انجام شده در منطقه مذکور، یک ارتباط تجربی میان میانگین اعداد انعکاس به دست آمده از چکش اشمیت و کیفیت سقف را نشان می‌دهد (جدول ۷-۵). در این طبقه بندی چهار معیار اصلی در نظر گرفته می‌شود که عبارتند از: حالت (وضعیت) سقف، همگرایی، حداکثر فضای بدون نگهداری و میانگین حجم تکه‌های جدا شده. سه مورد از این عوامل به صورت کمی و یک مورد به صورت کیفی است.

آزمایشات عملی در سه ردیف موازی و نزدیک جبهه کار توسط نویسنده انجام شده است. در هر ردیف ۲۰ آزمایش صورت گرفته که فواصل این آزمایش‌ها در هر ردیف  $20\text{ cm}$  است. در پایان میانگین اعداد انعکاس بدست آمده در این آزمایشات محاسبه و جهت تعیین کلاس سقف مورد استفاده قرار می‌گیرد. شکل ۱۰-۵ نشان می‌دهد که بر اساس میانگین مقادیر عددی بدست آمده از چکش اشمیت سقف‌ها به چهار کلاس خیلی خوب، خوب، متوسط و بسیار مشکل تقسیم می‌شوند.



شکل ۱۰-۵ رابطه میان میانگین مقادیر عددی بدست آمده از چکش اشمیت و کلاس سقف‌ها [۱۹]

پس از تعیین کلاس سقف با توجه به جدول ۷-۵ یک ارزیابی کیفی از سقف بلاواسطه صورت

می‌گیرد [۱۹].

استفاده از این روش در ارزیابی تقریبی کیفیت سقف بلاواسطه و کمک در انتخاب سیستم نگهداری مناسب در حالتی که بررسی در یک فضای زیرزمینی جدید مورد نظر باشد پیشنهاد می‌شود. از معایب استفاده از این روش می‌توان به عدم ارائه اطلاعات راجع به میزان فشار واردہ به سیستم نگهداری اشاره نمود.

جدول ۷-۵ رابطه میان کلاس سقف و برخی از ویژگی‌های کیفی [۱۹]

		ویژگی‌های کمی و کیفی مربوط به سقف بلاواسطه			
کلاس سقف بلاواسطه	توصیف وضعیت سقف بلاواسطه	همگرائی cm/m براساس عرض کارگاه و در حالتی که ارتفاع کارگاه ۲ متر است	بیشترین فضای باز بدون نگهداری (متر مربع)	حجم ذرات ایجاد شده به‌ازای یک متر مربع از سطح سقف cm <sup>3</sup>	
کلاس ۱	سقف قوی بدون شکست فضای باز بدون نگهداری بزرگ است.	<۲	>۷	<۲	
کلاس ۲	سقف یکنواخت شکستگی کم	۲-۴	۴-۷	۲-۱۱	
کلاس ۳	شکست زیاد- همگرایی قابل توجه ریش تقریباً زیاد	۴-۶	۰/۵-۴	۱۱-۲۰	
کلاس ۴	ریش تقریباً زیاد حفاری مشکل	>۶	۰/۱۵<	۲۰>	

استفاده از این روش به دلیل وجود نقايس زیر در ارزیابی رفتار سقف بลาواسطه در معادن ذغالسنگ طزره پيشنهاد نمی‌شود:

- ۱- عدم امكان محاسبه دقیق میانگین اعداد انعکاسی مربوط به سقف بلاواسطه در تونلهای دنباله لایه به دلیل وجود شکستگی های زیادی که در اثر آتشباری در سقف بلاواسطه ایجاد شده است.
- ۲- عدم امكان محاسبه دقیق میانگین اعداد انعکاسی مربوط به سقف بلاواسطه لایه  $P_{10}$  شیبدار در کارگاه‌های استخراج، بهعلت وجود لایه‌های نازک ذغال کاذب (لیچه) در سطح پایینی سقف بلاواسطه و عدم امكان حذف این لایه‌های نازک بهدلیل خطر ریزش سقف و امكان ایجاد اشکال در موقعیت چوب‌های مربوط به سیستم نگهداری.

### ۸-۲-۵ تقسیم بندی بر اساس محاسبه اندیس کیفیت سقف ( $RQI$ )

این روش به منظور طبقه بندی اولین قابلیت تخریب سنگ‌های کمربالا در نواحی معدنی سیلیسیا ( واقع در کشور هلند ) توسط Pawlowicz و در سال ۱۹۶۷ ارائه شده است. اندیس کیفیت سقف که به منظور توصیف کمربالا بکار گرفته می‌شود، از رابطه زیر محاسبه می‌شود [۱۹] :

$$L = \frac{R_M \cdot d}{10} \quad ۵-۵$$

$R_M$  - مقاومت فشاری تودهسنگ سقف کارگاه استخراج ( مگا پاسکال ).  
 $d$  - ضخامت سقف ( سانتی متر )

در جدول ۸-۵ توضیحات مربوط به طبقات مختلف بر اساس مقادیر مختلف شاخص کیفیت سقف مشاهده می‌شود. این تقسیم بندی بوسیله Bilinski در سال ۱۹۷۳ اصلاح و بهبود یافت. او روش دیگری به منظور محاسبه شاخص کیفیت سقف ارائه نمود. بر اساس نظریه او مقدار شاخص کیفیت سقف از رابطه تجربی زیر محاسبه می‌گردد [۱۹] :

$$L = 16 R_M \cdot d \quad ۶-۵$$

در این رابطه :

$R_M$  - مقاومت فشاری تودهسنگ سقف کارگاه استخراج ( مگا پاسکال )  
 $d$  - ضخامت سقف ( متر )

به منظور محاسبه مقدار  $R_M$  رابطه تجربی زیر را ارائه نمود :

$$R_M = R_c \cdot k_1 \cdot k_2 \cdot k_3 \quad ۷-۵$$

در این رابطه :

$R_c$  - مقاومت فشاری تک محوری سنگ سقف که در آزمایشگاه محاسبه می‌گردد. ( مگا پاسکال )

$k_1$  فاکتور مربوط به کارآیی مقاومت.<sup>(۱)</sup>

ضریب  $k_1$  برای ماسهسنگ ۰/۳۳ ، برای گلسنگ ۰/۴۲ و برای سیلتستون ۰/۵ در نظر گرفته می‌شود.

$k_2$  - فاکتور کاهش مقاومت در اثر زمان<sup>(۲)</sup>

1-Coefficient of strength utilization

2-Time factor describing weakening of rock in time

مقدار این فاکتور بوسیله نتایج حاصل از آزمایشات مربوط به کاهش مقاومت سنگ‌ها در طی زمان برای سنگ‌های مختلف محاسبه گردیده است. مقدار  $k_2$  در شرایطی که در معادن جبهه کار طویل کار می‌شود برای ماسه‌سنگ در حدود  $0.7$  و برای گلسنگ و سیلتستون در حدود  $0.6$  در نظر گرفته می‌شود.

$k_3$  - ضریب سست شوندگی سنگ در اثر رطوبت<sup>(۱)</sup>

این ضریب برای انواع سنگ‌ها تقریباً  $0.5$  در نظر گرفته می‌شود [۱۹].

جدول ۸-۵ تقسیم‌بندی کیفی لایه‌های سقف بر اساس شاخص کیفیت سقف [۱۹]

کلاس سقف	شاخص کیفیت سقف $\left( \frac{MN}{m} \right)$	توصیف کیفی لایه‌های سقف
۱	$0 < L \leq 18$	سقف خیلی ضعیف - در حالتی که مقدار $L$ کم باشد سقف بلاfacله بعد از استخراج ذغال، ریزش می‌کند. در حالتی که $L$ زیاد باشد سقف با تأخیر ریزش می‌کند باقی گذاردن مقداری ذغال به منظور حفظ پایداری لایه‌ها لازم است.
۲	$18 < L \leq 35$	کنترل سقف بسیار مشکل - برای مقادیر بیشتر از $30$ خردشده‌گی وجود دارد. سقف براحتی تخریب شده و شکستگی در سنگ سقف وجود دارد.
۳	$35 < L \leq 60$	به ازای مقادیر زیادتر $L$ ، سقف وضعیت خوبی دارد. سقف ضعیف است و به آسانی تخریب می‌شود.
۴	$60 < L \leq 130$	به ازای مقادیر پایین $L$ وضعیت تخریب سقف مناسب است. از لحاظ پایداری وضعیت سقف خوب است. به ازای مقادیر بالای $L$ تخریب سقف مشکل است.
۵	$L > 130$	سقف بسیار پایدار و شرایط کار بسیار خوب است. تخریب مشکل و امکان تخریب در مقیاس بزرگ وجود دارد.

### ۱-۸-۲-۵- محاسبه میزان پیشروی جبهه کار بدون وقوع اولین تأثیر وزنی

یکی از کاربردهای دیگر محاسبه شاخص کیفیت سقف، تعیین حداکثر میزان پیشروی جبهه کار بدون وقوع اولین تأثیر وزنی می‌باشد که مقدار آن را می‌توان از رابطه زیر محاسبه نمود [۱۹].

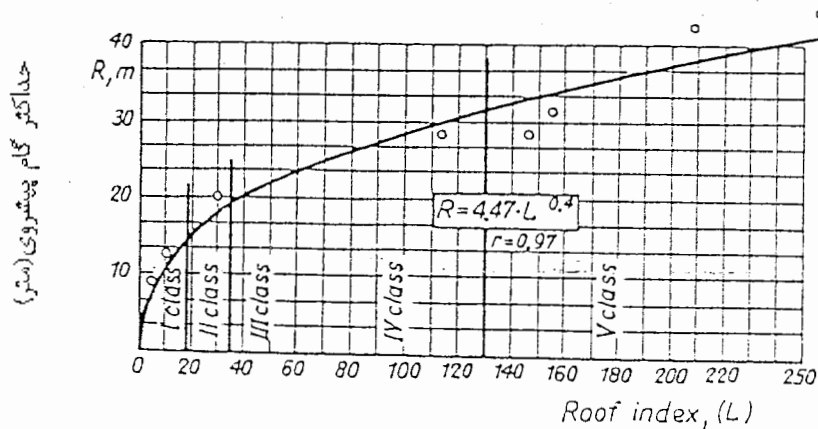
$$R = 4 / 47 \times L^{0.4} \quad 8-5$$

در این رابطه :

$R$ - پیشروی مورد نیاز جهت وقوع اولین تخریب (متر)

$$\left( \frac{MN}{m} \right) - \text{شاخص کیفیت سقف}$$

پس از محاسبه شاخص کیفیت سقف بر اساس نمودار شکل ۱۱-۵ نیز می‌توان حداکثر گام پیشروی بدون تأثیر وزنی اولیه را محاسبه نمود.



اندیس کیفیت سقف

شکل ۱۱-۵ ارتباط میان اندیس کیفیت سقف  $RQI$  و حداکثر گام پیشروی [۱۹]

در سال ۱۹۸۰ به منظور طراحی کارگاه‌های جبهه کار طویل، بعضی از پارامترهای گوناگون موثر در تقسیم‌بندی رفتار سنگ سقف را به صورت شاخص کیفیت سقف بلواسطه نشان داده‌اند. فرمول تجربی زیر به منظور محاسبه شاخص کیفیت سقف بلواسطه بکار می‌رود [۱۹] :

$$L = 0.016 \times C_s \times d$$

۸-۵

در این رابطه:

$d$  : ضخامت سقف بلواسطه (cm)

$C_s$  : مقاومت فشاری بر جای توده سنگ سقف بلواسطه ( $\frac{kg}{cm^2}$ )

در صورتی که مقاومت بر جای توده سنگ سقف بلواسطه را نتوان محاسبه نمود، مقدار تقریبی آن را می‌توان با استفاده از رابطه تجربی زیر بدست آورد:

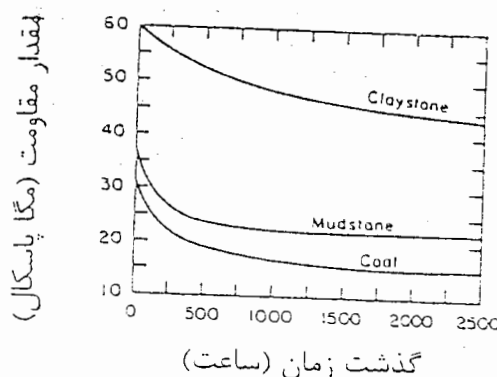
$$C_s = C \cdot K_1 \cdot K_2 \cdot K_3$$

در اینجا

$K_1$  ضریب کارآیی مقاومت توده سنگ سقف بلواسطه

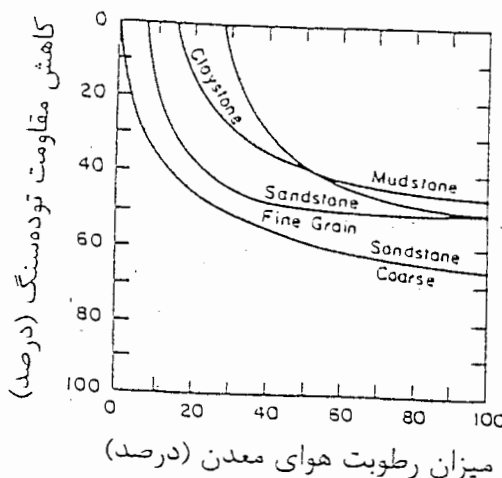
$K_2$  ضریب کاهش مقاومت توده سنگ سقف بلواسطه در طی زمان

مقدار این ضریب برای توده‌سنگ‌های مختلف را می‌توان از شکل ۱۲-۵ محاسبه نمود.



شکل ۱۲-۵ نمودار کاهش مقاومت در اثر گذشت زمان [۱۹]

$K_s$ : ضریب کاهش مقاومت توده سنگ سقف در اثر تأثیر رطوبت هوای معدن  
مقدار این ضریب برای توده‌سنگ‌های مختلف را می‌توان از شکل ۱۳-۵ محاسبه نمود.



شکل ۱۳-۵ نمودار کاهش مقاومت توده سنگ سقف در اثر تأثیر رطوبت هوای معدن [۱۹]

جدول ۹-۵ طبقه‌بندی سقف بلاواسطه براساس مقدار شاخص کیفیت سقف بلاواسطه

جدول ۹-۵ طبقه‌بندی سقف بلاواسطه براساس مقدار شاخص کیفیت سقف بلاواسطه [۱۹]

گروه	شاخص کیفیت سقف ( $\frac{kg}{cm}$ )	رفتار سنگ سقف	سطح مجاز بدون نگهداری (مترمربع)
۱	$L > 18$	خیلی ضعیف - سقف کارگاه فوراً ریزش می‌کند. بمنظور افزایش ایمنی کارگاه مقداری از زغال نیاز است که باقی گذارد شود.	.
۲	$18 \leq L \leq 35$	قابل شکست و ناپایدار بسختی کنترل می‌شود	۱-۲
۳	$35 \leq L \leq 6$	محکم - مناسب - جنس سقف معمولاً از سنگ رس و گلسنگ همراه با شکستگی تشكیل شده است. سقف به آسانی تخریب می‌شود.	۲-۵
۴	$6 \leq L \leq 130$	تخرب خوب - ماسه سنگ، گلسنگ و سنگ رس قوی و یا ماسه سنگ ضعیف وجود دارد.	۵-۸
۵	$130 \leq L \leq 250$	قوی - مستحکم به یک تخریب اولیه نیاز است. جنس سقف گلسنگ قوی و یا ماسه سنگ می‌باشد.	$> 8$
۶	$L > 250$	خیلی قوی - تخریب طبیعی رخ نمی‌دهد ماسه سنگ ضخیم در سقف وجود دارد.	$> 8$

## ۲-۸-۲-۵- ارزیابی سقف بلاواسطه لایه $P_{10}$ بر اساس شاخص کیفیت سنگ

مقادیر شاخص کیفیت سنگ سقف بلاواسطه و سقف اصلی در جدول ۱۰-۵ نشان داده شده است.

جدول ۱۰-۵ ارزیابی سقف بلاواسطه لایه  $P_{10}$  شبیدار

نوع سقف	سقف اصلی	سقف بلاواسطه
ضخامت سقف (متر)	۳۲/۹	۳/۲۴
مقاومت فشاری تک محوری توده سنگ سقف (مگاپاسکال)	۱۲/۷۹۳	۵/۲۴
شاخص کیفیت سقف $\left( \frac{MN}{m} \right)$	۶۷۳۴	۲۷۱
وضعیت سقف	تخرب مشکل و امکان تخریب در مقیاس بزرگ وجود دارد.	تخرب مشکل و امکان تخریب در مقیاس بزرگ وجود دارد.
حداکثر میزان پیشروی جبهه کار بدون وقوع اولین تأثیر وزنی (متر)	۱۵۱/۹	۴۲/۰۷

نتایج جدول ۱۰-۵ وضعیت سقف‌های بلاواسطه و سقف اصلی را به صورت تخریب در مقیاس

بزرگ بیان می‌کند. همچنین بر اساس نتایج این جدول گام تخریب سقف بلاواسطه برابر با  $42/07$  متر

برآورد شده است، در حالی که مشاهدات تجربی نشان می‌دهد که گام اولین تخریب سقف بلاواسطه

کمتر از این مقدار است. همچنین استفاده از این روش در ارزیابی قابلیت تخریب سقف اصلی لایه  $P_{10}$

وضعیت این سقف را به صورت کاملاً پایدار و لزوم تخریب مصنوعی در سقف اصلی را بیان می‌کند.

نتایج حاصل از ارزیابی سقف بلاواسطه و سقف اصلی لایه  $P_{10}$  با استفاده از روش تعیین شاخص

کیفیت سقف و مقایسه این نتایج با مشاهدات تجربی و گزارشات مربوط به وضعیت تخریب در

کارگاه‌های مربوطه، نشان از عدم عمومیت کاربرد این روش دارد.

## فصل ششم - روش‌های تجربی تحلیل پایداری تونل‌های دنباله‌لایه

### ۶-۱ طبقه‌بندی سقف بر اساس امتیاز توده سنگ (سیستم <sup>(۱)</sup> RMR)

از آنجایی که شاخصی منفرد جهت نشان‌دادن رفتار پیچیده توده‌سنگی که سازه زیرزمینی را محصور نموده وجود ندارد، به منظور تعیین رفتار سنگ سقف در نظر گرفتن چندین عامل مربوط به سنگ سقف ضروری به نظر می‌رسد. چنین نوعی از طبقه‌بندی در سال ۱۹۷۶ توسط بنیاوسکی از مرکز تحقیقات علمی و صنعتی افریقای جنوبی <sup>(۲)</sup> پیشنهاد شده است. این سیستم به‌طور پیوسته و در طول سال‌ها تصحیح گردیده است. طبقه‌بندی زیر بر اساس نسخه سال ۱۹۸۹ بنیاوسکی است [۱]. در این طبقه‌بندی از شش پارامتر زیر استفاده می‌شود:

۱- مقاومت فشاری تکمحوری سنگ

۲- شاخص کیفیت سنگ <sup>(۳)</sup>

۳- فاصله ناپیوستگی‌ها

۴- شرایط ناپیوستگی‌ها

۵- شرایط آب زیرزمینی

۶- جهت ناپیوستگی‌ها

بنیاوسکی یک رشته نمرات را به عنوان درجات اهمیت <sup>(۴)</sup> به پارامترهای پیشنهادی خود نسبت داد. به این صورت که به هر محدوده‌ای از یک پارامتر، یک نمره نسبت داد و نهایتاً پس از جمع نمرات مربوط به همه پارامترها، یک نمره کلی به توده‌سنگ موردنظر اختصاص داد. این نمره کلی پس از اعمال تاثیر راستا و جهت میل درزهای تصحیح می‌شود (جدول ۱ضمیمه) [۱].

بنیاوسکی نمره توده سنگ بر اساس طبقه‌بندی خود را به زمان خودپایداری یک دهانه فعال بدون حائل (مفهومی که اولین بار توسط لوفر پیشنهاد شد) ارتباط داد. این طبقه‌بندی به توصیه برخی از مولفین در طرح مقدماتی سازه‌های زیرزمینی مطلوب می‌باشد [۱۳].

1-Rock Mass Rating , RMR

2- South African Council for Scientific and Industrial Research ,CSIR

3- Roof Quality Index

4 -Importance rating

رابطه میان زمان خود پایداری دهانه بدون حائل فضای زیرزمینی و طبقه بندی ژئومکانیکی بیناوسکی در شکل ۱ ضمیمه نشان داده شده است [۶].

### ۶-۱-۱-۶- ارزیابی سقف بلاواسطه لایه $P_{10}$ با استفاده از سیستم RMR

از آنجایی که استفاده از این سیستم به منظور طبقه بندی توده سنگی است که فضاهای زیرزمینی (تونل های دنباله لایه و کارگاههای استخراج) در آن حفر شده است و این شرایط در معادن ذغالسنگ طزره ( که تونل‌های دنباله‌لایه در لایه‌های ذغالی و سنگ‌های کمربالا و کارگاههای استخراج در اثر استخراج لایه‌های ذغالی ایجاد شده‌اند) وجود ندارد، لذا استفاده از این سیستم طبقه‌بندی تنها در ارزیابی سقف بلاواسطه تونل‌های دنباله‌لایه مربوط به لایه  $P_{10}$  شیب‌دار مورد استفاده قرار می‌گیرد. قابل ذکر است که در تعیین امتیازات مربوط به پارامترهای مقاومت فشاری تک‌محوری، شاخص کیفیت سنگ و متوسط فاصله میان درزه‌ها از رابطه ۴-۷ استفاده شده است.

$$R_1 = 0.2146 (29.85)^{0.8031} = 3.282$$

$$R_2 = 0.2936 (87.88)^{0.917} = 17.79$$

$$R_3 = 18.6059 (0.1672)^{0.3562} = 9.83$$

در تعیین امتیاز مربوط به جهت ناپیوستگی‌ها، از آنجایی که تعداد دو دسته درزه در سقف بلاواسطه لایه  $P_{10}$  شیب‌دار وجود دارد و امتیاز مربوط به یک دسته درزه برابر ۲ و امتیاز مربوط به دسته درزه دیگر برابر ۱۲- می‌باشد، لذا جهت افزایش ضریب اطمینان، مجموع امتیازهای مربوط به این دو دسته درزه به عنوان امتیاز مربوط به تاثیر جهت ناپیوستگی‌های سقف بلاواسطه در نظر گرفته می‌شود. جدول ۱-۶ امتیاز مربوط به پارامترهای موثر در نمره توده سنگ (RMR) سقف بلاواسطه لایه  $P_{10}$  شیب‌دار را نشان می‌دهد.

جدول ۱-۶ امتیازات مربوط به پارامترهای موثر در نمره توده سنگ ( $RMR$ ) سقف بلاواسطه لایه  $P_{10}$ 

منبع	امتیاز $R_i$	مقدار (وضعیت)	پارامتر	ردیف
۷-۴ رابطه	۳/۲۸۲	۲۹/۸۵ MPa	مقاومت فشاری تک محوری	۱
۷-۴ رابطه	۱۷/۷۹	۸۷/۸۸	$RQD$ شاخص کیفیت سنگ	۲
۷-۴ رابطه	۹/۸۳	۱۶۷/۲ mm	فاصله ناپیوستگی‌ها	۳
جدول ۱-۳ ضمیمه	۲۱	طول ناپیوستگی‌ها $>$ یک متر بازشده ۱ تا ۵ میلیمتر کمی هوازده- سطوح درزه زبر پر کننده سخت $>$ ۵ mm	وضعیت ناپیوستگی‌ها	۴
جدول ۱-الف-۵ ضمیمه	۱۰	مرطوب	شرایط آب زیرزمینی	۵
جدول ۱-ب ضمیمه	-۱۴	امتداد یک دسته درزه تقریباً عمود بر محور تونل و جهت شب آن همجهت با جهت پیشروی تونل امتداد دسته درزه دوم تقریباً موازی با محور تونل	جهت ناپیوستگی‌ها	۶

$$RMR_{89} = \sum_{i=1}^6 R_i = 3/282 + 17/79 + 9/83 + 21 + 10 - 14 = 47/9$$

باتوجه به مقدار  $RMR_{89}$  مربوط به سقف بلاواسطه و مراجعه به شکل ۱ ضمیمه مشخص می‌شود که

برای قطر  $3/6$  متری مربوط به تونل‌های دنباله‌لایه منطقه عملیاتی مورد نظر نصب سیستم نگهداری

لازم است.

## ۶-۲- شاخص کیفیت سنگ به روش *NGI* (روش بارتون یا *Q*)

بر اساس ارزیابی پایداری تعداد زیادی از فضاهای زیرزمینی که در زمان‌های گذشته حفاری و اجرا شده‌اند، بارتون و همکارانش از انسستیتو ژئوتکنیک نروژ شاخصی را برای تعیین کیفیت توده‌سنگی که تونل در آن حفر می‌شود ارائه نمودند. مقدار عددی این شاخص به صورت زیر تعریف می‌شود :

$$Q = \left( \frac{RQD}{J_n} \right) \times \left( \frac{J_r}{J_a} \right) \times \left( \frac{J_w}{SRF} \right) \quad 1-6$$

در این رابطه :

$RQD$  = ضریب کیفیت سنگ

$J_n$  = عدد مجموع درزه

$J_r$  = عدد زبری درزه

$J_a$  = عدد دگرگونی درزه

$J_w$  = ضریب کاهش آب درزه

$SRF$  = ضریب کاهش تنش

شاخص  $Q$  را می‌توان تابعی از سه ویژگی زیر دانست :

$$1 - \text{اندازه بلوك} \left( \frac{RQD}{J_n} \right)$$

$$2 - \text{ مقاومت برش بلوك} \left( \frac{J_r}{J_a} \right)$$

$$3 - \text{تنش فعال} \left( \frac{J_w}{SRF} \right)$$

جدول ۲ - ضمیمه طبقه‌بندی مربوط به پارامترهای موثر در تعیین  $Q$  را نشان می‌دهد. استفاده از این سیستم نیز همانند سیستم  $RMR$  به منظور طبقه‌بندی توده‌سنگی است که فضاهای زیرزمینی اعم از تونل‌های دنباله لایه و همچنین کارگاه‌های استخراج در آن حفر شده است و این شرایط در معادن ذغال‌سنگ (که تونل‌های دنباله لایه در لایه‌های ذغالی و سنگ‌های کمربالا و کارگاه‌های استخراج در اثر استخراج لایه‌های ذغالی ایجاد شده‌اند) وجود ندارد، لذا استفاده از این سیستم طبقه‌بندی تنها در طبقه‌بندی سنگ سقف بلاواسطه در تونل‌های دنباله لایه مورد استفاده قرار می‌گیرد.

به منظور ایجاد ارتباط میان مقدار شاخص  $Q$  با حداکثر فضای زیرزمینی پایدار (شکل ۲ ضمیمه) بارتون و همکارانش یک پارامتر بنام بعد معادل<sup>(۱)</sup> فضای زیرزمینی تعریف کرده‌اند. این بعد از تقسیم قطر یا ارتفاع دیواره فضای زیرزمینی به مقداری که ضریب پایداری فضا<sup>(۲)</sup> ( $ESR$ ) نامیده می‌شود بدست می‌آید.

بنابراین :

$$D_e = \frac{\text{ضریب پایداری فضا}}{\text{دهنه حفاری، قطر یا ارتفاع (متر)}} \quad 2-6$$

مقدار  $ESR$  به نحوه استفاده از حفاری زیرزمینی و درجه ایمنی مورد انتظار از سیستم  $ESR$  نگهدارنده نصب شده جهت ایجاد پایداری در حفاری زیرزمینی بستگی دارد. جهت تعیین مقدار فضاهای زیرزمینی مختلف، بارتون و همکارانش مقادیر جدول ۳ ضمیمه را پیشنهاد کرده‌اند.

1-Equivalent dimension

2-Excavation Support Ratio (ESR)

## ۱-۲-۶ تعیین شاخص $Q$ سقف بلاواسطه تونل‌های دنباله لایه، لایه $P_{10}$ شیبدار

جدول ۲-۶ پارامترهای موثر در تعیین شاخص  $Q$  سقف بلاواسطه تونل‌های دنباله‌لایه، لایه  $P_{10}$  را نشان می‌دهد.

جدول ۲-۶ پارامترهای موثر در تعیین شاخص  $Q$  سقف بلاواسطه تونل‌های دنباله‌لایه، لایه  $P_{10}$  شیبدار

ردیف	پارامتر	مقدار (وضعیت)	امتیاز	منبع
۱	شاخص کیفیت سنگ	۸۷/۸۸	۸۷/۸۸	جدول ۳ ضمیمه ۱ قسمت ۱
۲	تعداد دسته درزهای دسته درزهای اتفاقی	۶	دو دسته درزه و درزهای اتفاقی	جدول ۳ ضمیمه ۲ قسمت ۲
۳	زبری سطح درزهای زبری سطح درزهای دیوارهای در تماس نیستند.	۳	دیوارهای در تماس نیستند. زبر و نامنظم و موج دار	جدول ۳ ضمیمه ۳ قسمت ۳
۴	هوایزدگی و دگرسانی دسته درزهای دسته درزهای مواد پوششی درزهای کانی‌های غیر نرم	۲	دیواره درزهای کمی هوایزدگی مواد پوششی درزهای کانی‌های غیر نرم	جدول ۳ ضمیمه ۴ قسمت ۴
۵	وضعیت آب درزهای آب درزهای $Lit/min$	۱	$5 Lit/min < جریان آب$	جدول ۳ ضمیمه ۵ قسمت ۵
۶	ضریب کاهش تنش	۲۰	سنگ متراکم (انفجار شدید $\frac{\sigma_c}{\sigma_1} < 2/5$ )	جدول ۳ ضمیمه ۶ قسمت ۶

شاخص  $Q$  با استفاده از رابطه ۱-۶ به صورت زیر محاسبه می‌گردد :

$$Q = \left( \frac{RQD}{J_n} \right) \times \left( \frac{J_r}{J_a} \right) \times \left( \frac{J_w}{SRF} \right) = \frac{87.88}{6} \times \frac{3}{2} \times \frac{1}{20} = 1.09$$

با استفاده از رابطه ۲-۶ بعد معادل تونل‌های دنباله لایه فوقانی و تحتانی لایه  $P_{10}$  شیبدار به صورت

زیر محاسبه می‌گردد :

$$De = \frac{3.6}{1.6} = 2.25$$

با توجه به مقادیر بعد معادل و شاخص  $Q$  مربوط به تونل‌های دنباله لایه فوقانی و تحتانی لایه  $P_{10}$  شیبدار منطقه طزره و مراجعه به شکل ۲ ضمیمه مشخص می‌شود که تونلی با این مشخصات به نصب سیستم نگهداری نیاز دارد.

### ۶-۳ بررسی پدیده خودانفجاری<sup>(۱)</sup> در توده سنگ سقف بلاواسطه

انفجار خودبه‌خود در سنگ‌ها شامل یک سری شکست‌های سنگی شدیدی است که در اثر انفجار قطعات کوچک سنگ از سینه‌کار حفاری‌های زیرزمینی یا دیواره‌های کناری بوجود می‌آید. این‌گونه انفجار ناگهانی، باعث ریزش قسمت بزرگی از تونل یا سازه زیرزمینی می‌شود.

انفجار سنگ‌های اطراف سازه‌های زیرزمینی که به صورت ناگهانی و شدید رخ می‌دهد، ارتباط مستقیمی با تنفس زیاد، نوع مواد ترد و یا الاستیسیته دارد. در بعضی از حالت‌ها، انفجار سنگ در اثر خروج گازها بوجود می‌آید. این حوادث می‌توانند صدمات شدیدی به پرسنل معدن وارد کرده و علاوه بر آن منجر به تعطیلی کار و کاهش راندمان کاری بشوند.

### ۶-۴ اصول فیزیکی انفجار سنگ

مراحل فیزیکی انفجار سنگ که بر اساس مشاهدات تجربی تقسیم‌بندی شده، شامل

موارد زیر است :

الف) ایجاد شکاف	ب) تعدیل تنفس در سنگ	ج) پرتاب قطعات سنگ به خارج
-----------------	----------------------	----------------------------

اصولاً خودانفجاری ناشی از حفریات زیرزمینی در سنگ‌ها، با ایجاد سطح جدید و تمرکز تنفس، بوجود آمده و منجر به تشکیل شکاف‌هایی در سطح توده‌سنگ می‌شود. شکاف‌های ایجاد شده تقریباً در جهت مشخصی توسعه پیدا می‌کنند که معمولاً موازی با سطح جدید حفاری زیرزمینی و در جهت تنفس اصلی می‌باشد. ایجاد این شکاف‌ها با صدا همراه است. بنابراین با استفاده از خروج صدا می‌توان به پدیده انفجار‌سنگ پی برد.

بواسطه اختلاف شدت تمرکز تنفس و خصوصیات سنگ، پدیده خودانفجاری در سنگ‌ها به صورت‌های مختلفی رخ می‌دهد. در بعضی از شرایط فقط با اتساع، پوسته شدن یا فروریختن همراه است و در بعضی از شرایط دیگر، قطعات سنگ به سمت داخل فضای حفاری شده پرتاب می‌شوند.

## ۶-۵ عوامل موثر در انفجار خودبه‌خودی سنگ

### ۶-۱-۵ عمق

شدت و تکرار انفجارهای خودبه‌خودی در توده‌سنگ‌های واقع در زیر زمین با افزایش عمق زیاد می‌شود. در حقیقت افزایش عمق باعث افزایش وزن طبقات فوقانی می‌شود که به نوبه خود عاملی جهت افزایش تنش در سنگ‌های عمیق است. شاخص به کار رفته در معادن چین به عنوان یکی از روش‌هایی است که قابلیت خودانفجاری در سنگ‌ها را بر اساس میزان تنش‌های اعمال شده بر آنها مورد بررسی قرار می‌دهد.

### ۶-۱-۵ بررسی فعالیت خودانفجاری سنگ بر اساس پارامتر عمق

شاخص انفجار سنگ در کشور چین بر اساس نسبت  $\frac{\sigma_c}{\sigma_1}$  است که در این نسبت  $\sigma_c$  مقاومت فشاری تک محوری سنگ ( $MPa$ ) و  $\sigma_1$  تنش اصلی حداکثر ( $MPa$ ) می‌باشد. بنابراین می‌توان انفجارات سنگی را به صورت جدول ۳-۶ تقسیم‌بندی نمود [۲].

جدول ۳-۶ تقسیم‌بندی انفجارات سنگی [۲]

ردیف	$\frac{\sigma_c}{\sigma_1}$	توضیح	وضعیت
۱	$13/5 >$	پدیده خودانفجاری وجود ندارد	بدون صدا
۲	$5/5-13/5$	فعالیت خودانفجاری سنگ کم است	صدای آهسته
۳	$5/2-5/5$	فعالیت خودانفجاری سنگ ملایم است	صدای شکستن زیاد
۴	$< 2/5$	فعالیت خودانفجاری سنگ بالا است	صدای شکستن بسیار زیاد

### ۶-۱-۵-۲ معایب استفاده از معیار عمق در تعیین قابلیت خودانفجاری سنگ‌ها

گزارشات منتشر شده از انفجار خودبه‌خودی سنگ‌ها در عمق  $304/8$  متر نشان می‌دهد که افزایش عمق تنها عامل موثر در خودانفجاری سنگ محسوب نمی‌شود. معمولاً در حفاری‌های کم‌عمق انفجارات کمتر رخ داده و در صورت بروز، با شدت کمی انجام می‌شود. انفجارات معمولاً در عمق ۲۰۰۰ فوت (حدود ۶۸۱ متر) شروع شده و در اعماق بیشتر از ۳۰۰۰ فوت مشکلات جدی‌تری را بوجود

می‌آورد. البته در تعدادی از حفاری‌های زیرزمینی که در عمق بیشتر از ۵۰۰۰ فوت انجام شده‌اند پدیده خودانفجاری سنگ مشاهده نشده است. این امر نشان دهنده این است که شرایط خاص دیگری غیر از عمق وجود دارد که بر روی انفجار سنگ موثر است [۲].

### ۲-۵-۶-پیوستگی توده‌سنگ

پیوستگی توده‌سنگ از جمله عوامل موثر در خودانفجاری سنگ است. جهت تعیین پیوستگی توده‌سنگ از ضریب  $\lambda$  استفاده می‌شود. این ضریب به صورت زیر تعریف می‌شود [۲]:

$$\lambda = \left( \frac{V_{QM}}{V_{QR}} \right)^2 \quad (1-6)$$

در اینجا:  $V_{QM}$  و  $V_{QR}$  به ترتیب سرعت امواج طولی در توده سنگ و ماده سنگ است. در صورتی که  $\lambda > 0.75$  باشد توده سنگ سالم و پیوسته خواهد بود و از پیوستگی لازم جهت فعالیت خودانفجاری برخوردار است. در غیر این صورت توده‌سنگ پیوسته نیست. برای بدست آوردن این نسبت به چند طریق می‌توان محاسبات مربوطه را انجام داد. یکی از این محاسبات استفاده از فرمول‌های زیر می‌باشد [۲۰] و [۱۴]:

$$V_{QR} = \left\{ \left( \frac{(1-v)}{(0.5-v)} \right) \times \left( \frac{G}{\rho} \right) \right\}^{0.5} \quad (2-6)$$

و یا

$$E = \frac{(1-2v)(1+v)}{(1-v)} \rho V_{QR}^2 \quad (3-6)$$

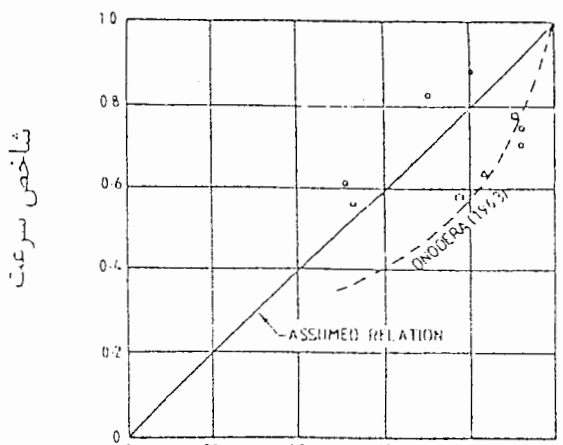
در این روابط  $G$  مدول برشی و  $\rho$  چگالی سنگ و  $E$  ضریب الاستیسیته دینامیکی است. همچنین ارتباط بین سرعت انتشار موج در توده‌سنگ با مقدار شاخص کیفیت سنگ  $Q$  در طبقه بندی بارتون، توسط بارش در سال ۱۹۹۱ به صورت زیر ارائه گردیده است [۱۳]:

$$V_{QM} = 1000 \log Q + 3500 \left( \frac{m}{s} \right) \quad (4-6)$$

### ۶-۶- ارتباط بین شاخص کیفیت سنگ با شاخص سرعت ( $\lambda$ )

ارتباط بین  $RQD$  و شاخص سرعت ( $\lambda$ ) برای اولین بار توسط واندرا در سال ۱۹۶۳ تعیین و در سال ۱۹۶۶ توسط دیر و همکارانش تکمیل گردید. با توجه به عوامل موثر در سرعت انتشار امواج بدیهی است که وجود درزه‌ها و شکاف‌ها در توده‌سنگ اعم از اینکه از آب یا مواد دیگری پر شده یا خالی باشد، موجب تغییر سرعت انتشار نسبت به وضعیت یک توده‌سنگ بدون درزه می‌گردد. چنانچه سرعت انتشار موج در نمونه‌های سالم و کامل آزمایشگاهی تعیین شود، می‌توان بر اساس مجدور نسبت این سرعت به سرعت موج در توده‌سنگ به میزان فراوانی شکاف‌ها پی برد. بطوری که اگر این نسبت برابر واحد باشد، سنگ موجود در ناحیه کاملاً سالم و بدون درزه و شکاف خواهد بود.

نتایج تجربی نشان می‌دهد که بین  $RQD$  و شاخص سرعت  $\left( \frac{V_{QM}}{V_{QR}} \right)^2$  رابطه مستقیمی وجود دارد که مطابق شکل ۱-۶ با تقریب، می‌توان آنرا خطی فرض کرد [۲۱].



شاخص کیفیت سنگ

شکل ۱-۶- رابطه میان شاخص کیفیت سنگ با شاخص سرعت [۲۱]

در سال ۱۹۷۰ کن و مریت مقدار دقیق‌تر این نسبت را بدست آوردند که در جدول ۲-۶ مقدار و ارتباط بین آنها نشان داده شده است.

[۲۱] جدول ۴-۶ ارتباط میان ضریب کیفیت سنگ و شاخص سرعت ( $\lambda$ )

شاخص سرعت ( $\lambda$ )	ضریب کیفیت سنگ $RQD$	طبقه بندی کیفی دیر و میلر
۰- ۰/۲	۰-۲۵	خیلی ضعیف
۰/۲- ۰/۴	۲۵-۵۰	ضعیف
۰/۴- ۰/۶	۵۰-۷۵	مناسب
۰/۶- ۰/۸	۷۵-۹۰	خوب
۰/۸-۱	۹۰- ۱۰۰	خیلی خوب

#### ۷-۶- بررسی پیوستگی سنگ‌های سقف بلاواسطه معدن طزره

به منظور بررسی پیوستگی سنگ‌های سقف بلاواسطه معدن طزره از  $RQD$  مربوط به این سقف استفاده شده است. با توجه به این که مقدار شاخص کیفیت سنگ سقف بلاواسطه لایه  $P_{10}$  برابر ۸۷/۸۸ است، با مراجعه به جدول ۴-۶ مقدار شاخص سرعت در محدوده ۰/۸-۰/۶ تخمین زده می‌شود که بر اساس توضیحات بخش ۶-۵-۲ توده‌سنگی با این مشخصه، از پیوستگی لازم برای وجود فعالیت خودانفجاری برخوردار است.

## فصل هفتم - تحلیل عددی رفتار سقف در کارگاه استخراج

### ۷-۱- آشنایی با روش‌های عددی

روش‌های تجربی که پیشتر به آنها اشاره شد، در بررسی رفتار سقف معادن ارزش کمتری نسبت به روش‌های تحلیل عددی دارند. خوشبختانه در چند دهه اخیر تعدادی از روش‌های عددی ارائه شده است که وسیله‌ای برای ارزیابی حفریات زیرزمینی محسوب می‌شوند. اساس روش‌های عددی تبدیل یک محیط با بینهایت درجه آزادی به محیطی با تعداد درجه آزادی محدود در تعداد معینی از نقاط محیط می‌باشد. با بررسی اثر نیرو و بارگذاری در این نقاط و تعیین میزان تغییر شکل آنها با استفاده از میانیابی، می‌توان تغییرشکل‌های سایر نقاط را به دست آورد. موقعیت، تعداد و ارتباط نقاط فوق‌الذکر توسط المان‌بندی محیط مشخص می‌شود. هر المان نشان دهنده جزء کوچکی از محیط است که دارای مشخصات هندسی و مواد مخصوص به خود است. ارتباط المان‌ها با یکدیگر بر اساس گره‌های مشترک آنها می‌باشد. وجود اضلاع در المان‌ها مفهومی ندارد ولی برای افزایش دقت می‌توان گره‌هایی در روی اضلاع در نظر گرفت. در تمامی روش‌های عددی، المان‌های متنوعی وجود دارد. یک مدل خاص می‌تواند دارای چندین نوع المان مختلف باشد، که انتخاب آنها به نوع مساله و هدف مدل سازی وابسته است.

انواع روش‌های عددی که در مدل‌سازی محیط‌های ژئومکانیکی (سنگی و خاکی) استفاده شده‌اند عبارتند از : روش اجزای مرزی<sup>(۱)</sup>، روش اجزای محدود<sup>(۲)</sup>، روش اجزای جداگانه<sup>(۳)</sup> و روش تفاضل محدود<sup>(۴)</sup>. البته روش‌های ترکیبی (هیبرید) نیز مورد استفاده قرار گرفته‌اند که برنامه‌های کاربردی مختلفی براساس آنها نوشته شده است. به عنوان مثال برنامه Phases براساس ترکیب روش اجزای محدود با روش اجزای مرزی نوشته شده است<sup>[۳]</sup>.

1-Boundary element method

2-Finite Element method

3-Distinct Element method

4-Finite difference method

## ۱-۱-۷ روش اجزای جداگانه

در این روش توده سنگ به صورت یک محیط ناپیوسته در نظر گرفته می‌شود. بنابراین تأثیر عوارض ساختاری نظیر درزهای سنگی، لایه‌بندی، گسل‌ها و انواع ناپیوستگی‌ها قابل بررسی است. وقتی محیط تحت بارگذاری قرار می‌گیرد، تغییرات نیرو در سطوح هم‌جوار، با زمان شروع شده و معادلات تعادل دینامیکی برای هر المان به صورت تکراری حل می‌شود تا اینکه شرایط مرزی مساله برآورده شود. در حالت پیشرفته‌تر این روش، المان‌ها می‌توانند مانند روش اجزای مرزی دارای هر شکل دلخواهی باشند و همچنین می‌توانند به صورت بلوك‌های صلب یا تغییر شکل‌پذیر در نظر گرفته شوند. پارامترهای مورد نیاز برای توصیف مصالح و ناپیوستگی‌های توده‌سنگ در این روش باید از دقت بالایی برخوردار باشند و علاوه بر این، پارامترهای ویژه‌ای نظیر ضریب میرایی سیستم، بایستی از قبل تعیین شده باشند. زمان محاسبه در این روش در مقایسه با روش‌های دیگر بیشتر است. در حال حاضر این روش با توجه به ماهیت ناپیوسته‌بودن محیط‌های سنگی، روش کاملاً مناسبی برای بررسی تغییر شکل و شکست توده‌های سنگی می‌باشد [۳].

## ۱-۲-۷ روش اجزای محدود

اساس این روش در سال ۱۹۵۶ ابداع شد. عموماً هر پدیده طبیعی که با یک معادله دیفرانسیل بیان می‌شود، می‌تواند به وسیله این روش مدل شود. این روش در اغلب مسائل مهندسی از جمله مکانیک جامدات، سیالات، ساختمان و معدن به کار گرفته می‌شود. در این روش ابتدا محیط به شبکه‌های کوچکتری به نام المان تقسیم‌بندی می‌شود. این المان‌ها در نقاط گره‌ای بهم متصل شده‌اند. جابجایی هر گره محاسبه شده و جابجایی هر نقطه در داخل المان به جابجایی گره‌ها با یک سری از فرضیات وابسته است.

از محدودیت‌های این روش می‌توان به محدود بودن اختلاف شماره گره‌ها در المان، دشواری مدل‌سازی ناپیوستگی‌ها در توده‌سنگ، محدود کردن اطلاعات رفتاری سنگ برای نرخ بارگذاری متغیر و محدودیت بارهای دینامیکی ناشی از زلزله و نیاز به حافظه زیاد کامپیوتر اشاره نمود. به هر حال برای توده‌سنگی تقریباً پیوسته و شیروانی‌های خاکی، استفاده از این روش نتایج خوبی در مقایسه با سایر روش‌ها دارد [۳].

### ۳-۱-۷ روش المان‌های مرزی

این روش نیز مانند روش اجزای محدود از عمومیت خاصی برخوردار است. در این روش فقط محیط موردنظر مثلاً توده سنگ به اجزای کوچکتری تقسیم‌بندی می‌شود. بنابراین در مسائل دوبعدی این اجزا به صورت المان‌های محیطی در مرز محیط و در حالت سه‌بعدی، به صورت المان‌های سطحی در مرز مسئله تعریف می‌شوند. فراهم کردن اطلاعات مورد نیاز این روش بسیار راحت بوده ولی در مواردی که تغییر خواص مصالح وجود دارد، بایستی سطح جدایگانه مواد را تعریف نمود. این روش معمولاً برای مصالح با رفتار خطی و محیط‌هایی با یک نوع ماده به کار می‌رود. در این روش ابتدا واکنش المان‌ها نسبت به شرایط بارگذاری خارجی محاسبه می‌شود. رفتار المان‌های مرزی بر اساس معادلات دیفرانسیل جزئی شبیه‌سازی و تحلیل می‌شود. در صورتی که مقادیر تنش و تغییر شکل‌ها در داخل محیط موردنظر را خواسته باشیم، با انتگرال‌گیری از معادلات دیفرانسیل جزئی می‌توان آن را محاسبه نمود. از مزایای این روش عدم نیاز به حافظه زیاد کامپیوتر می‌باشد [۳].

### ۴-۱-۷ روش تفاضل محدود

روش تفاضل محدود از قدیمی‌ترین روش‌های عددی می‌باشد که برای حل یک سری معادلات دیفرانسیل که مقادیر اولیه و شرایط مرزی آنها مشخص باشد استفاده شده است. در این روش هر مشتقی که در دسته معادلات حاکم وجود دارد توسط یک عبارت جبری (مثلاً جابجایی‌ها یا تنش‌ها) که بر حسب متغیرهای مساله هستند جایگزین می‌شود. عبارت جبری موردنظر بر حسب مقادیر متغیرها در یک سری نقاط مجزا (نقاط گره‌ای) بوده و در نقاط دیگر تعریف نشده است. در مقابل، در روش اجزای محدود کمیت‌های مورد بررسی (تنش‌ها و جابجایی‌ها) در روی هر المان ( جدا از نقاط گره‌ای ) در سایر نقاط نیز توسط توابع خاصی تعریف شده است و فرمولاسیون آن طوری انجام می‌گیرد که مقدار خطا حداقل شود. هر دو روش تولید یکسری معادلات جبری می‌کنند که باید حل شوند. اگر چه این معادلات به روش‌های کاملاً متفاوتی بدست می‌آیند ولی در بعضی از موارد معادلات نهایی هر دو روش یکسان است.

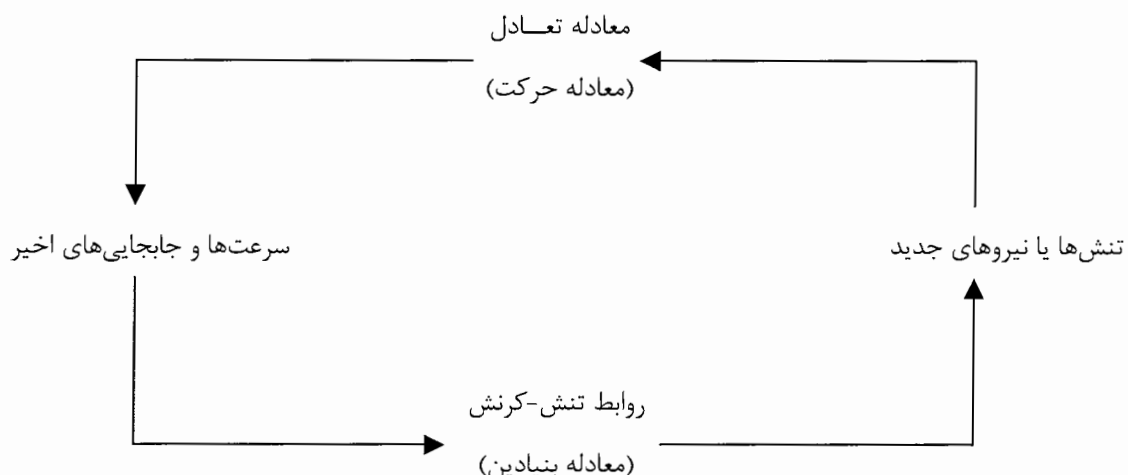
غالباً افراد تصور می‌کنند که روش تفاضل محدود به شبکه‌های مستطیلی محدود می‌شود، در حالی که این خلاف واقعیت است. آقای ویلکینز در سال ۱۹۶۴ روشی را برای بدست آوردن معادلات

تفاضل محدود برای المان‌هایی با شکل دلخواه ارائه کرده است که این روش در نرم افزار *FLAC* نیز مورد استفاده قرار گرفته است. در روش ویلکینز می‌توان المان‌هایی با شکل دلخواه و مصالحی با خصوصیات متفاوت در نظر گرفت [۳].

## ۷-۲ نحوه مدل‌سازی با نرم‌افزار *FLAC*

نرم‌افزار *FLAC* در سال ۱۹۸۶ توسط دکتر پیتر کندال برای تحلیل مهندسی انواع سازه‌های ژئوتکنیکی نوشته شده است. با این نرم‌افزار می‌توان سازه‌هایی متشکل از خاک یا سنگ یا هر ماده دیگری را شبیه‌سازی و تحلیل کرد. همچنین می‌توان رفتار مصالح را در مرحله بعد از تسلیم و با تغییر شکل‌های پلاستیک تجزیه و تحلیل نمود.

یک نرم‌افزار وابسته به زمان است. در فرمولاسیون این برنامه (حتی برای حل استاتیکی یک مساله) از معادلات دینامیکی استفاده شده است. مراحل کلی حل مساله در *FLAC* در شکل ۱-۷ نشان داده شده است [۲].



شکل ۱-۷ مراحل کلی حل مساله در نرم‌افزار *FLAC* [۲]

در این چرخه ابتدا با فراخوانی معادلات حرکت، سرعت‌ها و جابجایی‌ها از روی تنش‌ها و نیروها بدست می‌آیند. سپس از روی سرعت‌ها، نرخ کرنش‌ها بدست آمده و از روی نرخ کرنش‌ها، تنش‌های جدید محاسبه می‌شوند. هر سیکل دور این حلقه به عنوان یک پله زمانی در نظر گرفته می‌شود.

در مدل‌سازی با نرم افزار *FLAC* باید سه اصل زیر در هر مساله مشخص شود:

(۱) تعیین شبکه تفاضل محدود

(۲) تعیین شرایط مرزی و شرایط اولیه

(۳) تعیین خصوصیات مصالح و رفتار آنها

تعیین شبکه تفاضل محدود تعیین کننده هندسه مساله می‌باشد. شرایط مرزی و شرایط اولیه گویای شرایط برجای محیط، قبل از تغییر و اغتشاش در مساله می‌باشد. رفتار و خواص مصالح، گویای عکس‌العمل مدل در مقابل تغییرات انجام شده مثل حفاری و غیره است. تحلیل در این نرم‌افزار به صورت دوبعدی بوده و این نرم‌افزار قابلیت تحلیل الاستیک یا ویسکوالاستیک فضاهای زیرزمینی را دارد<sup>[۲]</sup>.

### ۳-۷ انواع مدل‌های کابردی در نرم‌افزار *FLAC*

انواع مدل‌هایی که در این نرم‌افزار مورد استفاده قرار می‌گیرند عبارتند از<sup>[۳]</sup>:

۱- الاستیک ایزوتروپیک

۲- الاستیک ایزوتروپیک مقاطع

۳- مدل درزه‌دار

۴- سخت شوندگی یا نرم‌شوندگی کرنشی

۵- خرشن<sup>(۱)</sup>

در تحلیل عددی سقف بلاواسطه لایه  $P_{10}$  شیبدار از معیار شکست موهر-کلمب استفاده شده است.

این معیار قابلیت تحلیل رفتار الاستوپلاستیک را دارا است.

#### ۴-۷ اطلاعات ورودی نرم افزار *FLAC*

مقادیر مورد نیاز جهت تحلیل عددی منطقه عملیاتی موردنظر به صورت زیر تعیین می شوند [۲] :

- ۱) مدول الاستیسیته برشی (پاسکال)

$$S = \frac{E}{2(1+\nu)} \quad ۱-۸$$

۲) مدول سختی (پاسکال)

$$b = \frac{E}{3(1-2\nu)} \quad ۲-۸$$

۳) جرم مخصوص سنگ (کیلوگرم بر متر مکعب)

۴) زاویه اصطکاک داخلی توده سنگ (درجه)

۵) چسبندگی توده سنگ (پاسکال)

۶) مقاومت کششی توده سنگ (پاسکال)

مقدار این مقاومت از رابطه زیر تعیین می شود :

$$\sigma_t = \frac{2C \cos \varphi}{1 + \sin \varphi} \quad (۳-۸)$$

در این رابطه

$C$ : چسبندگی توده سنگ (پاسکال)

$\varphi$ : زاویه اصطکاک داخلی توده سنگ (درجه)

جدول ۱-۷ پارامترهای مربوط به توده سنگ های اطراف لایه  $P_{10}$  شبیه دار جهت تحلیل عددی با نرم افزار *FLAC* را نشان می دهد.

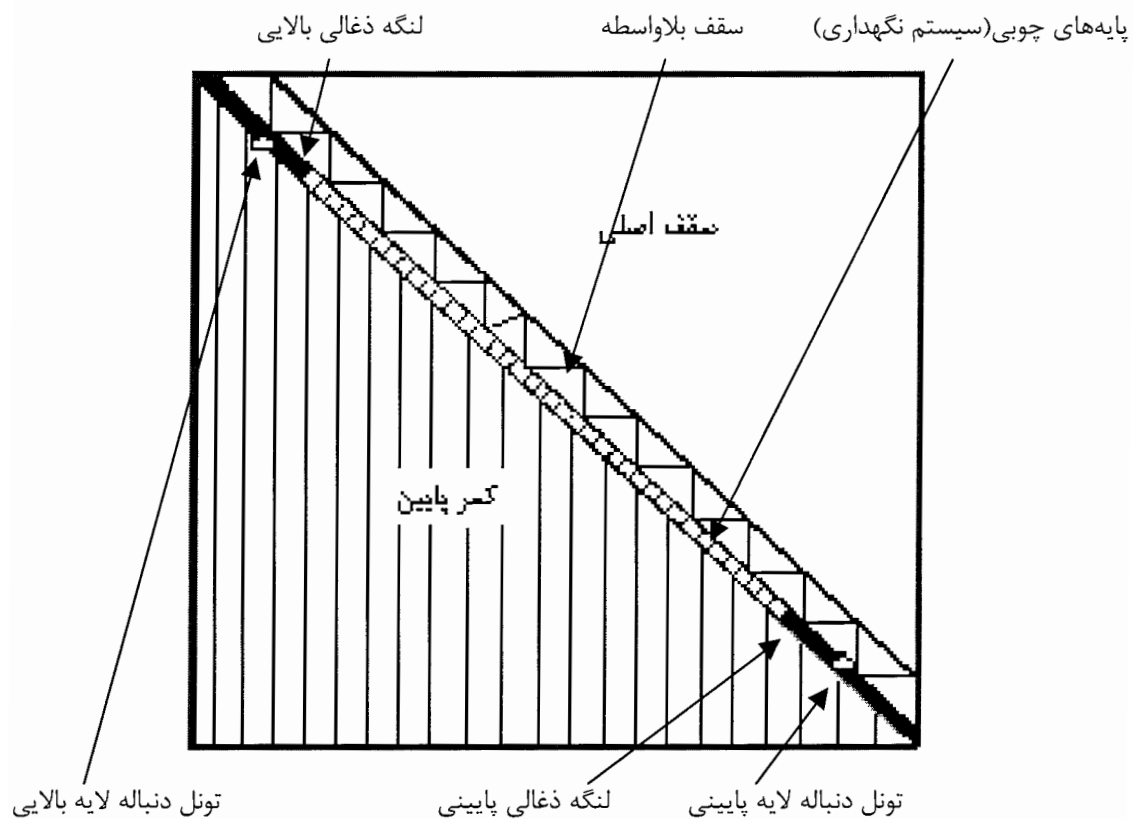
جدول ۷-۱ پارامترهای مربوط به توده سنگ‌های اطراف لایه  $P_{10}$  شیبدار جهت تحلیل عددی با نرم‌افزار FLAC

توده سنگ	زاویه اصطکاک داخلی $\varphi$ (درجه)	توده سنگ توده سنگ (مگاپاسکال)	چسبندگی توده سنگ (مگاپاسکال)	جرم حجمی $(\frac{kg}{m^3})$	مدول الاستیسیته برشی(مگاپاسکال) S	مدول سختی (مگاپاسکال) b
سقف بلا واسطه و کمرپایین (تا شعاع ۳ متری) در تونل‌های دباله لایه	۲۶/۱۶	۰/۹۶۰۷۳	۲۴۰۰	۲۶۰۱/۵۵۶	۴۳۳۵/۹۲۷	
سقف اصلی در تونل‌های دباله لایه و کارگاه استخراج	۴۷/۷۱	۲/۴۷۴۰۹	۲۵۰۰	۸۲۳۸/۰۸۰	۸۰۹۳/۵۵۳	
سقف بلا واسطه و کمرپایین در کارگاه استخراج	۳۳/۲۱	۱/۴۱۶۸	۲۴۰۰	۴۳۳۵/۹۲	۷۲۲۶/۵۳۳	
لایه ذغالی تا شعاع ۳ متری اطراف تونل‌های دباله لایه (۳ متر اول)	۲/۴۹	۰/۰۵۱	۱۶۴۰	۵۱/۶۶۲	۱۱۱/۹۳۵	
لنگه ذغال بالایی و پایینی (۳ متر دوم - کارگاه استخراج)	۵/۹۷	۰/۱۳	۱۶۴۰	۸۶/۱۰۴	۱۸۶/۵۶	
توده سنگ ناحیه تخریب	۲۵/۷۴	۰/۸۳۴	۱۷۱۴	۸۸۸/۰۱۲	۱۳۱۲/۳۵۲	

## ۷-۵ تحلیل عددی رفتار سقف بلاواسطه لایه $P_{10}$ شیب دار

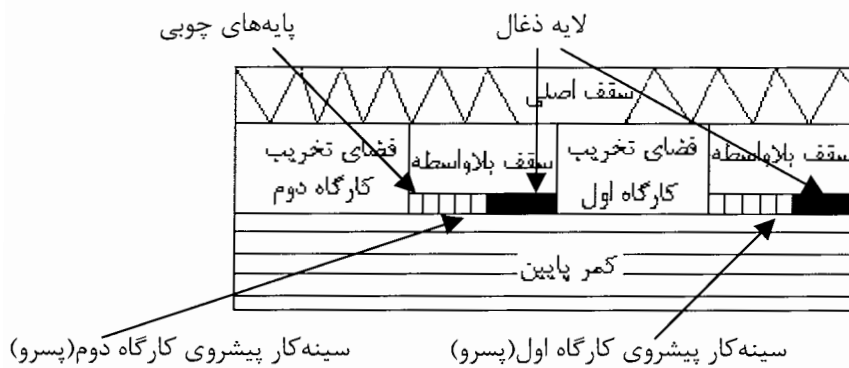
از آنجایی که نرم افزار *FLAC* نسخه ۲/۲۷ قابلیت تحلیل عددی دو بعدی فضاهای زیرزمینی را دارد، لذا تحلیل عددی رفتار سقف بلاواسطه لایه  $P_{10}$  شیب دار در وضعیت های مختلف در دو بخش به صورت بررسی میزان جابجایی های افقی و عمودی و تعیین وضعیت ضریب اینمی انجام گرفته است. در بخش اول، مقطع عمودی در امتداد خط بزرگترین شیب کارگاه استخراج دوم (پسرو) تهیه شده است (شکل ۷-۲). لازم به ذکر است که از آنجایی که در تحلیل دو بعدی فضاهای زیرزمینی، بعد سوم بزرگتر از ابعاد دیگر در نظر گرفته می شود، بنابراین تحلیل دو بعدی فضاهای زیرزمینی همچون تونل ها از دقت قابل قبولی برخوردار است، ولی در مورد کارگاه استخراج در حالتی که مقطع دو بعدی این کارگاه در امتداد خط بزرگترین شیب کارگاه تهیه شده باشد، بعد سوم نسبت به ابعاد دیگر بزرگتر نبوده و لذا تحلیل عددی در این وضعیت با خطای زیادی همراه خواهد بود. با قبول وجود خطای زیاد در این وضعیت، جابجایی ها و ضریب اینمی در دو حالت وجود و عدم وجود سیستم نگهداری در کارگاه استخراج در نقاطی از سقف کارگاه استخراج و تونل های دنباله لایه مورد بررسی قرار می گیرد. در قسمت دوم، تحلیل عددی رفتار سقف بلاواسطه در وضعیتی که مقطع دو بعدی به صورت عمود بر خط بزرگترین شیب کارگاه استخراج تهیه شده، مورد بررسی قرار می گیرد.

شکل ۷-۳ وضعیتی را که مقطع عمودی در راستای عمود بر خط بزرگترین شیب کارگاه استخراج دوم (پسرو) تهیه شده است را در دو حالت نشان می دهد. در حالت اول (شکل ۷-۳-الف) استخراج در کارگاه اول به صورت پسرو و در حالت دوم (شکل ۷-۳-ب) استخراج در کارگاه اول به صورت پیشرو انجام می شود.

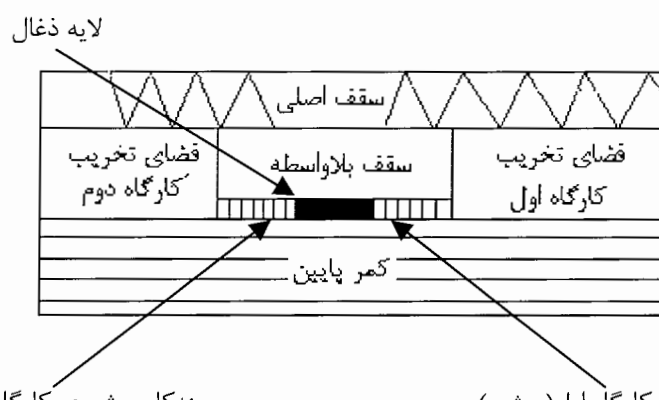


شکل ۲-۷ مقطع عمودی در راستای خط بزرگترین شیب کارگاه استخراج شماره دو (پسرو)

(در شرایط نصب کامل سیستم نگهداری در کارگاه استخراج)



شکل ۳-۷-الف مقطع عمودی در راستای عمود بر خط بزرگترین شیب کارگاه دوم (پسرو) به صورت شماتیک  
(استخراج در کارگاه اول به صورت پسرو)



شکل ۳-۷-ب مقطع عمودی در راستای عمود بر خط بزرگترین شیب کارگاه دوم (پسرو) به صورت شماتیک  
(استخراج در کارگاه اول به صورت پیشرو)

## ۶-۷ تحلیل عددی رفتار سقف بلاواسطه در وضعیت اول (مقطع در راستای خط

### بزرگترین شیب کارگاه استخراج)

در وضعیتی که مقطع در راستای خط بزرگترین شیب کارگاه استخراج دوم (پسرو) تهیه شده است تحلیل عددی در دو حالت مورد بررسی قرار می‌گیرد. در حالت اول سیستم نگهداری در کارگاه به طور کامل نصب گردیده و در حالت دوم تعدادی از پایه‌های چوبی واقع در قسمت میانی کارگاه حذف شده‌اند. مقادیر جابجایی‌های عمودی و افقی مربوط به نقاطی از سقف بلاواسطه کارگاه و سقف تونل‌های دنباله‌لایه فوقانی و تحتانی در این دو حالت در جدول ۲-۷ نشان داده شده است. مقایسه میزان جابجایی‌های عمودی و افقی نقاط در این دو حالت نشان می‌دهد که کاهش تعداد پایه‌های چوبی در کارگاه استخراج باعث افزایش میزان جابجایی‌های عمودی و افقی در نقاطی از سقف کارگاه و سقف تونل‌های دنباله‌لایه بالایی و پایینی می‌شود.

جدول ۲-۷ مقادیر جابجایی‌های عمودی و افقی نقاطی از سقف کارگاه و سقف تونل‌های دنباله‌لایه در دو حالت

حالت اول (نصب کامل سیستم نگهداری در کارگاه استخراج)

حالت دوم (حذف تعدادی از پایه‌های چوبی واقع در قسمت میانی کارگاه استخراج)

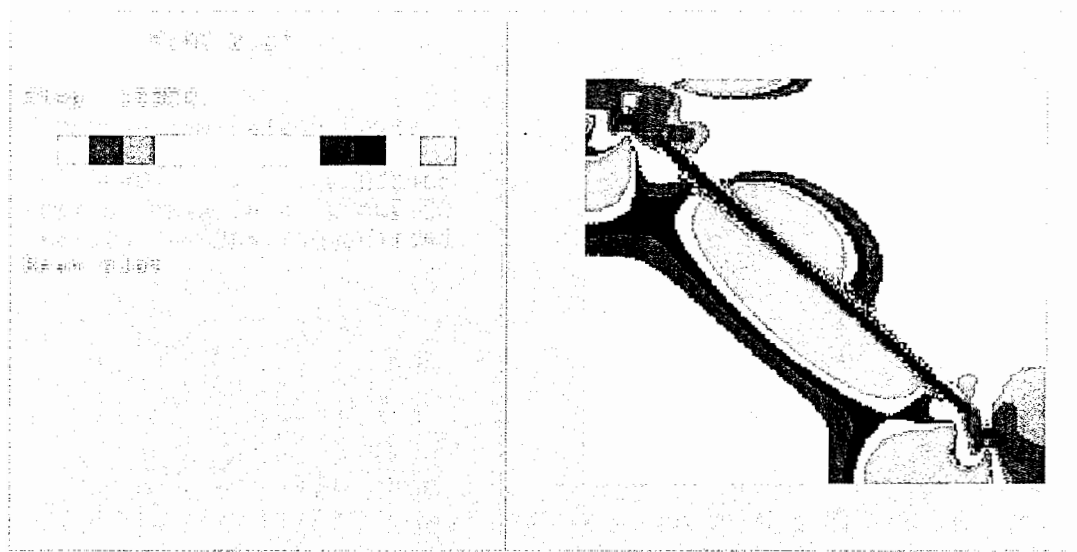
موقعیت مکان مورد بررسی	جابجایی افقی در حالت اول (cm)	جابجایی افقی در حالت دوم (cm)	جابجایی عمودی در حالت اول (cm)	جابجایی عمودی در حالت دوم (cm)
سقف تونل دنباله‌لایه بالایی	—	—	۷/۷۴۷	۱۰
سقف تونل دنباله‌لایه پایینی	—	—	۵/۵۵۲	۶/۹۶۲
ابتداي سقف بلاواسطه کارگاه استخراج	۰/۷	۰/۷۶	۶/۱۳	۷/۳
بخش میانی سقف بلاواسطه کارگاه استخراج	۱/۸۵	۲/۱۸	۲/۸۷	۳/۵۱
انتهای سقف بلاواسطه کارگاه استخراج	۱/۹	۲/۴۴	۰/۹۴	۱/۱۳

شکل‌های ۴-۷ و ۵-۷ وضعیت ضریب ایمنی در اطراف کارگاه استخراج و تونل‌های دنباله‌لایه

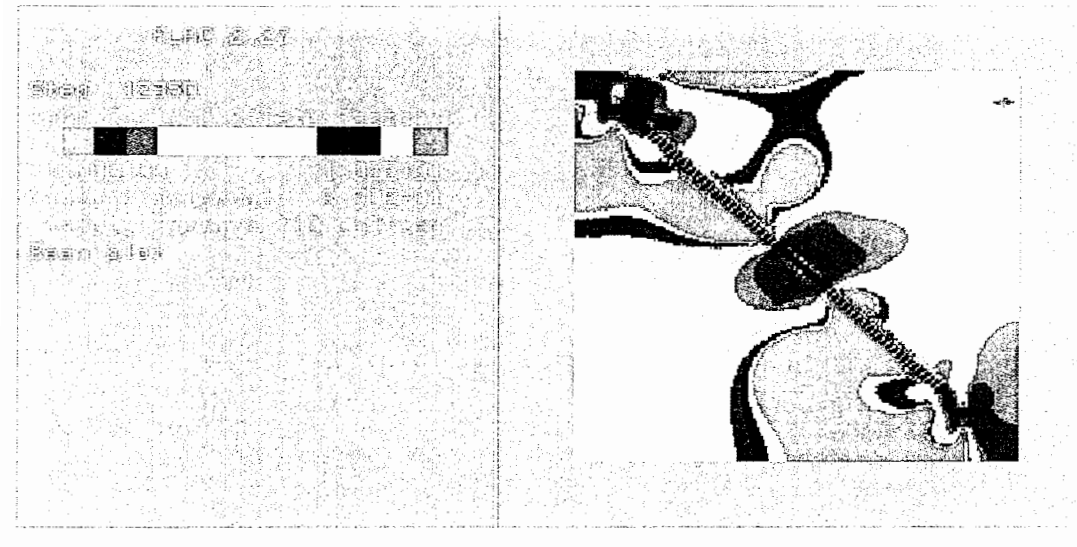
بالایی و پایینی را نشان می‌دهند. شکل ۷-۴ مربوط به حالتی است که سیستم نگهداری در کارگاه

استخراج به طور کامل نصب گردیده و شکل ۵-۷ مربوط به حالتی است که تعدادی از پایه‌های چوبی واقع در بخش میانی کارگاه استخراج حذف گردیده‌اند. مقایسه وضعیت ضریب اینمی در این دو حالت نیز نشان می‌دهد که کاهش تعداد پایه‌های چوبی در کارگاه استخراج باعث تغییر در مقادیر ضریب اینمی در اطراف کارگاه و تونل‌های دنباله‌لایه بالایی و پایینی می‌شود.

نتایج بررسی مقادیر جابجایی‌های عمودی و افقی در نقاطی از سقف کارگاه و سقف تونل‌های دنباله‌لایه در دو حالت نصب کامل سیستم نگهداری در کارگاه استخراج و حذف تعدادی از پایه‌های چوبی واقع در قسمت میانی کارگاه استخراج و همچنین مقایسه وضعیت ضریب اینمی در این دو حالت نشان می‌دهد که نرم‌افزار *FLAC* قابلیت تحلیل عددی معادنی که در آنها از سیستم نگهداری چوبی استفاده می‌شود را دارد.



شکل ۴-۷ وضعیت ضریب اینمی در اطراف کارگاه استخراج و تونل‌های دنباله‌لایه فوقانی و تحتانی  
(در شرایط نصب کامل سیستم نگهداری در کارگاه استخراج)



شکل ۵-۷ وضعیت ضریب اینمی در اطراف کارگاه استخراج و تونل‌های دنباله‌لایه فوقانی و تحتانی  
(در شرایطی که تعدادی از پایه‌های چوبی واقع در بخش مرکزی کارگاه استخراج حذف گردیده‌اند)

## ۷-۷ تحلیل عددی رفتار سقف بلاواسطه در وضعیت دوم (مقطع عمود بر خط

### بزرگترین شبکه کارگاه استخراج)

در این وضعیت، جابجایی‌ها و ضریب ایمنی در نقاطی از سقف و سینه کار کارگاه دوم(پسرو) در دو حالت مورد بررسی قرار گرفته است. در حالت اول استخراج در کارگاه اول به صورت پیشرو و در حالت دیگر استخراج در کارگاه اول به صورت پسرو در نظر گرفته می‌شود.

## ۱-۷-۷ بررسی میزان جابجایی‌های عمودی در سقف کارگاه دوم (پسرو)

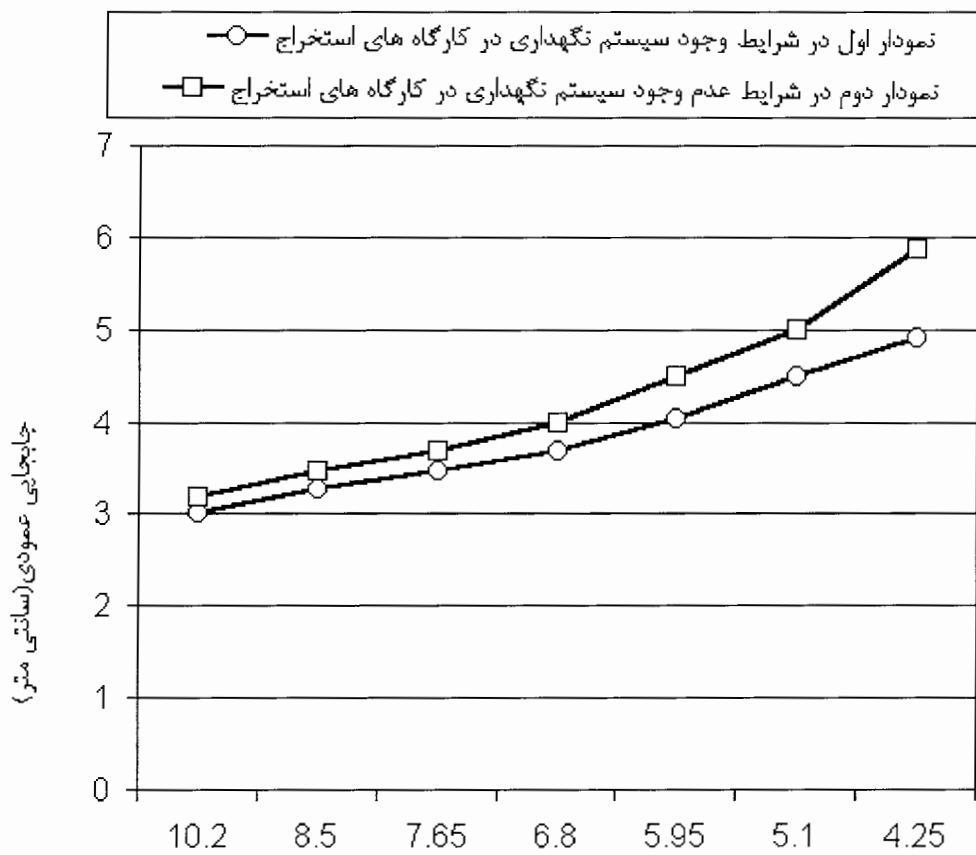
### ۱-۱-۷-۷ حالت اول (استخراج در کارگاه اول به صورت پیشرو)

در این حالت مقادیر جابجایی‌های عمودی در نقطه‌ای واقع در سقف کارگاه دوم و به فاصله یک متر از سینه کار کارگاه دوم در دو وضعیت وجود و عدم وجود سیستم نگهداری در کارگاه‌های استخراج مورد بررسی قرار گرفته است. جدول ۳-۷ مقادیر مربوط به جابجایی‌های عمودی نقطه‌ای واقع در سقف کارگاه دوم به‌ازای فواصل مختلف میان جبهه کارهای کارگاه اول و دوم را نشان می‌دهد. جدول ۳-۷ مقادیر مربوط به جابجایی‌های عمودی نقطه‌ای واقع در سقف کارگاه دوم و به فاصله یک متر از سینه کار کارگاه دوم به‌ازای فواصل مختلف میان سینه کار پیشروی کارگاه اول (پیشرو) از سینه کار پیشروی کارگاه اول (پیشرو)

فاصله میان سینه کار پیشروی کارگاه دوم (پسرو) از سینه کار پیشروی کارگاه اول (پیشرو) کارگاه اول (پیشرو) (m)	جابجایی عمودی در شرایط عدم وجود سیستم نگهداری در کارگاه‌های استخراج (cm)	جابجایی عمودی در شرایط عدم وجود سیستم نگهداری در کارگاه‌های استخراج (cm)
۱۰/۲	۳/۰۱۳	۳/۱۷۴
۸/۵	۳/۲۷	۳/۴۷
۷/۶۵	۳/۴۶۲	۳/۶۹
۶/۸	۳/۶۸۵	۳/۹۹۹
۵/۹۵	۴/۰۳	۴/۴۸۲
۵/۱	۴/۴۸۶	۴/۹۹۵
۴/۲۵	۴/۸۹۷	۵/۸۷۳

نمودار شکل ۶-۷ که بر اساس مقادیر جدول ۳-۷ تهیه شده، شامل دو نمودار است. نمودار اول مربوط به وضعیتی است که سیستم نگهداری در کارگاه‌های استخراج وجود دارد و نمودار دوم

مریبوط به وضعیتی است که سیستم نگهداری در کارگاه‌های استخراج وجود ندارد. بررسی این دو نمودار نشان می‌دهد که با کاهش فاصله میان جبهه کارهای کارگاه اول و دوم، مقدار جابجایی عمودی در سقف کارگاه دوم افزایش می‌یابد. از آنجایی که موقعیت نمودار اول در زیر نمودار دوم است، نتیجه گرفته می‌شود که نصب سیستم نگهداری چوبی در کارگاه‌های استخراج باعث کاهش میزان جابجایی عمودی نسبت به وضعیتی می‌شود که سیستم نگهداری در کارگاه استخراج وجود ندارد.



فاصله میان سینه کار پیشروی کارگاه دوم (پسرو) از سینه کار پیشروی کارگاه اول (پیشرو) (متر)

شکل ۶-۶ نمودار جابجایی نقطه‌ای از سقف کارگاه دوم (پسرو) بر حسب فاصله میان سینه کار پیشروی کارگاه دوم (پسرو) از سینه کار پیشروی کارگاه اول (پیشرو)

### ۲-۱-۷-۷ حالت دوم (استخراج در کارگاه اول به صورت پسرو)

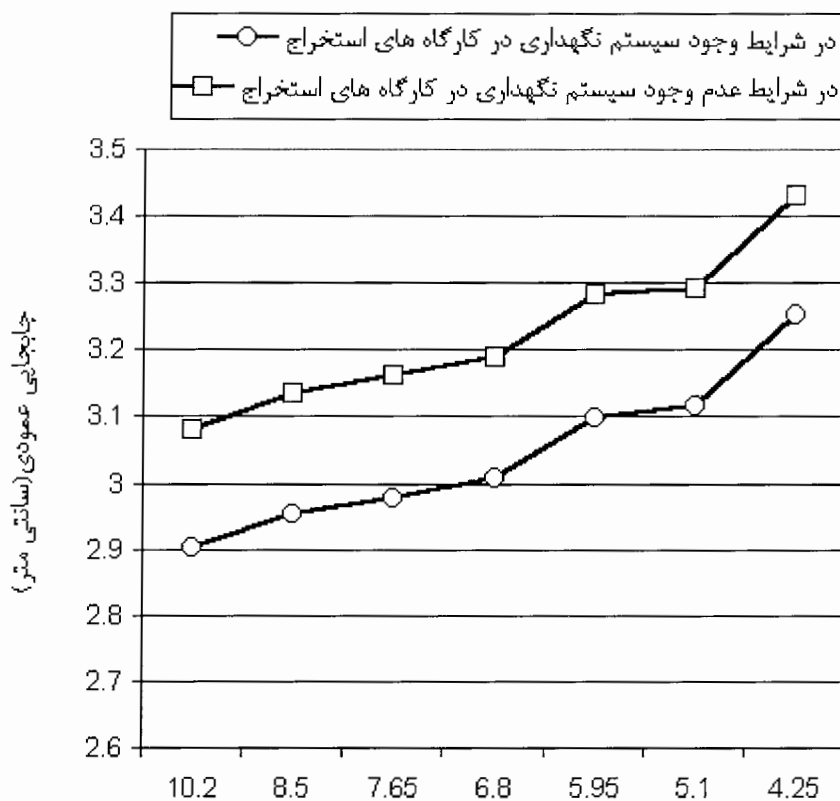
در این حالت مقادیر جابجایی‌های عمودی در نقطه‌ای واقع در سقف کارگاه دوم (پسرو) در دو وضعیت وجود و عدم وجود سیستم نگهداری در این کارگاه مورد بررسی قرار گرفته است. جدول ۴-۷ مقادیر مربوط به جابجایی‌های عمودی نقطه‌ای واقع در سقف کارگاه دوم به‌ازای فواصل مختلف میان جبهه کار کارگاه دوم و فضای تخریب کارگاه اول را نشان می‌دهد.

جدول ۴-۷ مقادیر مربوط به جابجایی‌های عمودی نقطه‌ای واقع در سقف کارگاه دوم به‌ازای فواصل مختلف

میان سینه کار پیشروی کارگاه دوم (پسرو) از فضای تخریب کارگاه اول (پسرو)

فاصله میان سینه کار پیشروی کارگاه دوم (پسرو) از فضای تخریب کارگاه اول (پسرو) (m)	جابجایی عمودی در شرایط عدم وجود سیستم نگهداری در کارگاه استخراج دوم (cm)	جابجایی عمودی در شرایط عدم وجود سیستم نگهداری در کارگاه استخراج دوم (cm)
۱۰/۲	۲/۹۰۱	۳/۰۸۱
۸/۵	۲/۹۵۲	۳/۱۳۵
۷/۶۵	۲/۹۷۹	۳/۱۶۱
۶/۸	۳/۰۰۸	۳/۱۹
۵/۹۵	۳/۰۹۷	۳/۲۸۴
۵/۱	۳/۱۱۷	۳/۲۹۱
۴/۲۵	۳/۲۵۲	۳/۴۳۲

نمودار شکل ۷-۷ که بر اساس مقادیر بدست آمده جدول ۴-۷ تهیه شده، شامل دو نمودار است نمودار اول مربوط به وضعیتی است که سیستم نگهداری در کارگاه استخراج دوم (پسرو) وجود دارد و نمودار دوم مربوط به وضعیتی است که سیستم نگهداری در کارگاه استخراج دوم (پسرو) وجود ندارد. بررسی این دو نمودار نشان می‌دهد که با کاهش فاصله میان جبهه کار کارگاه دوم و فضای تخریب کارگاه اول، مقدار جابجایی عمودی در سقف کارگاه دوم افزایش می‌یابد. از آنجایی که موقعیت نمودار اول در زیر نمودار دوم است، نتیجه گرفته می‌شود که نصب سیستم نگهداری چوبی در کارگاه دوم باعث کاهش میزان جابجایی عمودی نقاط واقع در سقف این کارگاه نسبت به وضعیتی می‌شود که سیستم نگهداری در این کارگاه وجود ندارد.



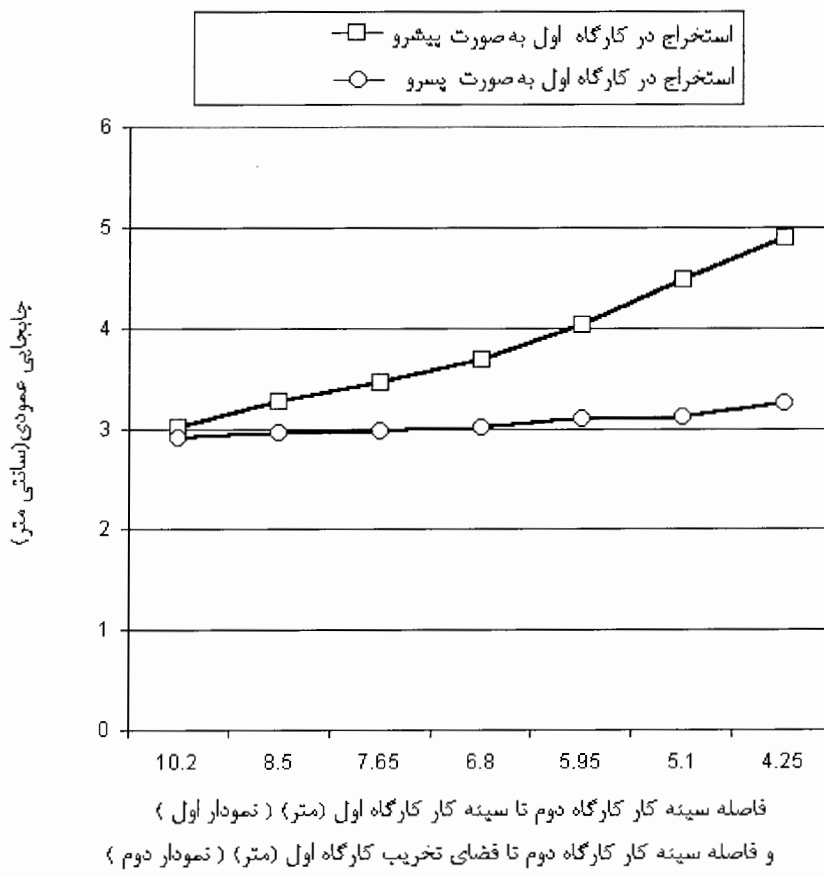
فاصله میان سینه کار پیشروی کارگاه دوم(پسرو) از فضای تخریب کارگاه اول (پسرو) (متر)

شکل ۷-۷ نمودار جابجایی نقطه‌ای از سقف کارگاه دوم (پسرو) بر حسب فاصله میان سینه کار پیشروی کارگاه دوم (پسرو) از فضای تخریب کارگاه اول (پسرو) (متر)

## ۲-۷-۷ مقایسه میزان جابجایی عمودی در سقف کارگاه دوم(پسرو) در دو

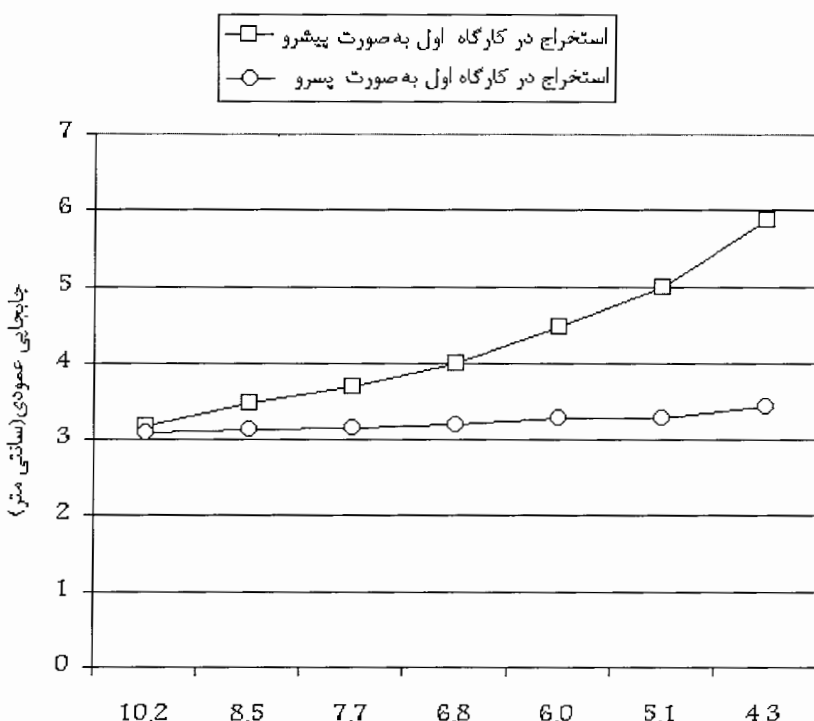
### وضعیت استخراجی کارگاه اول

شکل ۸-۷ نمودارهای مربوط به میزان جابجایی عمودی در نقطه‌ای از سقف بلواسطه کارگاه استخراج دوم (پسرو) در وضعیتی که سیستم نگهداری در کارگاه‌های استخراج وجود دارد را نشان می‌دهد. نمودار اول مربوط به حالتی است که استخراج در کارگاه اول به صورت پیشرو و نمودار دوم مربوط به حالتی است که استخراج در کارگاه اول به صورت پسرو انجام می‌شود. این شکل نشان می‌دهد که میزان جابجایی عمودی در حالتی که استخراج در کارگاه اول به صورت پسرو انجام می‌شود کمتر از حالتی است که استخراج در کارگاه اول به صورت پیشرو انجام می‌شود.



شکل ۸-۷ نمودار جابجایی نقطه‌ای از سقف کارگاه دوم (پسرو) بر حسب فاصله سینه کارگاه دوم تا فضای تخریب کارگاه اول (نمودار دوم) و فاصله سینه کارگاه دوم تا سینه کارگاه اول (نمودار اول) (در شرایط وجود سیستم نگهداری در کارگاه‌های استخراج)

شکل ۹-۷ نمودارهای مربوط به میزان جابجایی عمودی در نقطه‌ای از سقف بلاواسطه کارگاه استخراج دوم (پسرو) در وضعیتی که سیستم نگهداری در کارگاه‌های استخراج وجود ندارد را نشان می‌دهد. در این شکل، نمودار اول مربوط به حالتی است که استخراج در کارگاه اول به صورت پیشرو و نمودار دوم مربوط به حالتی است که استخراج در کارگاه اول به صورت پسرو انجام می‌شود. نتایج بررسی نمودارهای این شکل نیز نشان می‌دهد که میزان جابجایی عمودی در حالتی که استخراج در کارگاه اول به صورت پسرو انجام می‌شود، کمتر از حالتی است که استخراج در کارگاه اول به صورت پیشرو انجام می‌شود.



فاصله سینه کارگاه دوم تا سینه کارگاه اول (متر) (نمودار اول)  
و فاصله سینه کارگاه دوم تا فضای تخریب کارگاه اول (متر) (نمودار دوم)

شکل ۹-۷ نمودار جابجایی نقطه‌ای از سقف کارگاه دوم (پسرو) بر حسب فاصله سینه کارگاه دوم تا فضای تخریب کارگاه اول (نمودار دوم) و فاصله سینه کارگاه دوم تا سینه کارگاه اول (نمودار اول) (در شرایط عدم وجود سیستم نگهداری در کارگاه‌های استخراج)

### ۳-۷-۷ بررسی میزان جابجایی‌های افقی در سینه‌کار کارگاه دوم (پسرو)

#### ۱-۳-۷-۷ حالت اول (استخراج در کارگاه اول به صورت پیشرو)

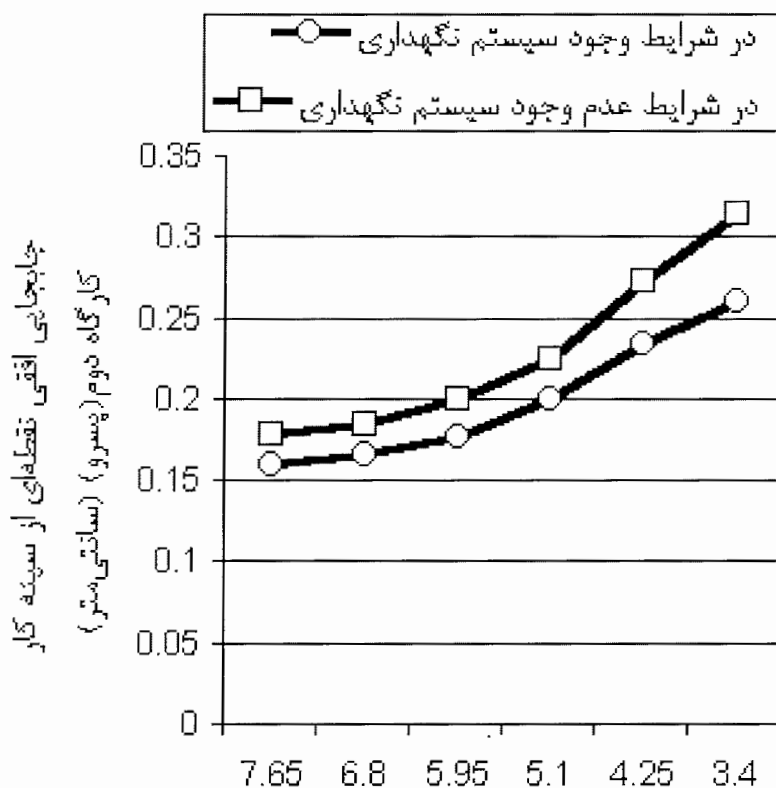
در این حالت مقادیر جابجایی‌های افقی در نقطه‌ای واقع در سینه‌کار کارگاه دوم در دو وضعیت وجود و عدم وجود سیستم نگهداری در کارگاه‌های استخراج مورد بررسی قرار گرفته است. جدول ۵-۵ مقادیر مربوط به جابجایی‌های افقی نقطه‌ای واقع در سینه‌کار کارگاه دوم به‌ازای فواصل مختلف میان جبهه‌کارهای اول و دوم را نشان می‌دهد.

جدول ۵-۵ مقادیر مربوط به جابجایی‌های افقی نقطه‌ای واقع در سینه‌کار کارگاه دوم به‌ازای فواصل مختلف

میان سینه‌کار پیشروی کارگاه دوم (پسرو) از سینه‌کار پیشروی کارگاه اول (پیشرو)

فاصله میان سینه‌کار پیشروی کارگاه دوم (پسرو) از سینه‌کار پیشروی کارگاه اول (پیشرو) (m)	جابجایی افقی در شرایط عدم وجود سیستم نگهداری در کارگاه‌های استخراج (cm)	جابجایی افقی در شرایط عدم وجود سیستم نگهداری در کارگاه‌های استخراج (cm)
۷/۶۵	۰/۱۵۹۶	۰/۱۷۸۶
۶/۸	۰/۱۶۵۲	۰/۱۸۴۴
۵/۹۵	۰/۱۷۷۳	۰/۲
۵/۱	۰/۲	۰/۲۲۴۶
۴/۲۵	۰/۲۳۴۵	۰/۲۷۳
۳/۴	۰/۲۵۹۶	۰/۳۱۴۳

نمودار شکل ۱۰-۷ که بر اساس مقادیر بدست آمده جدول ۵-۵ تهیه شده، شامل دو نمودار است. نمودار اول مربوط به وضعیتی است که سیستم نگهداری در کارگاه‌های استخراج وجود دارد و نمودار دوم مربوط به وضعیتی است که سیستم نگهداری در کارگاه‌های استخراج وجود ندارد. بررسی این دو نمودار نشان می‌دهد که با کاهش فاصله میان جبهه‌کارهای کارگاه اول و دوم، مقدار جابجایی افقی در نقطه‌ای واقع در سینه‌کار کارگاه دوم افزایش می‌یابد. از آنجایی که موقعیت نمودار اول در زیر نمودار دوم است، نتیجه گرفته می‌شود که نصب سیستم نگهداری چوبی در کارگاه‌های استخراج باعث کاهش میزان جابجایی‌های افقی در سینه‌کار کارگاه دوم نسبت به وضعیتی می‌شود که سیستم نگهداری در کارگاه استخراج وجود ندارد.



فاصله سینه کار کارگاه دوم(پیشرو) از سینه کار کارگاه اول(پیشرو)(متر)

شکل ۷-۱۰ نمودار جایجایی افقی نقطه‌ای از سینه کار کارگاه دوم(پیشرو) بر اساس فاصله سینه کار کارگاه دوم(پیشرو) از سینه کار کارگاه اول(پیشرو)

**۷-۷-۳-۲ حالت دوم (استخراج در کارگاه اول به صورت پسرو)**

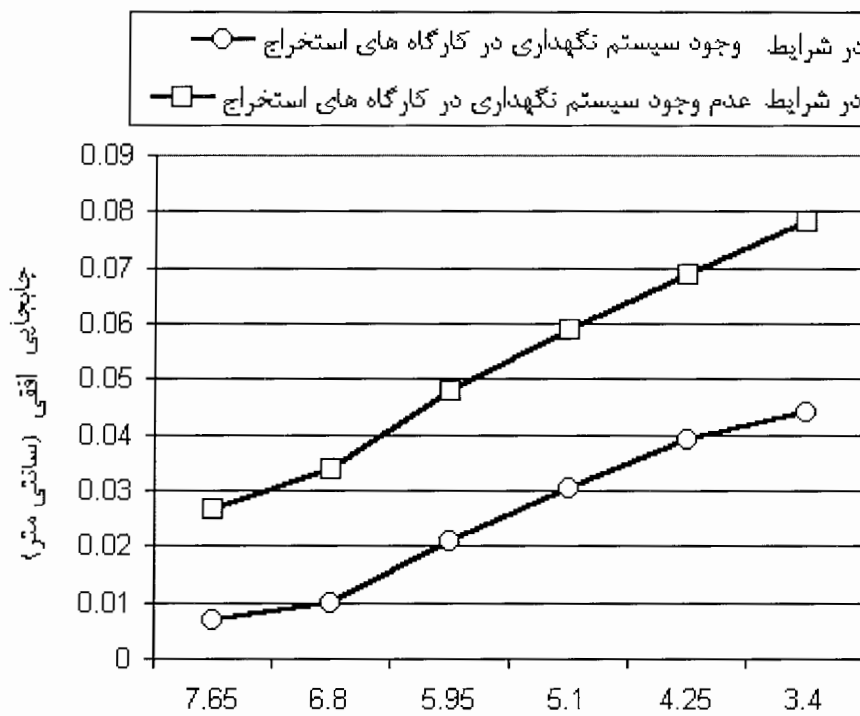
در این حالت مقادیر جابجایی‌های افقی در نقطه‌ای واقع در سینه کار کارگاه دوم (پسرو) در دو وضعیت وجود و عدم وجود سیستم نگهداری در این کارگاه مورد بررسی قرار گرفته است. جدول ۶-۷ مقادیر مربوط به جابجایی‌های افقی نقطه‌ای واقع در سینه کار کارگاه دوم به‌ازای فواصل مختلف میان جبهه کار کارگاه دوم و فضای تخریب کارگاه اول را نشان می‌دهد.

جدول ۶-۷ مقادیر مربوط به جابجایی‌های افقی نقطه‌ای واقع در سینه کار کارگاه دوم به‌ازای فواصل مختلف

میان سینه کار پیشیوی کارگاه دوم (پسرو) از فضای تخریب کارگاه اول (پسرو)

جابجایی افقی در شرایط عدم وجود سیستم نگهداری در کارگاه استخراج دوم (cm)	جابجایی افقی در شرایط وجود سیستم نگهداری در کارگاه استخراج دوم (cm)	فاصله میان سینه کار پیشیوی کارگاه دوم (پسرو) از فضای تخریب کارگاه اول (پسرو) (m)
۰/۰۲۶۶۶	۰/۰۰۶۸۶۸	۷/۶۵
۰/۰۳۳۹۱	۰/۰۰۹۸۸۹	۶/۸
۰/۰۴۷۷۱	۰/۰۲۱۰۱	۵/۹۵
۰/۰۵۸۸	۰/۰۳۰۲۳	۵/۱
۰/۰۶۸۶۴	۰/۰۳۹۱	۴/۲۵
۰/۰۷۸۲۲	۰/۰۴۴۰۱	۳/۴

نمودار شکل ۱۱-۷ که بر اساس مقادیر بدست آمده جدول ۶-۷ تهیه شده، شامل دو نمودار است نمودار اول مربوط به وضعیتی است که سیستم نگهداری در کارگاه استخراج دوم (پسرو) وجود دارد و نمودار دوم مربوط به وضعیتی است که سیستم نگهداری در کارگاه استخراج دوم (پسرو) وجود ندارد. بررسی این دو نمودار نشان می‌دهد که با کاهش فاصله میان جبهه کار کارگاه دوم و فضای تخریب کارگاه اول، مقدار جابجایی افقی در نقطه‌ای واقع در سینه کار کارگاه دوم افزایش می‌یابد. از آنجایی که موقعیت نمودار اول در زیر نمودار دوم است، نتیجه گرفته می‌شود که نصب سیستم نگهداری چوبی در کارگاه دوم باعث کاهش میزان جابجایی‌های افقی نسبت به وضعیتی می‌شود که سیستم نگهداری در این کارگاه استخراج وجود ندارد.



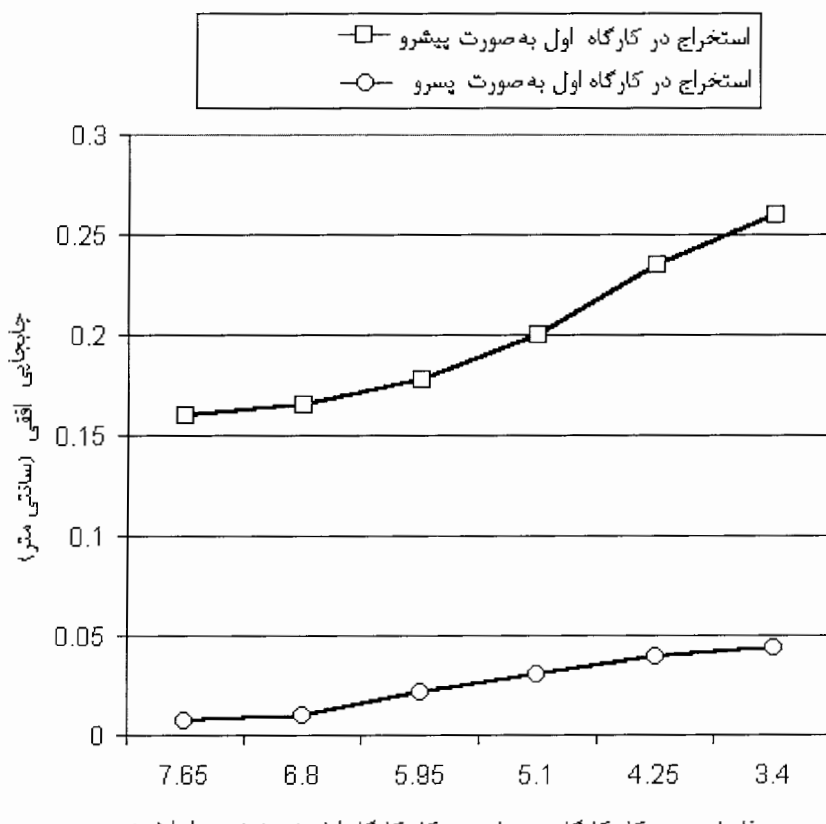
فاصله میان سینه کار پیشروی کارگاه دوم(پسرو) از فضای تخریب کارگاه اول (پسرو) (متر)

شکل ۷-۱۱ نمودار جابجایی افقی نقطه ای از سینه کار کارگاه دوم (پسرو) بر حسب فاصله میان سینه کار پیشروی کارگاه دوم (پسرو) از فضای تخریب کارگاه اول (پسرو) (متر)

#### ۴-۷-۷ مقایسه میزان جابجایی‌های افقی در سینه‌کار کارگاه دوم (پسرو) در

##### دو وضعیت استخراجی کارگاه اول

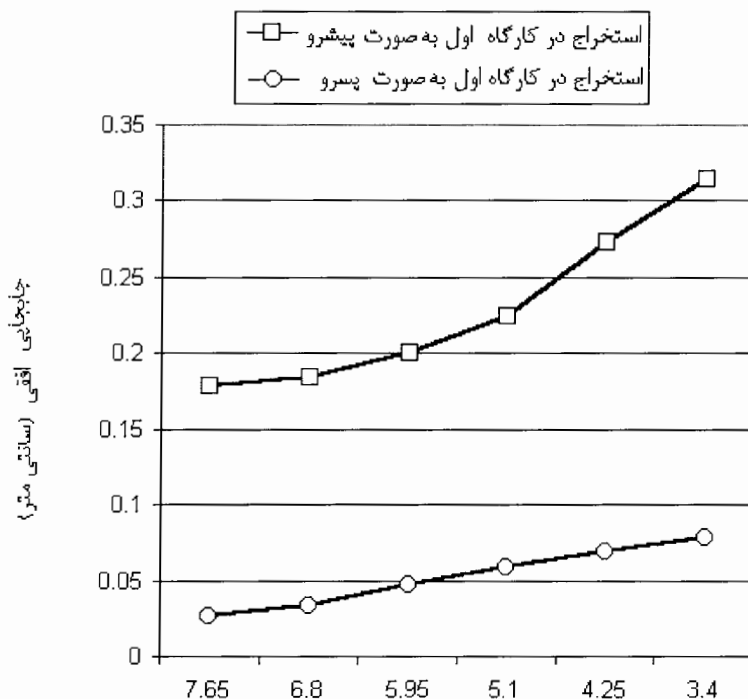
شکل ۱۲-۷ نمودارهای مربوط به میزان جابجایی‌های افقی در نقطه‌ای واقع در سینه‌کار کارگاه استخراج دوم (پسرو) در وضعیتی که سیستم نگهداری در کارگاه‌های استخراج وجود دارد را نشان می‌دهد. نمودار اول مربوط به حالتی است که استخراج در کارگاه اول به صورت پیشرو و نمودار دوم مربوط به حالتی است که استخراج در کارگاه اول به صورت پسرو انجام می‌شود. این شکل نشان می‌دهد که میزان جابجایی‌های افقی در حالتی که استخراج در کارگاه اول به صورت پسرو انجام می‌شود کمتر از حالتی است که استخراج در کارگاه اول به صورت پیشرو انجام می‌شود.



فاصله سینه کار کارگاه دوم تا سینه کار کارگاه اول (متر) (نمودار اول)  
و فاصله سینه کار کارگاه دوم تا فضای تخریب کارگاه اول (متر) (نمودار دوم)

شکل ۷-۱۱ نمودار جابجایی افقی نقطه‌ای از سینه‌کار کارگاه دوم (پسرو) بر حسب فاصله سینه‌کار کارگاه دوم تا سینه‌کار کارگاه اول (نمودار اول) و فاصله سینه‌کار کارگاه دوم تا فضای تخریب کارگاه اول (نمودار دوم، در شرایط وجود سیستم نگهداری در کارگاه‌های استخراج)

شکل ۷-۱۳ نیز نمودارهای مربوط به میزان جابجایی‌های افقی در نقطه‌ای واقع در سینه کار کارگاه استخراج دوم (پسرو) در وضعیتی که سیستم نگهداری در کارگاه‌های استخراج وجود ندارد را نشان می‌دهد. در این شکل، نمودار اول مربوط به حالتی است که استخراج در کارگاه اول به صورت پیشرو و نمودار دوم مربوط به حالتی است که استخراج در کارگاه اول به صورت پیشرو و نمودار دوم بررسی نمودارهای این شکل نیز نشان می‌دهد که جابجایی‌های افقی در حالتی که استخراج در کارگاه اول به صورت پیشرو انجام می‌شود، کمتر از حالتی است که استخراج در کارگاه اول به صورت پیشرو انجام می‌شود.

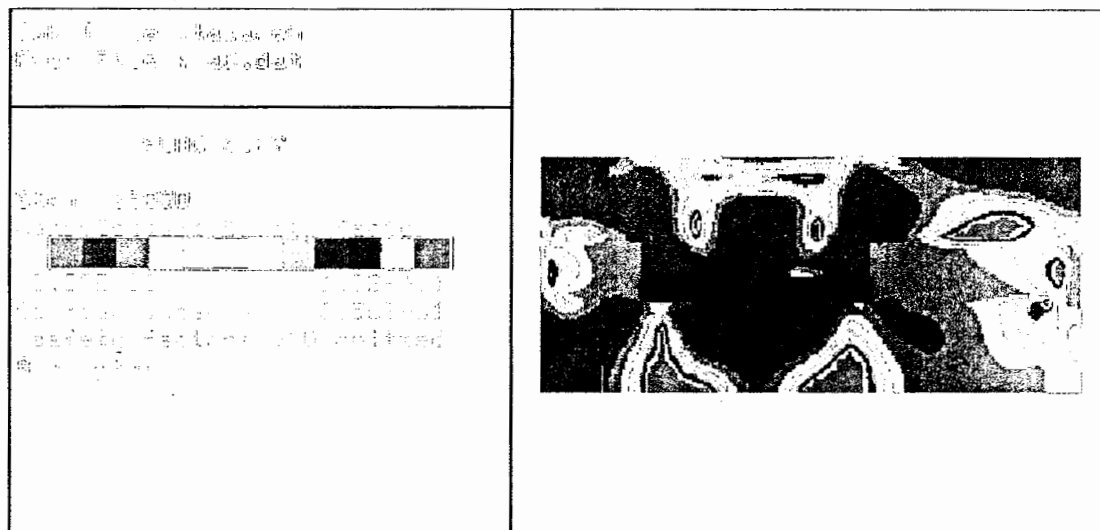


فاصله سینه کارگاه دوم تا سینه کارگاه اول (متر) (نمودار اول)  
و فاصله سینه کارگاه دوم تا فضای تخریب کارگاه اول (متر) (نمودار دوم)

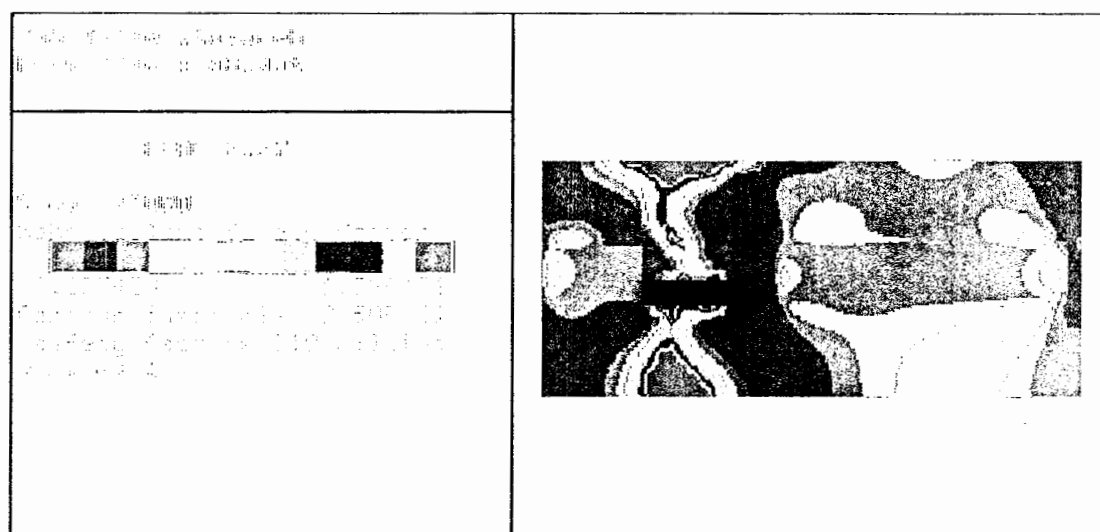
شکل ۷-۱۴ نمودار جابجایی افقی نقطه‌ای از سینه کارگاه دوم (پسرو) بر حسب فاصله سینه کارگاه دوم تا سینه کارگاه اول (نمودار اول) و فاصله سینه کارگاه دوم تا فضای تخریب کارگاه اول (نمودار دوم) (در شرایط عدم وجود سیستم نگهداری در کارگاه‌های استخراج)

### ۷-۷-۵ بررسی ضریب ایمنی (مقطع عمود بر خط بزرگترین شیب کارگاه استخراج)

شکل‌های ۱۳-۷-الف و ب وضعیت ضریب ایمنی را در دو وضعیت استخراج کارگاه اول نشان می‌دهند. در شکل ۱۳-۷-الف استخراج در کارگاه اول بهصورت پیشرو و در شکل ۱۳-۷-ب استخراج در این کارگاه بهصورت پسرو انجام می‌شود. مقایسه ضریب ایمنی در اطراف کارگاه استخراج دوم (پسرو) نشان می‌دهد، در حالتی که استخراج در کارگاه اول بهصورت پسرو باشد میزان ضریب ایمنی در اطراف کارگاه استخراج دوم (پسرو) بیشتر از حالتی است که استخراج در کارگاه اول بهصورت پیشرو انجام می‌شود.



شکل ۱۳-۷-الف توزیع ضریب ایمنی در اطراف کارگاه دوم (استخراج در کارگاه اول بهصورت پیشرو)



شکل ۱۳-۷-ب توزیع ضریب ایمنی در اطراف کارگاه دوم (استخراج در کارگاه اول بهصورت پسرو)

## فصل هشتم- نتیجه‌گیری و پیشنهادات

استخراج ذغال در معادن زیر زمینی باعث ایجاد فضای خالی در زیر سطح زمین و بر هم خوردن تعادل در سنگ‌های اطراف این فضا می‌شود. با ایجاد فضای خالی، لایه‌های سقف این فضا تمایل به ریزش و پر کردن این فضا دارند. حرکت این لایه‌ها بر وضعیت تأسیسات سطحی و حتی کارگاه‌های مجاور مؤثر است. شدت این تأثیرات به ضخامت، جنس و مشخصات مکانیک سنگی توده‌سنگ‌های اطراف استخراج شده و همچنین مشخصات هندسی فضای ایجاد شده وابسته است. در بعضی موارد، ریزش ناگهانی سقف کارگاه استخراج باعث مسدود شدن کارگاه و ایجاد خسارات جانی و مالی زیادی می‌شود. به منظور راهاندازی مجدد کارگاه تخریب شده، مقدار زیادی از ذغال به عنوان لنگه محافظتی به جا گذاشته می‌شود که این مسأله باعث کاهش بهره‌وری ذغال و کاهش روزهای مفید کاری خواهد شد.

در این تحقیق، بررسی رفتار سنگ سقف لایه  $P_{10}$  بخش پشكلات منطقه طزره ( از معادن شرکت ذغالسنگ البرز شرقی - شهرستان شهرود ) با استفاده از روش‌های تجربی و روش‌های عددی انجام شده است.

به منظور تعیین پارامترهای مکانیک سنگی مربوط به توده‌سنگ‌های اطراف کارگاه استخراج و تونل‌های دنباله لایه، وضعیت ناپیوستگی‌های منطقه مورد بررسی قرار گرفته است. از آنجایی که امکان بررسی وضعیت ناپیوستگی‌های سقف اصلی لایه  $P_{10}$  شیب‌دار در تونل‌های دنباله لایه بالا و پایین و کارگاه به دلیل عدم وجود رخنمون این لایه وجود ندارد، لذا تنها وضعیت ناپیوستگی‌های سقف بلاواسطه مورد ارزیابی قرار گرفته است.

جهت تعیین وضعیت ناپیوستگی‌های سقف بلاواسطه لایه  $P_{10}$  شیب‌دار، مشخصات مربوط به ۱۰۰ درزه شامل شیب، جهت شیب، گسترش و میزان بازشدگی و وضعیت پرکننده‌های درزه‌ها مورد بررسی قرار گرفته است. استفاده از نرم‌افزار DIPS نسخه ۲ تعداد دسته‌درزه‌های موجود در سقف بلاواسطه را دو دسته درزه نشان می‌دهد. امتداد یکی از این دسته درزه‌ها عمود بر امتداد تونل‌های پیشروی و شیب آن در جهت پیشروی تونل بوده و امتداد دسته درزه دوم موازی با امتداد تونل‌های پیشروی است.

جهت تعیین فاصله‌داری متوسط درزه‌ها از روش *SCANLINE* استفاده شده که مقدار فاصله‌داری متوسط درزه‌ها در حدود  $16/72\text{ cm}$  برآورد شده است. در تعیین شاخص کیفیت سنگ (*RQD*) با استفاده از روش پیشنهادی *Priest* و *Hudson* مقدار این شاخص  $87/88$  محاسبه شده است.

در تحلیل تجربی این تحقیق، تعدادی از روش‌های تجربی ارزیابی رفتار سقف که حاصل انجام تحقیقات در معادن دیگر است معرفی شده اند. روش تعیین مقاومت جدایش لایه‌ای با استفاده از نفوذسنج گمانه‌ای یکی از این روش‌ها می‌باشد که بهدلیل عدم دسترسی به ابزار مورد نیاز، مورد استفاده قرار نگرفته است. روش استفاده از چکش اشمیت به دلایل وجود نقایص زیر در ارزیابی رفتار سقف بلاواسطه در معادن ذغال طزره مورد استفاده قرار نگرفته است :

- ۱- عدم امکان محاسبه دقیق میانگین اعداد انعکاسی مربوط به سقف بلاواسطه در تونل‌های دنباله لایه بهدلیل وجود شکستگی‌های زیادی که در اثر آتش‌باری در سنگ سقف ایجاد شده است.
- ۲- عدم امکان محاسبه دقیق میانگین اعداد انعکاسی مربوط به سنگ سقف بلاواسطه لایه  $P_{10}$  در کارگاه‌های استخراج بهعلت وجود لایه‌های نازک ذغال کاذب (لیچه) در سطح پایینی سقف بلاواسطه و عدم امکان حذف این لایه‌های نازک به علت خطر ریزش سقف و امکان ایجاد اشکال در موقعیت چوب‌های مربوط به سیستم نگهداری.

دو روش طبقه‌بندی *Peng* و طبقه‌بندی *Proyavkin* رفتار سقف بلاواسطه و سقف اصلی را تا حدودی مشابه نتایج بدست آمده از گزارش‌های مربوط به گذشته و مشاهدات تجربی معرفی می‌کند.

در استفاده از روش شاخص مقاومت، مقدار این شاخص برای سقف بلاواسطه لایه  $P_{10}$  برابر با  $3/939$  مگاپاسکال بدست می‌آید که این مقدار وضعیت سقف بلاواسطه را نیمه پایدار معرفی می‌کند. همچنین حداکثر گام پیشروی قبل از وقوع اولین تخریب دوره‌ای در حدود  $8$  الی  $18$  متر برآورد می‌شود که نتیجه به‌دست آمده از این روش تا حد مطلوبی مشابه وضعیت سقف بلاواسطه در واقعیت است.

در ارزیابی سقف اصلی با استفاده از روش شاخص مقاومت، مقدار این شاخص برای سقف اصلی برابر  $8/04$  مگاپاسکال بدست می‌آید که این مقدار وضعیت سقف اصلی را پایدار معرفی می‌کند.

همچنین حداکثر گام پیشروی قبل از وقوع اولین تخریب دوره‌ای سقف اصلی در حدود ۱۸ الی ۲۵ متر برآورد شده که نتیجه به دست آمده تا حد مطلوبی مشابه وضعیت سقف اصلی در واقعیت است. مسئله بررسی وجود شرایط جهت اعمال بار ضربه‌ای شدید از سوی سقف اصلی با استفاده از شاخص  $N$  نشان می‌دهد که تاثیر وزنی سقف قابل تشخیص است. همچنین مسئله وجود شرایط لازم جهت اعمال تاثیر وزنی سقف اصلی با استفاده از میزان ارتفاع تخریب سقف بلاواسطه نیز نشان می‌دهد که مقدار ارتفاع تخریب مربوط به سقفی از جنس سقف بلاواسطه لایه  $P_{10}$  شبیه‌دار بیشتر از ضخامت سقف بلاواسطه مربوط به این لایه است، در نتیجه تخریب سقف بلاواسطه نمی‌تواند فضای خالی ایجاد شده ناشی از استخراج لایه ذغالی و ریزش سقف بلاواسطه را پر کند و وجود یک فضای خالی میان سقف بلاواسطه تخریب شده و سقف اصلی شرایط را جهت ایجاد و تشخیص تاثیر وزنی سقف اصلی فراهم می‌سازد.

در استفاده از روش تعیین شاخص مهندسی نیز مقدار این شاخص برای سقف بلاواسطه لایه  $P_{10}$  برابر با ۹/۹۲۷ متر بدست می‌آید که این مقدار وضعیت سقف بلاواسطه را پایدار معرفی می‌کند. این وضعیت با مشاهدات تجربی هم‌خوانی مطلوبی ندارد. استفاده از این روش حداکثر گام پیشروی قبل از وقوع تخریب در سقف بلاواسطه و سقف اصلی را بسیار بیشتر از مقداری که در واقع اتفاق افتاده است بیان می‌کند و این مسئله عدم عمومیت کاربرد این روش در معادن را نشان می‌دهد. از آنجایی که استفاده از دو سیستم طبقه‌بندی بنیاوسکی و بارتون به منظور طبقه‌بندی توده‌سنگی است که فضاهای زیرزمینی (تونل‌های دنباله لایه و کارگاههای استخراج) در آن حفر شده است و این شرایط در معادن ذغال‌سنگ طرره (که تونل‌های دنباله‌لایه در لایه‌های ذغالی و سنگ‌های کمربالا و کارگاههای استخراج در اثر استخراج لایه‌های ذغالی ایجاد شده‌اند) وجود ندارد، لذا استفاده از این سیستم طبقه‌بندی تنها در ارزیابی سقف بلاواسطه تونل‌های دنباله لایه مربوط به لایه  $P_{10}$  مورد استفاده قرار می‌گیرد.

در استفاده از سیستم طبقه‌بندی بنیاوسکی  $RMR$ <sup>۸۹</sup> مقدار امتیاز توده سنگ سقف بلاواسطه برابر ۴۷/۹ محاسبه شده است. این مقدار شرایط سقف را ناپایدار و لزوم نصب سیستم نگهداری را معرفی می‌کند.

در استفاده از سیستم طبقه‌بندی بارتون (شاخص  $Q$ ) مقدار این شاخص برای سقف بلاواسطه برابر  $1/0.9$  برآورد می‌شود که با توجه به بعد معادل تونل‌های دنباله لایه (مقدار  $2/25$ ) و شاخص  $Q$  مربوط به تونل‌های دنباله لایه بالایی و پایینی و مراجعه به نمودارهای مربوطه، مشخص شد که نصب سیستم نگهداری لازم است.

بررسی وضعیت انفجار خودبه‌خودی در سنگ‌های سقف بلاواسطه براساس دو عامل عمق و چگونگی پیوستگی توده‌سنگ سقف بلاواسطه، وقوع انفجار شدید در سنگ‌های سقف را بیان می‌کند، در حالی که مشاهدات و گزارشات نشان می‌دهد که فعالیت انفجار خودبه‌خودی در سنگ‌های سقف شدید نیست.

تحلیل عددی سقف بلاواسطه لایه  $P_{10}$  شیبدار با استفاده از نرم افزار *FLAC* بهصورت بررسی میزان جابجایی‌ها و ضریب ایمنی در دو وضعیت صورت گرفته است. در وضعیت اول مقطع مورد بررسی در راستای امتداد خط بزرگترین شبکه کارگاه استخراج تهیه شده است. نتایج حاصل از این قسمت، نشان می‌دهد که تغییر در وضعیت نگهداری کارگاه‌های استخراج بر میزان جابجایی‌های عمودی و افقی در نقاطی از سقف تونل‌های دنباله لایه و کارگاه استخراج موثر است.

در وضعیت دوم، مقطع مورد بررسی در راستای عمود بر امتداد خط بزرگترین شبکه کارگاه استخراج تهیه شده است. در این وضعیت میزان جابجایی‌ها در سقف و سینه کار کارگاه استخراج دوم (پسرو) لایه  $P_{10}$  در دو حالت مورد بررسی قرار گرفته است. حالت اول مربوط به وضعیتی است که استخراج در کارگاه مجاور (کارگاه اول) واقع در همان پهنه استخراجی بهصورت پیشرو و حالت دوم مربوط به وضعیتی است که استخراج در کارگاه اول بهصورت پسرو انجام می‌شود. نتایج تحلیل عددی نشان می‌دهد که در وضعیتی که استخراج در کارگاه اول بهصورت پسرو صورت می‌گیرد، مقدار جابجایی‌های عمودی در سقف و مقدار جابجایی‌های افقی در سینه کار کارگاه دوم (پسرو) کمتر و همچنین مقادیر ضریب ایمنی در اطراف کارگاه دوم لایه  $P_{10}$  شیبدار بیشتر از حالت دیگر است در نتیجه میزان ذخیره ذغالی که به منظور ایجاد شرایط ایمن در بین دو کارگاه باقی گذارده می‌شود، کمتر خواهد بود. بنابراین به دلیل وجود ایمنی بیشتر و همچنین بهره‌وری بیشتر لایه‌های ذغالی، نحوه استخراج در دو کارگاه استخراج مجاور (واقع در یک پهنه استخراجی) به صورت مشابه (هر دو پیشرو و یا هر دو پسرو) به عنوان روش بهتر پیشنهاد می‌شود.

در پایان با توجه به نتایج ارزیابی رفتار سقف لایه  $P_{10}$  شیبدار، موارد زیر پیشنهاد می‌گردد:

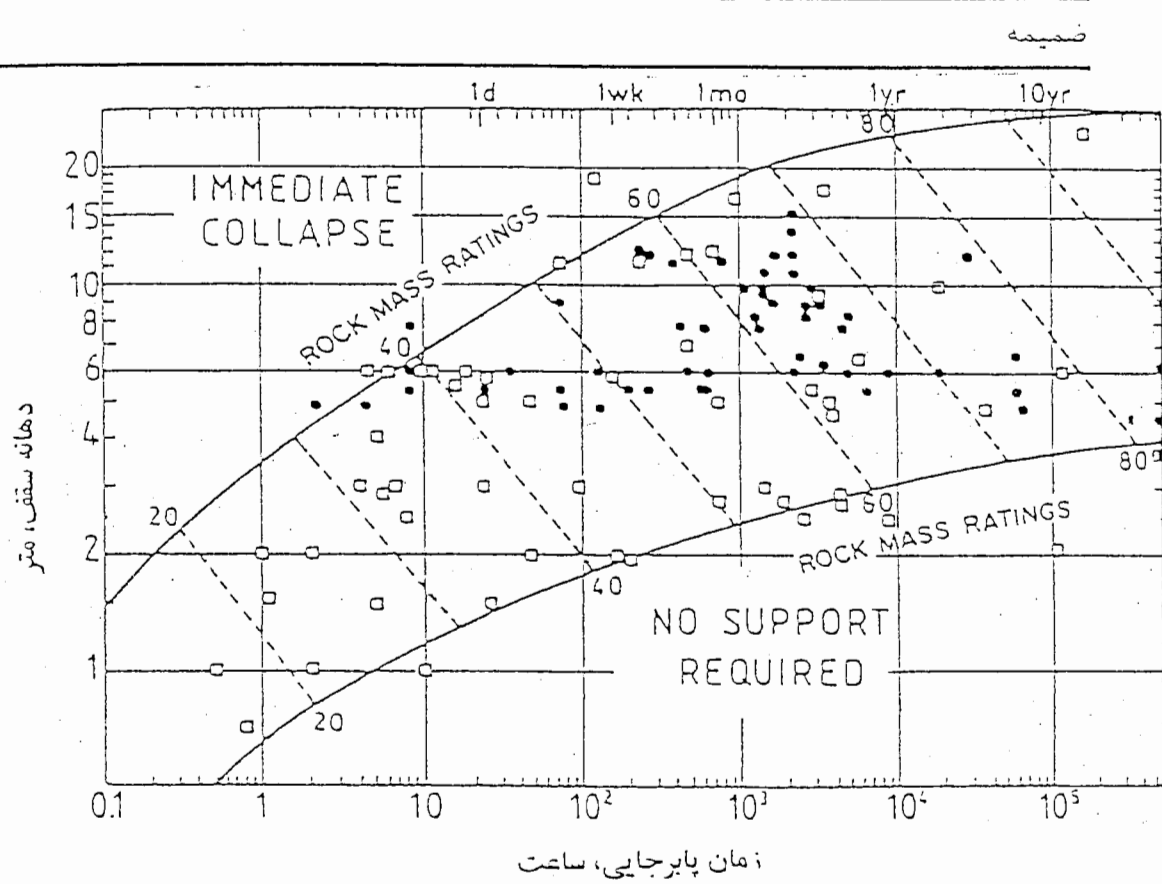
- ۱- پیش از آغاز مرحله آماده سازی کارگاه (با توجه به وضعیت سنگشناسی توده‌سنگ‌های اطراف کارگاه موردنظر که از گمانه‌های اکتشافی به دست آمده) یک ارزیابی اولیه با استفاده از روش‌های ذکر شده انجام شود. هر چند که نتایج حاصل از همه روش‌های تجربی ذکر شده با واقعیت رفتار سقف‌ها تشابه کامل ندارند ولی اطلاع از نوع ریزش سنگ‌های سقف توانایی طراحان و تکنسین‌های معدنی را در پیشگیری و تا حدی کنترل عوارض ناشی از ریزش‌های ناگهانی بالا می‌برد.
- ۲- در تحلیل عددی کارگاه‌های ذغالی که در آنها از سیستم نگهداری چوبی استفاده می‌شود از نسخه‌های بالاتر نرم‌افزار *FLAC* استفاده شود و جهت افزایش دقت تحلیل تا حد امکان از تحلیل سه‌بعدی استفاده شود.
- ۳- سیستم‌های طبقه‌بندی بنیاوسکی و بارتون تنها در ارزیابی سقف بلاواسطه تونل‌های دنباله لایه مورد استفاده قرار بگیرد.
- ۴- پس از حفر مقداری از تونل‌های دنباله لایه بالایی و پایینی جهت استفاده از بعضی از روش‌های ارزیابی قابلیت تخریب در کارگاه و تونل‌های دنباله لایه وضعیت ناپیوستگی‌های سقف بلاواسطه به دقت مورد بررسی قرار بگیرد.
- ۵- جهت تعیین وضعیت تنش‌های برجای سقف بلاواسطه، از ابزار مربوط به آن که از بیشترین دقت برخوردار هستند، استفاده شوند.
- ۶- هر چند که استفاده از پیشرفت‌های امکانات در تحلیل رفتار سقف، توانایی مهندسین و طراحان را تا زیادی بالا می‌برد ولی باید به این نکته اشاره نمود که همواره پدیده‌ها و عواملی ممکن است در عالم طبیعت رخداد که همه محاسبات و پیش‌بینی‌های مهندسی را تحت شعاع خود قرار داده و بی‌تأثیر نماید. بنابراین در آغاز هر عملیات استخراج روزانه باید کوچکترین عوامل غیر طبیعی همانند ریزش‌های موردنی، صدای شکستن سنگ‌های سقف و مشاهده شکستگی‌های زود هنگام در نگهداری‌های چوبی را عاملی هشدار دهنده برای وقوع حوادثی غیرقابل جبران دانست.

# منابع

- ۱- قارونی نیک، مرتضی و همزه ابیازنی، مرتضی [مترجمین] ۱۳۸۰. نگهداری حفریات زیرزمینی در سنگ‌های سخت. هوک، کیسر، باودن. [مؤلفین]. چاپ اول. چاپ و صحافی سپهر. تهران
- ۲- واحدی، محمد، ۱۳۸۰ . تحلیل پایداری تونل‌ها در محیط‌های پرتنش. پایان‌نامه کارشناسی ارشد. دانشکده معدن و ژئوفیزیک دانشگاه صنعتی شاهروド
- ۳- صفری، اباسد، ۱۳۸۰. تحلیل پایداری شیروانی ساحل راست سد گتوند علیا. پایان‌نامه کارشناسی ارشد. دانشکده معدن و ژئوفیزیک دانشگاه صنعتی شاهروド
- ۴- طالبی، کاوه، ۱۳۸۱. تجزیه و تحلیل پایداری دیواره شرقی معدن مس سرچشم. پایان‌نامه کارشناسی ارشد. دانشکده معدن و ژئوفیزیک دانشگاه صنعتی شاهروド
- ۵- هراتی، محمدرضا، ۱۳۷۴. طبقه بندی مهندسی سنگ‌ها در ارتباط با طراحی فضاهای زیرزمینی. انتشارات شرکت فنی ایران
- ۶- مدنی، حسن، ۱۳۷۹ . تونل‌سازی جلد سوم (تحلیل پایداری). مرکز نشر دانشگاه صنعتی امیر کبیر
- ۷- حسینی، امیر، ۱۳۸۰ . روش‌های ارزیابی قابلیت تخریب سقف در معادن ذغال. مجموعه مقالات دومین کنفرانس دانشجویی مهندسی معدن. انتشارات دانشگاه صنعتی شاهروド
- ۸- ترابی، سید رحمان، ۱۳۸۱ . مقدمه ای بر مکانیک سنگ. انتشارات دانشگاه صنعتی شاهروド
- ۹- همتیان، جمال ، ۱۳۶۷ . طراحی سیستم‌های نگهداری در کارگاه‌های جبهه کار بلند. پژوهش کارشناسی ارشد. دانشکده معدن دانشگاه صنعتی امیرکبیر
- ۱۰- همتیان، جمال، ۱۳۷۶ [مترجم]. طراحی سیستم‌های نگهداری در معادن . ک. بایرون- آریگلو . [مؤلفین] . موسسه نشر جهاد وابسته به جهاد دانشگاهی
- ۱۱- گزارش تفصیلی منطقه ذغال سنگ البرز شرقی ۱۳۵۵ - شرکت ذغال سنگ البرز شرقی
- ۱۲- فهیمی فر، احمد- ۱۳۷۶ . سازه‌های زیرزمینی در سنگ . انتشارات دانشگاه صنعتی امیرکبیر
- ۱۳- اورعی ، کاظم [تألیف] دی‌ماه ۱۳۸۰. روش‌های استخراج زیرزمینی(ذغال‌سنگ). مرکز نشر دانشگاه صنعتی امیرکبیر. تهران
- ۱۴- بصیر ، حسن ۱۳۸۱ . روش‌های استخراج معدن . مرکز نشر دانشگاه صنعتی امیر کبیر

- 15- *Bieniawski Z.T ,1984,Rock mechanics design and tunneling . Printed in the Netherlands*
- 16- *Bieniawski Z.T , 1987 .Strata control in mineral engineering . Printed in the Netherlands*
- 17- *SARKAR S.K .1997 .Ground control in mining . Distributed in usa and Canada*
- 18- *PENG ,S ,1986 . Coal mine ground control .Printed in the united states of America*
- 19- *Chugh ,P, Karmis, Michael .1982 . State of -the-Art of ground control in long wall mining and mining subsidence. Printed in the New york*
- 20- *Brady ,B.H , Brown E.T .1993 .Rock mechanics for underground mining*
- 21- *Farmer , Ian .1983 .Engineering behaviour of rock . Published by chapman and Hall Ltd.second editor*

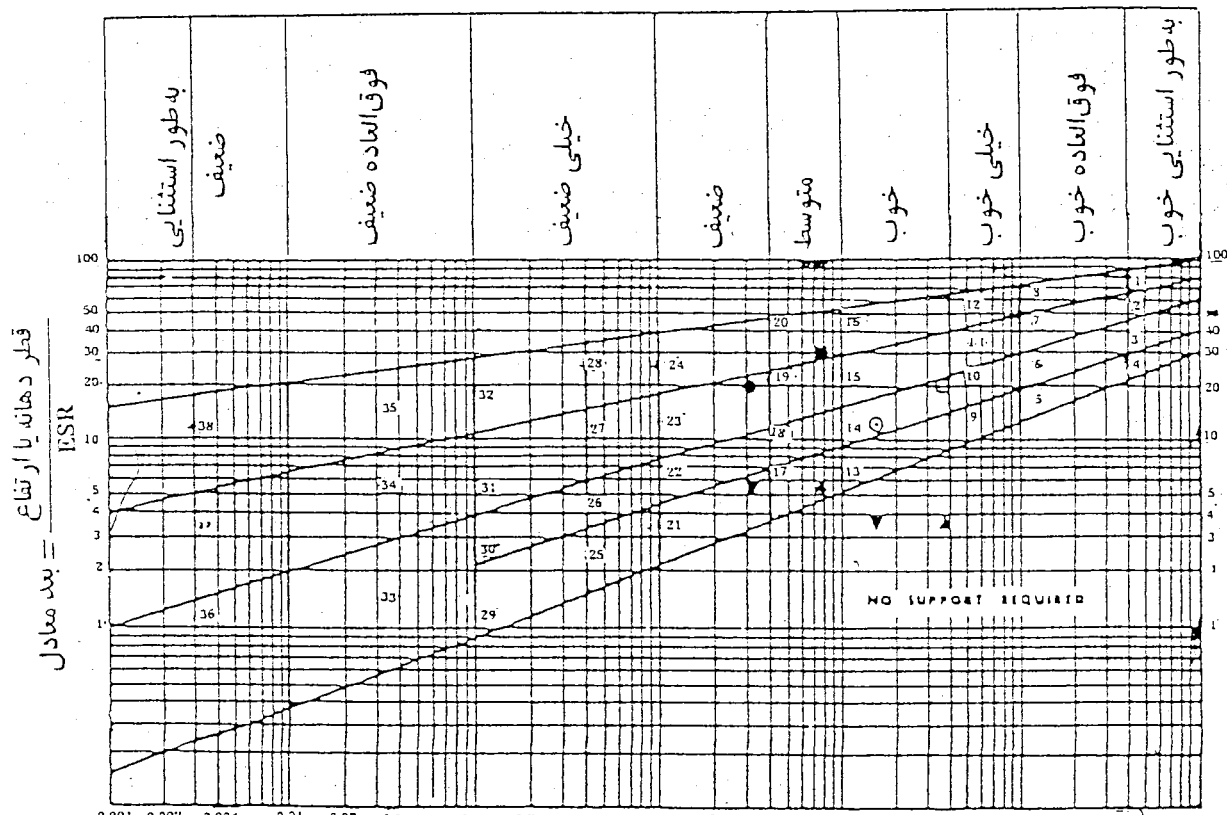
ادامه جدول ۱ پارا مترهای طبقه‌بندی  $RMR$  و امتیاز مربوط به آنها [۱]



شکل ۱ ارتباط میان زمان پابرجایی و دهانه سقف [۶]

جدول ۲ اندازه عددی ضریب  $ESR$  در وضعیت های مختلف [۶]

ردہ	وضعیت تونل	اندازه عددی $ESR$
الف	تونل های معدنی موقت	۳ تا ۵
ب	تونل های معدنی دائمی، تونل های آبرسانی به نیروگاه های برق آبی (به استثنای تونل های تحت فشار)، تونل های پیشاہنگ، تونل های دنباله رور، تونل های پیشاہنگ حفریات بزرگ	۱/۶
ج	انبار های زیرزمینی، تصفیه خانه های زیرزمینی و تونل های فرعی راه و یا راه آهن، تونل های دسترسی	۱/۲
د	نیروگاه های برقی زیرزمینی، تونل های اصلی راه و یا راه آهن، پناهگاه های عمومی زیرزمینی، ورودی تقاطع های زیرزمینی	۱
ه	نیروگاه های هسته ای زیرزمینی، ایستگاه های راه آهن، سراکز عمر مسی و ورزشی زیرزمینی، کارخانجات زیرزمینی	۰/۸



$$Q = \left( \frac{RQD}{J_n} \right) \times \left( \frac{J_r}{J_a} \right) \times \left( \frac{J_w}{SRF} \right)$$

شكل ۲ ارتباط میان بعد معادل و مقدار شاخص  $Q$  [۶]

جدول ۳ طبقه بندی پارامترهای مورد استقاده در تعیین شاخص کیفیت تونل زنی [۶]

توصیف	مقدار	ملاحظات
۱- شاخص کیفیت سنگ	$RQD$	۱- وقتی که مقدار $RQD$ بین صفرتا ۱۰ باشد برای ارزیابی مقدار $RQD$ برابر با ۰۱۰ فرض می شود ۲- مقدار پر $RQD$ با تغییرات ۵ یعنی ۱۰۰، ۹۵، ۹۰ و غیره بد اندازه کافی دست داشت.
الف. خوبی ضعیف ب. ضعیف ج. مناسب د. خوب ه. خوبی خوب	۰ تا ۲۵ ۲۵ تا ۵۰ ۵۰ تا ۷۵ ۷۵ تا ۹۰ ۹۰ تا ۱۰۰	$RQD$
۲- عدد مربوط به تعداد درزه ها	$J_n$	
الف. توپر، بدون درزه یا با درزه کم ب. یک مجموعه درزه ج. یک مجموعه درزه و نامنظم د. دو مجموعه درزه ه. دو مجموعه درزه و نامنظم و. سه مجموعه درزه ز. سه مجموعه درزه و نامنظم ح. چهار مجموعه درزه یا بیشتر، نامنظم، شدیداً درزه دار، دانه ها به اندازه قند شکسته و غیره	۱/۰ تا ۱ ۲ ۳ ۴ ۶ ۹ ۱۲ ۱۵ ۲۰	۱- برای تقاطع دو تونل $J_n$ را در ۳ ضرب کنید: $(J_n \times 3)$ ۲- برای ورودی تونل ها $J_n$ را در ۲ ضرب کنید: $(J_n \times 2)$
۳- عدد مربوط به زیری درزه ها	$J_2$	
الف. درزه های غیر مسد ب. زیر و نامنظم، موجدار ج. صاف - موجدار د. آینه ای، موجدار ه. زیر و نامنظم، مسطح و. صاف، مسطح ز. آینه ای، مسطح	۱ ۲ ۴ ۲ ۱/۵ ۱/۵ ۱ ۰/۵ ۱ ۱	۱- چنانچه فاصله داری متوسط مجموعه درزه ها بزرگتر از ۲ متر باشد، مقدار $1/5$ را به آن اضافه کنید. ۲- $J_2 = J_n / 5$ را می توان برای درزه های مسطح و آینه ای که لا یابندی داشته باشند استفاده کرد، به شرطی که لا یابندی در جهتی ترا رگرفته باشند که مغارمات حداقل باشد.

ادامه جدول ۳ طبقه بندی پارامترهای مورد استفاده در تعیین شاخص کیفیت تولن زنی  $Q$  [۶]

$\Phi_r$ (نفری)	$J_a$	
(۲۵ تا ۳۵)	۰/۷۵	
(۲۰ تا ۲۵)	۱	
(۲۰ تا ۲۵)	۲	
(۲۰ تا ۱۶)	۳	
(۸ تا ۱۶)	۴	
(۲۰ تا ۲۵)	۴	
(۱۶ تا ۲۴)	۶	
(۱۲ تا ۱۶)	۸	
(۱۲ تا ۱۶)	۱۲ تا ۸	
(۲۴ تا ۲۴)	$J_a$	
	۶	
	۸	
	۱۲ تا ۸	
	۵	
(۲۴ تا ۲۴)	۱۰ تا ۱۳	
	۲۰ تا ۱۳	

۴- عدد مربوط به دگرسانی درزه‌ها  
دیواره درزه‌ها در تماس  
الف. شدیداً جوش خورده، سخت، غیرنرم، مواد  
آکننده غیرقابل نفوذ  
ب. دیواره‌های درزه دگرسان شده، سطوح درزه‌ها  
صرفاً زنگ زده است.  
ج. دیواره درزه‌ها کمی دگرسان شده است، مواد  
پوششی درزه‌ها از کانی‌های غیرنرم، ذرات ماسه‌ای،  
سنگ شکسته عاری از مواد رسی و غیره  
د. مواد آکننده درزه‌ها از سلت، رس یا ماسه،  
بخش‌های گرچک رسی (غیرنرم)  
ه. مواد آکننده درزه‌ها از مواد رسی نرم یا با  
اصطکاک کم، مثل کائولینیت، میکا، همچنین  
کلریت، نالک، گچ، گرانیت و غیره، و مقادیر کم  
رسهای تورمی (پرشش نایبرسته، با ضخامت  
۱ تا ۲ میلیمتر ریا کمتر است).  
دیواره درزه‌ها تا قابل از ۱۰ میلیمتر پرش در تماس با  
هم صستند.  
و. ذرات ماسه، سنگ شکسته عاری از مواد  
رسی و غیره.  
ز. شدیداً پیش تحکیم شده، مواد آکننده رسی  
غیرنرم (ممتد، ضخامت کمتر از ۵ میلیمتر)  
ح. پیش تحکیم شده متوسط یا کم، نرم، مواد  
آکننده رسی (ممتد، ضخامت کمتر از ۵ میلیمتر)  
ط. مواد آکننده تورمی، یعنی مرنت مرر یلرینیت  
(ممتد، ضخامت کمتر از ۵ میلیمتر) مقدار  $J_a$   
بستگی به درجه اندازه ذرات رس تورمی و به  
مقدار دسترسی به آب دارد.  
دیواره درزه‌ها پس از پرش در تماس نیستند.  
ی. زونها یا نوارهای شکسته و غیرسالم  
ک. یا سنگ خردشده و رس  $G$ ،  $H$  و  $J$ .  
ل. برای شرایط رسی رانگاه کنید.  
م. زونها یا نوارهای سیلیتی با رس ماسه‌ای، رگه‌های  
کرچک رسی (غیرنرم)  
ن. ضخیم، مناطق ممتد یا  
ص. نوارهایی از رس  $G$ ،  $H$  و  $J$ .  
ع. برای شرایط رسی را بینید.

ادامه جدول ۳ طبقه بندی پارامترهای مورد استفاده در تعیین شاخص کیفیت تونل زنی ۰ [۶]

$\text{kgf/cm}^2$	فشار تقریبی آب	$(J_w)$	۵- ضریب مربوط به کاهش آب درزهای الف. حفاری خشک یا جریان آب کم، یعنی کمتر از ۵ لیتر در دقیقه به صورت محلی ب. جریان آب یافشار متوسط، گامی آب شستگی مواد انداق می‌افتد. ج. جریان آب زیاد یا فشار بالا در سنگ خوب با درزهای پر شده د. جریان آب زیاد با فشار بالا، آب شستگی مواد آکننده قابل ملاحظه است ه: جریان فرق العاده زیاد آب یا فشار در لحظه آتشباری کاهش در طول زمان و. جریان فرق العاده زیاد آب یا فشار به طور مدارم بدون کاهش در طول زمان
$1 < 1/5$		۱	
$1/5 \leq 1/10$		۰/۶۶	
$1/10 \leq 1/20$		۰/۵	
$1/20 \leq 1/40$		۰/۲۳	
$> 1/40$	ضرایب $C$ تا $F$ مقادیر تسخیبی خام هستند. چنانچه سیستم زده کشی ایجاد شد مقدار $J_w$ را افزایش دهید	۰/۱۲/۰	
۲- مسائل خاصی که به علت تشکیل یخ به وجود آیند، موردنظر قرار نگرفته‌اند.		۰/۰۵ تا ۰/۱	
$(SRF)$	۱- چنانچه زونهای برشی تونل را قطع نمی‌کند بلکه تحت تأثیر فشار می‌دهد، این متادیر $SRF$ را به میزان ۲۵-۵۰٪ کاهش دهید.	۱۰	۶- ضریب مربوط به کاهش تنفس زونهای ضعیفی که تونل را قطع می‌کند، ممکن است موجب سستی ترده سنگ به هنگام حفاری تونل شود. الف: وقوع متعدد زونهای ضعیف که محتوی رس یا سنگ خردشده و تجزیه شده‌است، سنگ خیلی سست در اطراف تونل (در هر عمق). ب: زونهای ضعیف منفرد محتوی رس، یا سنگ تجزیه شده و هوازده، عمق حفاری کمتر از ۵۰ متر ج: زونهای ضعیف منفرد محتوی رس، یا سنگ تجزیه شده و هوازده، عمق حفاری بیشتر از ۵۰ متر
		۵	
		۲/۰	